

**INSTITUTUL POLITEHNIC "TELAJAN VUJA" TIMIȘOARA  
FACULTATEA DE INGINERIA CIVILĂ**

**Ing. Rodica Crețean**

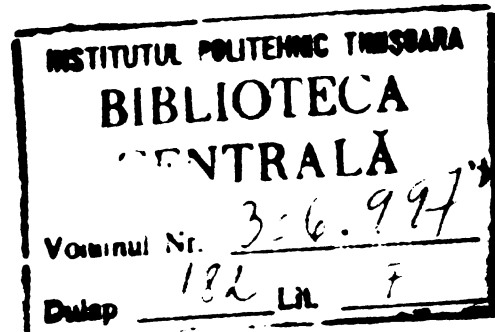
**CONTRIBUȚII PRIVIND TEHNOLOGIA ACIDULUI SULFATIC SI  
SULFATULUI DE AMONIU**

**Teză pentru obținerea titlului de  
doctor inginer**

**CONDUCATOR STIINȚIFIC :**

**Acad. Prof. Dr. Dozent CERICIU DRAGULĂNU**

**BIBLIOTECĂ CENTRALĂ  
UNIVERSITATEA "POLITEHNICA"  
TIMIȘOARA**



**1975**

**1975**

## C U P R I N S

	P a g.
<b>INTRODUCERE</b>	
<b>P A R T E A I - a</b>	
<b>CAPITOLUL I</b>	
<b>STRUCTURA, PROPIETATILE SI INTREBUNTALE ACIDULUI SULFAMIC SI A SULFAMATULUI DE AMONIU</b>	<b>1</b>
1.- Considerații generale	1
2.- Structura acidului sulfamic și a sulfamatilor	1
3.- Proprietățile fizice și chimice ale acidului sulfamic și ale sulfamatilor	5
3.a.- Proprietăți fizice	5
3.b.- Proprietăți chimice	7
3.c.- Stabilitatea termică a acidului sulfamic și a sulfamatilor	9
4.- Intrebunțările acidului sulfamic și a sulfamatilor	11
<b>CAPITOLUL II</b>	
<b>METHODE GENERALE DE OBȚINEREA A ACIDULUI SULFAMIC</b>	<b>15</b>
1.- Obținerea acidului sulfamic din uree și oleum	16
2.- Obținerea acidului sulfamic din trioxid de sulf și amoniac	20
2.a.- Reacția dintre trioxid de sulf și amoniac	21
2.b.- Hidroliză producător de reacție dintre trioxid de sulf și amoniac	24
3.- Obținerea sulfamatului de amoniu	27
3.a.- Obținerea sulfamatului de amoniu prin neutralizarea soluțiilor răspuns de acid sulfamic	28
3.b.- Obținerea sulfamatului de amoniu prin amonoliză imidosulfonatului de diaconiu	41

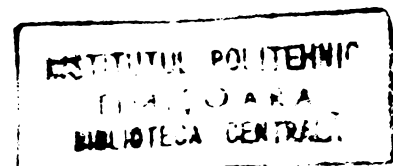
**CAPITOLUL III**

<b>MÉTODE DE ANALIZA</b>	<b>46</b>
1.- Analiza acidului sulfamic pur	46
1.a.- Prin neutralizare cu o bază	
1.b.- Prin precipitare ca sulfat de bariu	
1.c.- Prin dosarea azotului	
2.- Analiza anestecului acid sulfamic - acid	
sulfuric	47
3.- Analiza sulfamului de amoniu	48
4.- Analiza anestecului de sulfacet și sulfat de amoniu	49
5.- Analiza anestecului de imidosulfonat de diazoniu,	
sulfamat de amoniu și sulfat de amoniu	49
6.- Analiza nitrilosulfonatului de amoniu singur	
sau în anestec cu sulfat, sulfacet, imidosulfonat,	
de amoniu și a sulfamidei	51

**P A R T E A    I I - a****CAPITOLUL IV**

PREPARAREA ACIDULUI SULFAMIC DIN UREA SI OLIELE,  
PURIFICAREA SOLUȚIILOR DE ACID SULFAMIC, OBTINEREA  
ACIDULUI SULFAIC CHIMIC PUR, ANALIZA ACIDULUI

SULFAMIC IN ANESTEC CU ACID SULFURIC	53
1.- Obținerea acidului sulfamic din uree și oleam	53
2.- Purificarea soluțiilor de acid sulfamic	
cu ajutorul schimbătorilor de ioni	61
3.- Obținerea acidului sulfamic chimic pur	65
4.- Analiza anestecului de acid sulfamic și	
acid sulfuric	



**CAPITOLUL V****STUDIUL SOLUBILITATII SISTEMELOR TERNARE :**

$(\text{NH}_4)_2\text{SO}_4 + \text{C}_2\text{H}_5\text{OH} = \text{H}_2\text{O} + \text{NH}_4\text{SO}_3\text{NH}_2 + \text{C}_2\text{H}_5\text{OH} = \text{H}_2\text{O} +$	
$\text{NH}_4(\text{SO}_3\text{NH}_2)_2 + \text{C}_2\text{H}_5\text{OH} = \text{H}_2\text{O} + \text{HSO}_3\text{NH}_2 + \text{C}_2\text{H}_5\text{OH} = \text{H}_2\text{O}$	73

1.- Verificarea modului de lucru pentru sistemul

$(\text{NH}_4)_2\text{SO}_4 + \text{C}_2\text{H}_5\text{OH} = \text{H}_2\text{O}$	74
---	----

2.- Solubilitatesa sistemului

$\text{NH}_4\text{SO}_3\text{NH}_2 + \text{C}_2\text{H}_5\text{OH} = \text{H}_2\text{O}$	76
--	----

3.- Solubilitatesa imidosulfonatului de diazoniu

în soluții apoase de etanol la $25^\circ\text{C}$	86
---	----

4.- Solubilitatesa acidului sulfamic în soluții  
apoase de etanol la  $20^\circ\text{C}$

90

**CAPITOLUL VI****DATĂ TERMICĂ ÎN SOLUȚII DE SULFAMAT DE AMONIU**

92

1.- Coeficienții de transfer de căldură,  $\alpha$ , la  
fierberea soluțiilor de sulfamat de amoniu

92

1.a.- Descrierea instalației experimentale

94

1.b.- Determinările experimentale pentru  $\alpha$

97

2.- Presiunile de vapori la temperatură de fierbere  
a soluțiilor de sulfamat de amoniu. Calculul  
căldurii de vaporizare

111

3.- Calculul rezistențelor termice la instalațiile  
de evaporație a soluțiilor de sulfamat de amoniu

122

**CAPITOLUL VII****OBTINEREA ÎN INSTALAȚII DE LABORATOR SI PLAN****A AIMITOCULFONATULUI DE DIAZONIU. MATERIAZĂ****PRODUSULUI OBTINUT**

153

1.- Încercări de laborator

153

2.- Instalații pilot

157

	PAG.
<b>3.- Hidroliza produselor de reacție</b>	<b>144</b>
3.a.- Hidroliza cu acid sulfuric concentrat	145
3.b.- Hidroliza cu acid sulfuric de 70%	146
3.c.- Hidroliza cu acid sulfuric și separarea acidului sulfanic cu sare dublă	146
3.d.- Hidroliza cu soluții saturate de acid sulfanic	149
<b>CONCLUZII</b>	<b>151</b>
<b>BIBLIOGRAFIE</b>	<b>159</b>

## P R E F A Z A

Prin sulfonarea amoniacului se obțin următorii derivați: acidul amidosulfonic (sulfamic)  $\text{NH}_2\text{SO}_3\text{H}$ ; acidul iododisulfonic  $\text{HI}(\text{SO}_3\text{H})_2$  și acidul nitrilotrisulfonic  $\text{N}(\text{NO}_3\text{H})_3$ . Acidul iododisulfonic și acidul nitrilotrisulfonic nu au putut fi izolați în stare liberă, fiind foarte instabili. Se cunosc însă cîteva situri ale acestor acizi care nu hidrolizand cu securitate în soluție, trecând în acid sulfamic și sulfatul respectiv. Acidul sulfamic nu poate fi considerat primul derivat acidic al acidului sulfuric  $\text{H}_2\text{SO}_2\text{OH}$ , al cărui derivat analitic fiind sulfacidă  $\text{H}_2\text{SO}_2\text{NH}_2$ .

În predecese bire de celelalte compuse sulfonici ai amoniacului, acidul sulfamic este o substanță cristalină, stabilă în condiții obișnuite de conservare. Acidul sulfamic este singurul acid tare, anorganic, care se prezintă ca fiind solid, ceea ce-i conferă avantaj în privința depozitării, manipulării și transportului.

În la jumătatea secolului trecut, W. Böttger a arătat că în urma reacției dintre trioxid de sulf și amoniac rezultă o serie de compusi care difere prin raportul  $\text{H}_2\text{S}:\text{NH}_3$ .

În cînd care a descris natura acestor compusi a fost Berglund (1772) care a izolat acidul sulfamic din sareea de bariu. Sarea de bariu (sulfatul de bariu) l-a obținut din eniu în rezultatul hidrolizei acidei și hidrocloritei de reacție dintre trioxidul de sulf și amoniac.

Nai tîrsină, F. Raschig (1887) a propus o metodă de preparare a acidului sulfanic mult mai simplă, care constă prin transpoziție și deshidratarea sulfitalui acid de hidroxil-azină. Această metodă comună de preparare a acidului sulfanic a fost utilizată de chimici pînă în jurul anului 1930, însă nu s-a putut extinde în scără industrială din cauza materiilor prime prea accesibile.

În anul 1936 în Germania și independent în 1938 în SUA s-au emis două brevete care descriau un procedeu de obținere a acidului sulfanic din uree și oleum.

Cîndată cu descoperirea acestei metode de preparare, interesa pentru acidul sulfanic și o serie de săruri ale lui, a crescut foarte mult.

Datorită utilizărilor care sînt în continuu dezvoltare și diversificare, acidul sulfanic și alte cîteva săruri se fabrică pe scară industrială în cîteva țări.

Paralel cu aplicarea metodelor de obținere a acidului sulfanic din uree și oleum s-a perfecționat și metoda de obținere a lui din produsii de reacție dintre trioxid de sulf și azonico.

Lucrarea de față a avut ca scop studiul unor aspecte asupra stabilirii condițiilor optime ale reacției dintre uree și oleum, studiul purificării soluțiilor de acid sulfanic, cu ajutorul schimbătorilor de ioni, studiul condițiilor optime de obținere a acidului sulfanic chimic pur, precum și punerea la punct a unor metode mai rapide de analiză a concentrațiilor de acid sulfanic și acid sulfuric. În continuare, s-a studiat echilibrele de solubilitate ale sistemelor:





## P A R T E A I - A

### CAPITOLUL I

#### STRUCTURA, PROPRIETATILE SI INTRACOINȚARILE ACIDULUI SULFAMIC SI A SULFAGATULUI DE AMONIU

##### 1.- Consideratii generale

Acidul sulfamic a fost obtinut pentru prima oară de H. Rose în 1834, dar abia E. Berligrund în 1878 descrie o metodă pentru obținerea lui în stare de paritate și îi studiază unele proprietăți /1/.

Acidul sulfamic se prezintă sub formă de cristale albe, nehigroscopice, nevolatile și stabile la temperatură obișnuită. Prin încălzire, cristalele de acid sulfamic se topesc la  $206^{\circ}\text{C}$  cu un început de decompunere /2,3/.

Sulfacetul de amoniu a fost preparat de E. Berligrund și F. Raschig prin reacția de dublu schimb între sulfacetul de bario și sulfatul de amoniu /4/. Sulfacetul de amoniu se prezintă cristalizat în plăci, care se pot cliva în plăciute cai mici /5/. Phenomenul de clivaj a fost observat și la acidul sulfamic în unele direcții ale cristalului /6/. Prin încălzire, sulfacetul de amoniu se topeste la  $131^{\circ}\text{C}$  /2,7/. Caldura specifică a sulfacetului de amoniu la  $298^{\circ}\text{K}$  este 37,5 cal/mol.grd. și entropia în intervalul de temperatură de  $90 - 298^{\circ}\text{K}$  este 32,5 cal/mol.grd. /3/.

##### 2.- Structura acidului sulfamic și a sulfacetilor

Încă în 1929 P. Remagarten /9/ atribuie pentru acidul sulfamic o structură  $\text{NH}_3^+ \cdot \text{SO}_3^-$  (de "sofion"). Această presupunere

și-o bazează pe temperatura de topire de  $206^{\circ}\text{C}$ , ridicată în comparație cu a altor acizi sulfonici ( $\text{H}_2\text{SO}_3\text{H}$  topeste la  $17,40^{\circ}\text{C}$  iar  $\text{HClSO}_3$  la  $-80^{\circ}\text{C}$ ), și solubilitatea mică în solventi organici și nu prea mare în apă ca și pe posibilitatea formării "acizilor sulfanidici" de tipul (R) (R') (R'') $\text{H}_2\text{SO}_3$ . Acești derivați trisubstituiți ai acidului sulfanic provin prin înlocuirea unuia din cele trei atomi de hidrogen de la azotul aconiacal cu radicali organici.

Studii mai recente efectuate cu ajutorul metodelor moderne fizico-chimice de investigare, au confirmat aceste vederi ale lui F. Daungarten. Astfel prin cercetări de difracție că razele s se arată că în acidul sulfanic celula este centară, ortorombică, conține 3 molecule /3/ și are următoarele dimensiuni : a = 7,12 Å, b = 3,67 Å ; c = 9,26 Å. Structura moleculei de acid sulfanic conținute în celula unitară este de "anfion", de simetrie C3v pentru atomii grei, adică pentru gruparea  $\text{H}-\text{SO}_3$ , și prin urmare are o axă de simetrie ternară ce trece prin atomii de sulf și azot și trei plane de simetrie de reflexie, ce trece prin axă și care împarte un atom de oxigen. Distanța interatomică N-S este de 1,76 Å și ea reprezintă o legătură covalentă simplă, deoarece atomul de azot nu își are electroni p capabili să formeze și legături  $\pi$  cu orbitalii d ai sulfului. Distanța interatomică S-O este de 1,439 Å, în perfectă concordanță cu valoarea de 1,44 Å și chiar la diferență oxizici și situri ale sulfului. Unghiurile legăturii N-S sunt valori de  $103^{\circ}$  și timp cele ale legăturii S-O sunt valori cuprinse între  $113^{\circ}$  -  $117^{\circ}$ .

Grupa  $\text{SO}_3$  este capabilă să formeze 3 legături netednice de hidrogen de tipul  $\cdots-\text{H} \cdots \text{O}$  în care, legătura N-H formează unghiuri de  $7^{\circ}$ ,  $13^{\circ}$  și  $14^{\circ}$  cu diferențele direcției ale legăturii N...O. Aceste legături de hidrogen sunt indicate în figura 1

prin linii punțate.

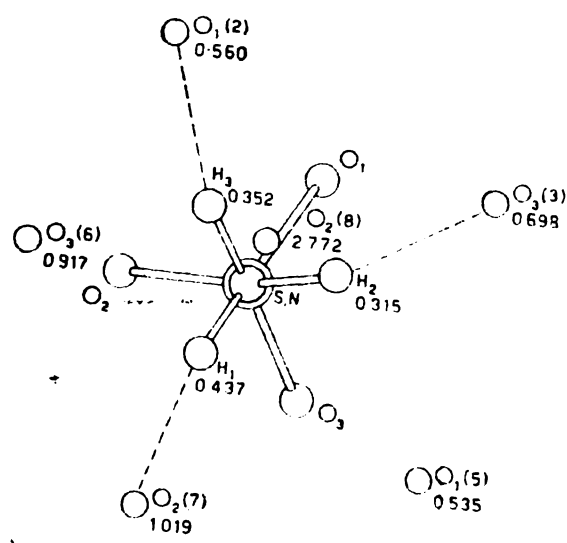


Fig. 1 - Proiecția moleculăi de acid sulfamic pe axa legăturii N-S .

In această figură se reprezintă o moleculă de acid sulfamic proiectată pe axa N-S. Legăturile de hidrogen unesc o moleculă de acid sulfamic cu cei mai apropiati atomi de oxigen de la alte molecule de acid sulfamic.

Cercetările efectuate de T. Dupuis /10/ pe cristale de acid sulfamic, pe acid sulfamic deuterat și pe săruri ale acestuia, cu ajutorul spectrelor de absorbție IR, duc la concluzia că acidul sulfamic în stare solidă se prezintă sub două forme : forma acidă ( $\text{NH}_2\text{SO}_3^+$ ) $\text{H}^+$  și forma aminoacida  $\text{NH}_3^+\text{SO}_3^-$ . Această presupunere se bazează pe faptul că în spectrul de absorbție IR al acidului sulfamic există două bensi intense la  $3150 \text{ cm}^{-1}$  și la  $1440 \text{ cm}^{-1}$ , bensi care lipesc din spectrele sărurilor. De asemenea, în cristalul de acid sulfamic există legături de hidrogen foarte puternice de tipul OH...O și NH...O . În soluție apăsăd acidul sulfamic poate fi reprezentat și prin formula  $\text{NH}_2\text{SO}_2\text{OH}$ , cu legături de hidrogen mult mai slabe ca în cristal.

In ce privește structura ionului de sulfonat, aceasta o-a determinat pe cristalul de sulfonat de potasiu. Vizualizarea de raze X, arată că sulfonatul de potasiu cristalizează în cărui elementare ortorombice, din 4 molecule /11/ și are dimensiuni :  $a = 8,33 \text{ \AA}$ ,  $b = 8,30 \text{ \AA}$ ,  $c = 5,91 \text{ \AA}$ .

In fiecare anion ( $\text{NH}_2\text{SO}_3^-$ ) există un aranjament aproape tetraedric al atocului de azot șielor trei atoci de oxigen în jurul atocului de sulf. In fiecare anion, un plan de simetrie de reflexie trece prin atomul de azot, prin cei doi atoci de hidrogen, prin atomul de sulf și prin unul din cei trei atoci de oxigen. Ceilalți doi atoci de oxigen sunt situati unul deasupra, altul dedesubtul planului de simetrie (figura 2).

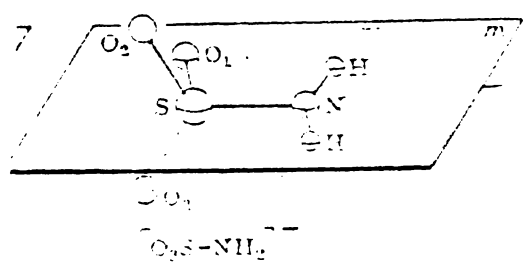
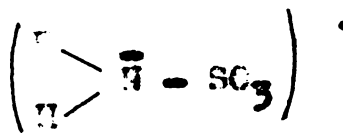


Fig. 2 - Structura ionului sulfonat

Distanța interatomică S este de  $1,63 \text{ \AA}$  mult mai mică decât în cristalul de acid sulfamic, ea se apropie de o legătură dublă. Prin urmare se poate atribui anionului sulfamic structura  $\left(\text{H}-\text{N}=\text{S}-\text{O}_3\right)^-$  în loc de structura



**INSTITUTUL POLITEHNIC  
TIMIȘ-ARA  
BIBLIOTECĂ CENTRALĂ**

Orbitallii atomici  $s$ ,  $p_x + p_y$  ai atocului de azot formează hibridi trigonali  $sp^2$ , astfel că atocul de azot poate forma trei legături  $\sigma$  cu cei doi atoci de hidrogen și cu atocul de sulf, care stau în același plan, dar la unghiuri de  $120^\circ$  una față de alta. Orbitalul atomic  $p_z$  al atocului de azot formează o legătură de tip  $\pi$  cu orbitalul  $3d$  al atocului de sulf, care se împreună peste legătura  $\sigma$ .

Stabilitatea ridicată a sulfonatului de potasiu în soluție poate fi confirmată că legătura  $S=$  este mai tare decât anionul chiar la cald.

în acidul sulfanic.

### 3.- Proprietățile fizice și chimice ale acidului sulfanic și ale sulfonilor

#### 3.a.- Proprietăți fizice

Acidul sulfanic are o solubilitate moderată în apă, la  $20^{\circ}\text{C}$  soluția saturată conține 21,32 g în 100 g apă. Acidul sulfanic este solubil în formică, puțin solubil în metanol și în etanol /12/. Solubilitatea acidului sulfanic în apă descrește în prezența acidului sulfuric sau a sulfatului de sodiu. Acidul sulfonic este practic insolubil în acid sulfuric de concentrație mai mare de 70%.

În soluție apăsăd, acidul sulfanic este puternic dissociat, constanta lui de dissociere  $K = 0,1$  /13/, și situații ca tărie între acidul oxalic și acidul clorhidric. Conductibilitatea limită la  $25^{\circ}\text{C}$  a ionicui sulfonic este  $\lambda = 43,50$ .

Acidul sulfanic în soluție apăsăd și la temperatură obișnuită este stabil, dar la cald, ca și anii alii în prezența altor acizi, grație structurii lui "amfionice", instabile, el hidrolizează cu ușurință, în conformitate cu ecuația :



Compusul X reprezintă strucțura intermediară "amfionică" a acidului sulfanic /3/.

În soluție apăsăd, acidul sulfanic reacționează ca un acid monobasic, putind forma cu ușurință sulfonuri și cu oxizi, hidroxizi, carbonati de metale. Toți sulfonații cunoscute își exceptă compusul de mercur  $\text{Hg}(\text{SCH}_3)_2$  sunt mult mai colectibili în apă decât acidul sulfanic însuși și decât clatrurile corectanătoare ale altor acizi inorganici.

Soluțiile apăsăde, neutre sau slab basice ale sulfonilor alcalini, pot fi incăsiite pînă la fierbere fără hidrolizare,

soluțiile apăsate ale sulfonatelor metalelor se hidrolizează cu ușurință. Soluțiile sulfonatelor au ca și soluțiile de acid sulfamic o conductibilitate mare. Această proprietate, conjugată cu solubilitatea ridicată a sulfonatelor, le asigură acestora o importanță din ce în ce mai mare în electrometalurgie.

Sulfonatul de amoniu este foarte solubil în apă și solabilitatea lui crește cu temperatură, în 100 g apă la  $25^{\circ}\text{C}$  se dissolvă  $200,2 \text{ g } (\text{NH}_4)_3\text{SO}_3\text{NH}_2$ . /12,14/. Sulfonatul de amoniu nu este solubil în amoniac lichid și etanol cald /7/. Soluția apăsată a sulfonatului de amoniu are o reacție slab acidă, de exemplu o soluție n/2 are  $\text{pH} = 5,2$  și se poate compara cu o soluție de sulfat de amoniu de aceeași concentrație care are  $\text{pH} = 5$ . Conductibilitatea limită a sulfonatului de amoniu în soluție apăsată la  $25^{\circ}\text{C}$  este  $\lambda = 122,03$  /13/. Soluțiile apăsate, neutre sau slab basice de sulfonat de amoniu pot fi încălzite pînă la fierbere, fără ca să hidrolizeze grupe acidice. În soluții acide sulfonatul de amoniu hidrolizează la fierbere trecind în sulfat de amoniu :



Soluțiile saturate de sulfonat de amoniu au o consistență uleioasă și nu umesc sticla /5/. Tensiunea de vaporii, în dependență de temperatură a soluțiilor saturate, în intervalul de temperatură de  $234 - 318^{\circ}\text{K}$  se poate calcula cu relația :

$$\log \gamma = -1,931/T + 7,6492 \quad /15/$$

Soluțiile concentrante de sulfonat de amoniu, prin răcire rămân sub formă de topituri sticloase, persistente. Dacă se agită, massa clară devine opacă, apar străini și defili care sunt însoțite de agitare și încălzire. Efectul de subducere, precum și efectul de olivaj al cristalilor de sulfonat de amoniu pledează

în favoarea existenței legăturilor de hidrogen între molecule.

### 3.b.- Proprietăți chimice

Acidul sulfamic este o substanță reactivă cu mulți agenți chimici, astfel clorul și fluorul îl atacă formând derivați halogenați, după reacția :



Alți oxidanți, brocal, cloruri și acidul azotos, îl atacă cu formare de azot și acid sulfuric după reacția :

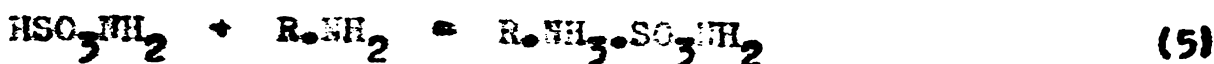


Pe această din urmă reacție se bazează o metodă analitică pentru determinarea acidului sulfamic și a azotilor.

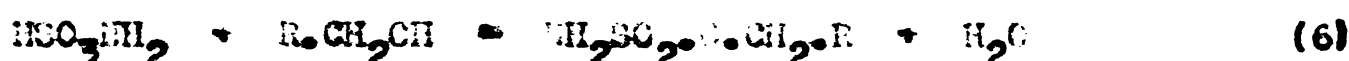
În soluție, acidul sulfamic reacționează cu ușurință cu metalele capabile să dezlocuiască hidrogenul, spre exemplu : fier, zinc, magneziu. Cuprul și aliajele sale, aluminiul, staniul și cromul sănătățile cu greu atacă și la rece, iar sulfamicii de bismut, stibiu, arsen, titan nu se cunosc în nici un cas.

Acidul sulfamic monobasic în soluție aprindă, în amoniac lichid se comportă ca un acid bibasic /16/. Astfel, dacă la o soluție de sodiu metalic în amoniac lichid se adaugă acid sulfamic solid se formează sulfat de sodiu și sulfat de amoniu. Reacția decurge cu o viteză mare. Din soluția liazpede care conține aceste substanțe se separă cu incetul, un praf alb ce conține din sulfat disodic,  $\text{Na}_2\text{S}_2\text{O}_8\text{Na}_2$ . Formarea acestei sări disodice a acidului sulfamic se petrece într-o reacție lentă ca una care privește înlocuirea unui hidrogen amidic. Legătura  $\text{N}-\text{H}$  din acidul sulfamic nu este afectată. Cu cei analogi se cunosc cu litiu, rubidiu și cesiu.

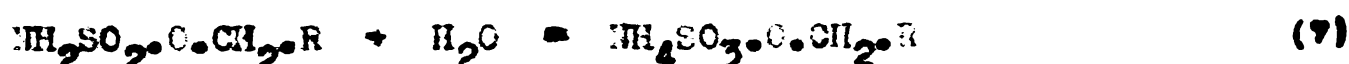
Acidul sulfamic formează produgi de adiție cu aminele primare, secundare și terțiare :



Cu alcoolii primari formează alchilsulfatii de amoniu. Alcoolii secundari reacționează la fel dar în prezența unei amide care catalizează reacția; alcoolii terțiari nu reacționează cu acidul sulfamic. Reacția cu alcoolii are loc probabil în două stadii : în primul stadiu ar avea loc esterificarea :



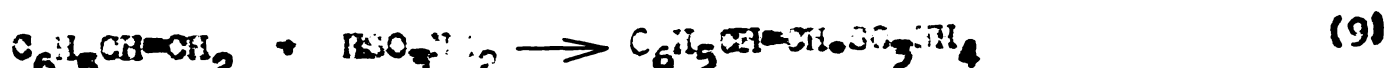
iar în al doilea, apa formată ar reacționa cu esterul ducând la sulfatul de alchil și amoniu :



Acidul sulfamic reacționează cu fenolul, crezolul, naftolul, etc. :



precum și cu derivații fenilici cu lanțuri laterale neșaturate ca : anetolul, stirenal, etc. :



Acidul sulfamic și sărurile sale întârzie precipitarea sulfatului de bariu iar în mediul alcalin împiedică precipitarea sărurilor de argint, mercur și aur, probabil prin formarea unor săruri solubile de tipul  $\text{HSO}_3^-\text{K}^+$ .

### 3.0.- Stabilitatea termică a acidului sulfamic și a sulfonatilor

Acidul sulfamic, după cum o-a arătat mai înainte, se topeste la temperatura de  $206^{\circ}\text{C}$  cu un început de decompunere. Produsii gazoși de decompunere sunt :  $\text{SO}_3$ ,  $\text{SO}_2$ ,  $\text{H}_2$ ,  $\text{NH}_3$  și  $\text{H}_2\text{O}/2/$ . Dacă încălzirea se face în tub închis, se constată că spre  $260^{\circ}\text{C}$  din topitură se degajă nici bule de gaz. Închind topitura se încălzește peste  $260^{\circ}\text{C}$  apar vapori densi și albi de  $\text{SO}_3$ ,  $\text{SO}_2$  și  $\text{H}_2$ . Încălzirea în continuare a topiturii, duce la un residu format din bisulfat de amoniu.

Decompunerea termică a sărurilor acidului sulfamic are loc la diferite temperaturi și în diferite moduri după natura cationului /1/. Sulfonatii hidrați și se dechidratează într-ună sau mai multe trepte, la temperaturi mai mici de  $130^{\circ}\text{C}$ . Sulfonatii anhidrii, între  $300^{\circ}\text{C}$  și  $400^{\circ}\text{C}$  trec în sulfati, dar pe două căi diferite :

- decompunere directă în cazul sulfonatilor de:  $\text{Na}$ ,  $\text{Fe}^{2+}$ ,  $\text{Co}^{2+}$ ,  $\text{Zn}$ ,  $\text{Cd}$ , însoțită de degajare de gaze :

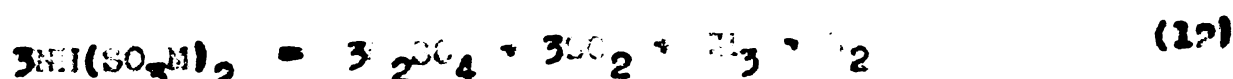


- transformarea sulfonatilor în iodosulfonati, în intervalul de temperatură de  $170 - 300^{\circ}\text{C}$  după natura cationului :



( $\text{M} = \text{Li}, \text{Na}, \text{K}, \text{Co}^{2+}, \text{Cr}, \text{Ag}, \text{Cu}^{2+}, \text{Hg}$ )

La temperaturi mai ridicate, iodosulfonati formați se decompoză și ei :



Unii sulfonatii hidrați nu se dechidratează complet prin încălzire, spa formând cu sulfatul un sulfat dublu de amoniu

și metalul respectiv :



Prin ridicarea temperaturii sulfacetul anhidru trece în sulfat :



iar sulfatul dublu trece în sulfat simplu de metal, prin pierderea treptată a sulfatului de amoniu. În acest mod se comportă sulfacetii de : uranil, mangani, nichel, etc.

Sulfacetul de amoniu se topește la  $151^{\circ}\text{C}$  formând un lichid incolor, uleios /2,7/ care în intervalul de temperatură de  $130 - 160^{\circ}\text{C}$  este stabil. Peste  $160^{\circ}\text{C}$  și la presiunea atmosferică sulfacetul de amoniu se descompune treptat și practic total, în imidosulfonat de diaxoniu și amoniac după reacția :



Încălzit la  $400^{\circ}\text{C}$  sulfacetul de amoniu se descompune în sulfat de amoniu, sulf și azot /4/ după reacția :



N. Ceaptean /1/ arată că peste temperatură de  $375^{\circ}\text{C}$  nu se poate pune în evidență trecerea în sulfat de amoniu, decarecesc aceste dissociasi pe măsură ce se formează.

Studii mai recente /17/ arată că în timpul descompunerii termice a sulfacetului de amoniu, acesta formează un eutectic cu imidosulfonatul de diaxoniu rezultat. Eutecticul are temperatură de topire la  $124,2^{\circ}\text{C}$  și conține 88%  $\text{NH}_4\text{SO}_3\text{NH}_2$  și 12%  $\text{HN}(\text{SO}_3\text{NH}_2)_2$ .

#### 4.- Intrebările acidului sulfanic și a sulfatelor

Acidul sulfanic și cîteva săruri ale sale, în ultimul timp au devenit produse care se fabrică pe scară industrială, datorită utilizărilor care sunt în continuă dezvoltare și diversificare. Dintre utilizările acidului sulfanic se pot enumera : dezincrustarea vaselor și aparatelor industriale, decaparea metalelor, prepararea electrolițiilor în vederea purificării electrometalurgice a metalelor, sulfonarea și sulfatarea unor substanțe organice, inhibitor al degradării celulozei în procesul de albire, stabilizator pentru aciunea bactericidă a clorului, îndepărtarea oxidilor de azot din aer sau alte amestecuri gazoase, distrugerea excesului de azotat rezultat din reacțiile de fixare în industria coloranților, adesea la trăsucirea pieilor, în industria fotografică, titrosubstanțe în chimie analitică, etc.

Avantajele acidului sulfanic ca dezincrustant constau într-o aciune corozivă mult mai mică decât a altor acizi utilizati în acest scop (acid sulfuric, acid clohidric), într-o solubilitate ridicată a sulfatelor formate (în special a sulfatului de calciu), în toxicitatea lui redusă, ceea ce îl face aplicabil la curățirea aparatelor din industria zahărului, a lăptelui, a berii, etc., /2/. În geodinamie se utilizează soluții de acid sulfanic la curățirea băilor, chiuvetelor, etc. cu avantajul că nu degajă gaze și nu atacă pielea.

Ca agent de decapare, acidul sulfanic se utilizează în special pentru obiectele din cupru și aliajele lui, pentru aluminiu, oțel inoxidabil, decaparea disoluții cu ușurință oxizii și unei greu metalele respective.

Electroliți pe baza de acid sulfamic asigură depozite oxogene și compacte chiar în cazarile cele mai delicate. Astfel, din electroliți sulfatice pot fi separate: cobaltul, zincul, cadmiul, plumbul, iudeul, argintul, rodial, etc. /13-24/, și ce pare că în urmă va fi pusă la punct problema electrorafinării aluminiului din soluție. Anionul  $\text{SO}_3^{\text{III}}_2^-$  este stabil în procesul oxidării anodice și are un răndament de curent anodic mai ridicat decât electroliți pe baza de sulfuri.

Acidul sulfamic este un acid de sulfonare blând și se utilizează în special în sulfonarea substanțelor organice care conțin nucleo aromatic care au agenții de sulfonare obișnuiți (trioxid de sulf, oleum, acid clorosulfonic) sau cu ajutorul unor reacții secundare /1, 25-27/.

Acidul sulfamic joacă rol de inhibitor de degradare a celulozei în procesul de albire (clorinare), prin aceea că scurtează timpul procesului de albire, mărește viscozitatea lăptelui și împiedică pierderile agentului de albire /27-34/.

În adăs de acid sulfamic sunt fraie decooperarea produsilor de hidroliză a clorului și astfel să păstreze proprietățile bactericide în apă, împiedică apariția microscopialor /35-36/.

Cu ajutorul unei soluții de acid sulfamic pot fi îndepărtați complet oxiziile de azot din aer sau din alte gaze /37/.

Acidul sulfamic distrugă excesul de azotat în reacțiile de diazotare ale compușilor organici, economind în acest fel urea și scurțind considerabil această operatie /38/.

Acidul sulfamic enlocuiează acidul sulfacic în procesul de tibnire a pieilor, ceea ce dă la obținerea pieilor cu o granulație mai fină și evită formarea de pete la vopsirea lor datorită faptului, că sulfatul de calciu este solubil /39/.

MINISTERUL INDUSTRIII  
TANDEM

In chimie analitică, acidul sulfanic se utilizează ca titrare-subsanță în titrimetrie, cu un interval de variaj pH = 4 - 9, încât se pot utiliza indicatori ca : metilorange, roșu de metil, fenolftaleină /12,39/. De asemenea, se poate utiliza la dosarea acetatilor în prezență acetatilor /40/, la dosarea electrolitice a cuprului, la dosarea oxigenului din apă /41/.

Acidul sulfanic se mai aplică în multe alte domenii : ca agent de conservare a furajelor verzi, înzăpezite, în special a furajelor dulci, în locul acidului formic. Sulfacetul de potasiu care se formează în timpul fermentației, nu este toxic pentru animale. Acidul sulfamic reacționează cu formolul sulfant de metilol, un derivat inodor, care poate fi aplicat la insolabilizarea caserelor, a oleilor și a proteinelor. Ciclohexilsulfacetul de sodiu sau de calciu, este de 30 de ori mai dulce ca zahărul, el se utilizează ca agent de îndulcire ; se conservă la fierbere și nu lasă gust neplăcut în gură, /42-43/.

Domeniile de utilizare a sulfacetului de amoniu sunt diferite de ale celorlalți sulfonati și chiar de ale acidului sulfanic. Astfel, principalele utilizări ale sulfacetului de amoniu sunt :

- antidișumător în agricultură și în special arboricid. Afinitatea lui mare față de celuloză, permite utilizarea lui la distrugerea plantelor, arbuzilor, făind avantajos decarcocul acestor toxic, nu provocând stabilitate de lungi durată solului, împiedicând putredirea lemnului, evită aprinderea plantelor uscate /2,21/. Sulfacetul de amoniu este la fel de eficace ca și cloratul de sodiu. Este utilizat în special la distrugerea arbuzilor, la cojirea chimică a arborilor, etc., /44-45/.

- agent de ignifugare a materialelor textile, lemnului, hirtiei. Hirtia și textilele impregnate cu soluții de sulfacet de amoniu, devin greu inflamabile și nu mai ard după îndepărtarea flacării. Sulfacetul de amoniu se repartizează uniform în fibrele textile.

celulosică, fără să schimbe structura și textura materialului textil, nu are tendință de eflorescență. Sulfacetul de azoniu poate fi îndepărtat din materialul textil prin spălare, dar poate și fi fixat definitiv prin impregnarea materialului textil cu răgini de condensare. Colajile apoase de sulfacet de azoniu se pot utiliza pentru stingerea incendiilor padurilor, lemnului, hirtiei, textilelor, /42-51/.

- ca agent de lustruire a hirtiei. Sulfacetul de azoniu și în special sulfonajii organici ai mono-, di-, trietanolaminei isopropilenicei, au o bună compatibilitate cu celulosa și sunt utilizate și ca plastifianti ai hirtiei și ai materialelor textile. Acești sulfonajii au o acțiune de lustruire a hirtiei și acesta nu depinde de cohiditatea ei, ea că o să pot înlocui glicerina. Obiectele tratate și peste ceva timp îndelungat calitatea și de aspectea devin igienice /2/.

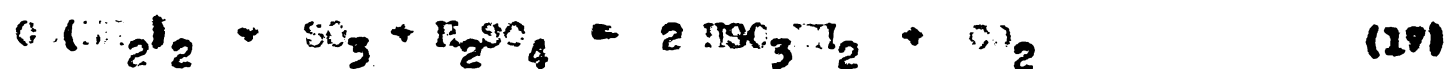
- ca agent anticoagulant al soluijilor coloidale majorând tendința de gelificare a soluijilor de săpun și a altor sisteme coloidale /52/.

## CAPITOLUL II

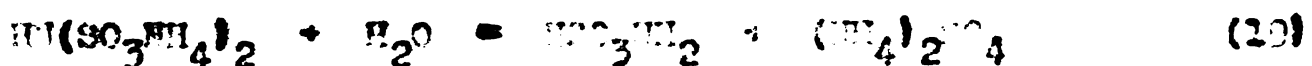
### REACTII GENERALE DIN ORIGINEA A ACIDULUI SULFATIC SI A SULFAMICULUI MONOAMONIU

Acidul sulfanic se poate obtine pe mai multe cai:

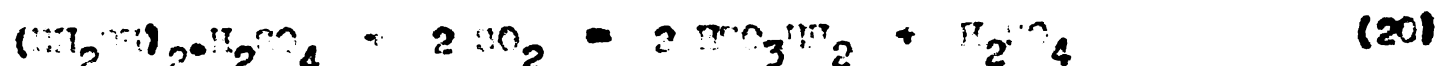
1.- Reacția între urec și oleum /53/ :



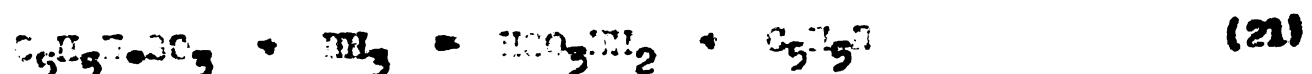
2.- Reacția în fază gazosă între trioxid de sulf și amoniac, urmată de hidroliză în mediu acid a produselor formate /54-55/ :



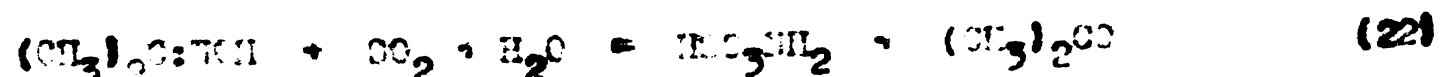
3.- Reacția între sulfat de hidroxilanină și bioxid de sulf /59-60/ :



4.- Reacția amoniului asupra compozițiilor organici, de adiție cu trioxidul de sulf /61-62/ :



5.- Reacția dintre acetoxini și bioxid de sulf /4,7/ :



6.- Reacția între bioxid de sulf și amoniac sub presiune /63/ :



Dintre aceste posibilități de obținere a acidului sulfanic extindere industrială nu au primit-o decât metodele din uree și oleum și metoda hidrolizei acide a produselor de reacție între tri-oxid de sulf și amoniac.

### 1.- Chtinerea acidului sulfanic din uree și oleum

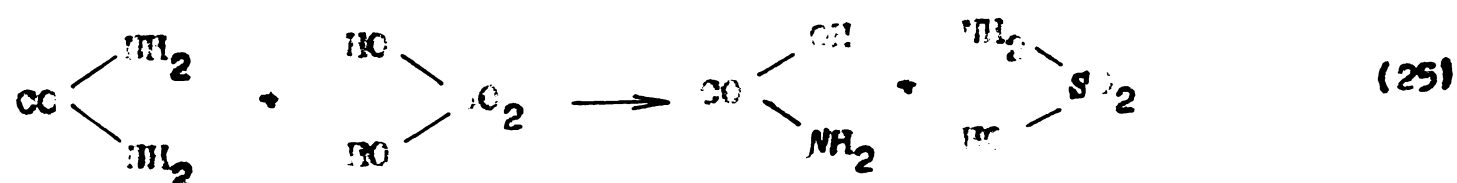
Urea reacționează cu acidul sulfuric în mod diferit, după condițiile de lucru și raportul între reactanți.

Păcind să reacționeze doi molii de uree și un mol de acid sulfuric, la temperaturi mai mici de  $60^{\circ}\text{C}$ , se separă un produs cristalin, care corespunde formulei :  $\text{2 CO}(\text{NH}_2)_2 \cdot \text{H}_2\text{SO}_4$ , sulfatul de uree /64/. În aceleși condiții de temperatură, reacționând cu un mol de uree și un mol de acid sulfuric, se poate obține și bisulfatul de uree  $\text{CO}(\text{NH}_2)_2 \cdot \text{H}_2\text{SO}_4$  care se separă sub formă de cristale higroscopic, solubile în apă, acetoni, etc.

La temperaturi mai ridicate, peste  $100^{\circ}\text{C}$ , acidul sulfuric în exces duce la scindarea ureei, cu formare de acid sulfanic și bisulfat de amoniu /53/, după reacția :



Această reacție desurje în două trepte și anume : în prima treaptă, o grupă amido a ureei se leagă de acidul sulfuric formând acidul anidosulfonic, iar grupa hidroxilică de la acidul sulfuric se leagă de grupa carbonilică a ureei, formând acidul carbonic după schema :



Acidul carbonic care se formează este instabil și se decompune în bioxid de carbon și amoniac :



Amoniacul care se degajă, este neutralizat de acidul sulfuric în exces, formând bisulfatul de amoniu :



Reacția decurge în cîteva minute la  $130 - 140^\circ\text{C}$ , efortul ei se observă prin închiderea degajării bioroxidului de carbon și separarea acidului sulfamic, sub formă de cristale albe. Rendamentul de acid sulfamic este în cel mai bun caz de 50%, raportat la uree. Un exces mai mare de acid sulfuric nu duce la căderea rădăcentului în acid sulfamic, ci din contră la scăderea lui, și aceasta se datorează probabil următoarelor reacții secundare :

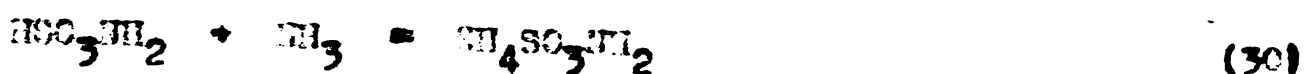
- ureea cu un exces de acid sulfuric poate să formeze acid pirosulfuric și bisulfat de amoniu :



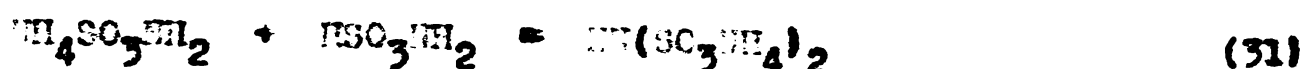
- acidul sulfamic deja format, poate reacționa cu acidul sulfuric în exces, ducând la pirosulfat de amoniu primar :



In cazul cînd se folosește o cantitate mai mică de acid sulfuric decît raportul molar uree:acid sulfuric de 1:2 și temperatură de  $140^\circ\text{C}$ , produsul de reacție nu conține deloc acid sulfamic, ci numai un anestec de sulfat de amoniu, uree și isidosulfonat de diaconiu. Formarea isidosulfonatului de diaconiu, se poate explica în felul următor : ureea suferă scindarea sulfolitică conform reacției (24), amoniul din decompunerea acidului carbonic nefiind în exces de acid sulfuric pentru a se neutraliza, neutralizând o parte din acidul sulfamic care s-a format :



Sulfonatul de amoniu apărut, reacționează cu restul de acid sulfamic formând imidosulfonatul de diazoniu :



Reacția globală este :

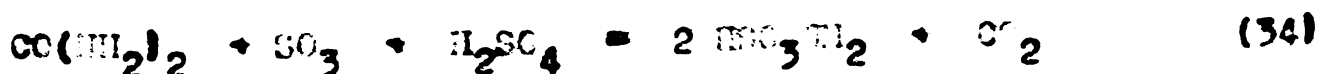


Într-un deficit mai mic de acid sulfuric, reacția ar putea duce la descompunerea totală a ureei :



În cele următoare pînă acum, se desprinde următoarea concluzie : ureea reacționează cu acidul sulfuric și formează acid sulfamic, dacă raportul uree:acid sulfuric este 1:2, temperatură de  $14^{\circ}\text{C}$ . Cu un exces de acid sulfuric peste acest raport, răndamentul în acid sulfamic scade, iar la un deficit de acid sulfuric, produsele de reacție nu conțin acid sulfamic.

Reacția dintre uree și oleum are loc cînd răndamentele mult mai mari în acid sulfamic, decît în cazul acidului sulfuric și în condiții mai blînde de temperatură. Reacția are loc după următoarea ecuație :



Această reacție globală se desfășoară și ea în mai multe trepte. Se admite că în prima treaptă are loc o lfoare ureei de către tricloridul de sulf liber din oleum, ca formare de acid carbonido-sulfosulfonic :



In a doua treaptă, acidul carbonidomonosulfonic oferă sulfoliză în prezența acidului sulfuric, ducând la acid sulfanic și acid sulfocarbonic :



Acidul sulfocarbonic, fiind instabil se decompune și el în acid sulfanic și dioxid de carbon :



In practică s-a constatat că reacția între uree și oleum decongează randamente bune, cca 90% (raportate la uree), dacă concentrația în trioxid de sulf liber din oleum corespunde cel puțin acidului pirosulfuric (45%  $\text{SO}_3$  liber). Cu un oleum mai diluat, randamentele în acid sulfanic sunt mai mici, chiar dacă trioxidul de sulf total existent în amestecoul de reacție este în exces, c.cci, cu un oleum mai diluat peste reacția (34) se suprapune și reacția de sulfoliză a ureei cu acid sulfuric (24), ceea ce duce la scăderea randamentului total în acid sulfanic.

Reacția cu oleum are loc la temperatură mai joasă decât cea cu acid sulfuric. Temperatura de reacție scade cu creșterea concentrației de trioxid de sulf în oleum. În general este suficientă temperatura de  $20 - 90^\circ\text{C}$ , la care se ajunge ușor distorții exotermice în reacție.

Pentru a se controla regula de temperatură în timpul reacției, P. Baumgarten /53/ propune următorul mod de lucru : ureea se disolvă în cantitatea de acid sulfuric necesară pentru formarea bisulfatului de uree, menținind această temperatură de  $40^\circ\text{C}$ . Acestea se adaugă treptat în vasul în care se adună oleumul necesar reacției și se încălzesc la  $75 - 80^\circ\text{C}$ . După terminarea reacției produsul se lasă să se răcească, precipitatul cristalin de acid sulfanic rezăvat se filtrează pe o placă fritată ( $\text{f}_3$ ) sau

$\text{G}_4$ ) și se spală cu acid sulfuric de 70%. Acesta se recrystalizează din apă obținându-se acid sulfacic pur.

În vederea măririi rendocentul și de acid sulfacic din uree și oleum, precum și îmbunătățirii procesului tehnologic, lucrări mai recente, în general brevete, propun diferite modificări.

Astfel, W.K.N. Clausen-Kaas, J.V.B. Petersen în brevetul lor /65/, propun utilizarea oleumului cu 40 - 45%  $\text{SO}_3$ , liber, în raport stoichiometric față de uree și temperatură de  $115^{\circ}\text{C}$ . În brevetul lui H.J. Peclin și colaboratorii /66/ se propune utilizarea oleumului cu 79%  $\text{SO}_3$ , liber, într-un raport uree : oleum de 1:4,6 și temperatură de  $80^{\circ}\text{C}$ . Henry A. Nyckha în brevetul /67/ propune utilizarea oleumului cu 45%  $\text{SO}_3$ , liber, în raport uree:oleum de 1:2 și temperatură de  $65 - 85^{\circ}\text{C}$ . A.E. Sowerby în brevetele lui /67,69/, propune utilizarea oleumului cu 20%  $\text{SO}_3$ , liber în raportul uree:oleum de 1:1,2 - 1:1,65 și temperatură de  $60^{\circ}\text{C}$ , iar W.H. Morris /70/ propune utilizarea trioxidului de sulf pur în exces de 10% față de cel stoichiometric și temperatură de  $40 - 75^{\circ}\text{C}$ .

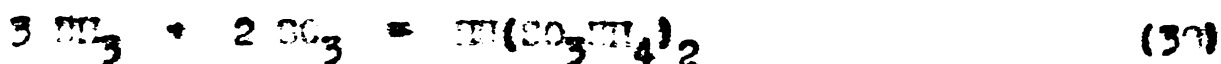
## 2.- Obținerea acidului sulfacic din trioxid de sulf și amoniac

### 2.a.- Reacția dintre trioxid de sulf și amoniac

Prima încercare de a studia producții de reacție dintre amoniacul gazos și trioxidul de sulf gazos, a fost făcută de H. Rose în prima jumătate a sec. al XIX-lea /4/. El a constatat că în urma reacției dintre amoniac și trioxid de sulf, se formează două feluri de produse solisi : o cristală vitroasă și o pulbere albă. Prin dissolvarea în apă a cristalei vitroase, se obține o coloanie care are reacție acidă, din care se separă o substanță albă, cristalini, pe care o denumește "peresulfatam" cu compoziția :

$3 \text{H}_3\text{S}\text{O}_3$  • Soluția apăsată a produsului, sub formă de sulfere, are reacție neutrală și din ea se pot separa cristale de "sulfonat", cu compozitie  $4 \text{H}_3\text{S}\text{O}_3$ . Mai târziu, E. Dölligrund (1751), arată că cele două săruri derivează de la același acid și anume : paraculfat anionul este iodosulfonatul de diaxoniu  $\text{III}(\text{SO}_3\text{III}_4)_2$  și sulfat-anionul este iodosulfonatul de trixoniu  $\text{III}_4^3(\text{SO}_3\text{III}_4)_2$ .

P. Beutagarten și A.J. Krumbacher /57/ arată, că reacția dintre amoniac și trioxid de sulf, în fază gazosă, decurge după ecuația :



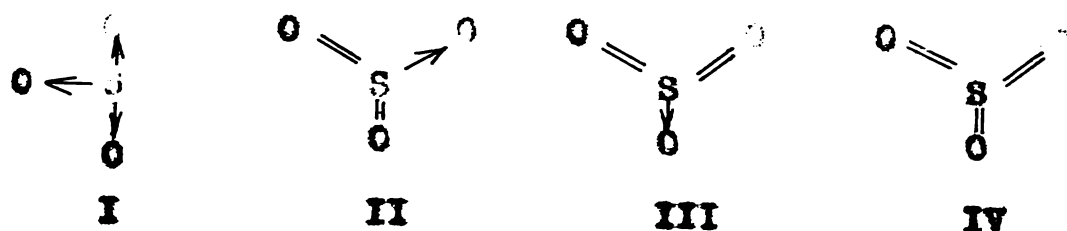
în care în exces de amoniac ducă la iodosulfonat de trixoniu.

Aceșași autori au studiat și reacția dintre o soluție apăsată de amoniac și trioxid de sulf gazos și au constatat că  $2/3$  din trioxidul de sulf introdus, se transformă în iodosulfonat de trixoniu,  $5'$  din trioxidul de sulf trece în iodosulfonat de axoniu și restul trioxidului de sulf introdus, trece în sulfat de axoniu.

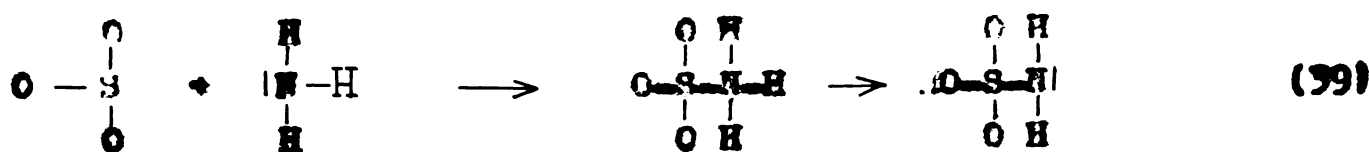
Studii mai recente arată, că în urma reacției dintre amoniac și trioxid de sulf, rezultă un produs de reacție în care predomină iodosulfonatul de trixoniu /54,55,71-76/.

În privința mecanismelor de reacție, R. Appel, J. Huber și H.A. Leibmann și colaboratorii /57,71,76/ indică diferite posibilități, plecând de la considerații asupra structurii electrotronice a trioxidului de sulf.

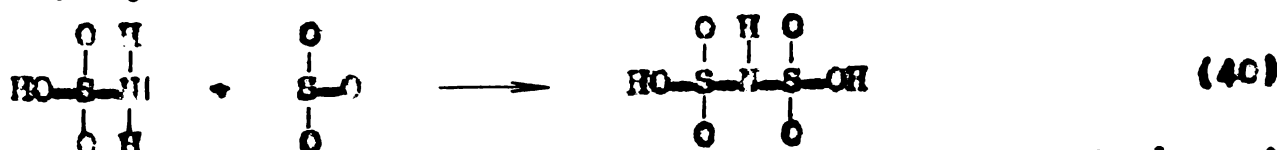
Se știe că (K. Palmer /77/), în molecula de trioxid de sulf în stare de vaporă, distanța S=O este mai scurtă decât cea corespunzătoare unei legături simple. Se poate admite, că între atonul de sulf și cel de oxigen există legături parțial duble. În această interpretare, molecula trioxidului de sulf îar reveni structurile electronice reprezentate prin formulele I - IV :



Dacă se consideră că atomul de sulf din molecula de trioxid de sulf este înconjurate cu un sertet electronar, formula I, el va căuta să își completeze la octet, prin adiție de electroni de la o substanță nucleofilă (bază Lewis). În acest mod se poate explica unele reacții ale trioxidului de sulf, cum ar fi: polimerizarea lui în diferite modificări, adiția de apă, de diuran, etc. Configurația cu 10 electroni (formulele II și III), este puțin stabila și se倾de să treacă în configurația cu 12 electroni, (formula IV), așa cum se află sulful în ionii sulfat și în hexafluorură. În primele trei formulări, trioxidul de sulf apare cu o structură electronică incompletă pentru o stare stabila, tinde să adioneze electroni de la substanțe nucleofile, de exemplu de la molecula de amoniac. Astfel, formarea acidului sulfamic se poate explica prin adiția la trioxidul de sulf a perechii de electroni liberi ai acetului din amoniac, urmată de migrarea unui proton, după schema :



S-ar putea admite, că și formarea imidosulfonatului de amoniu, care este produsul principal de reacție dintre trioxidul de sulf și amoniac, să urmăse o cale asă căndtoare și nu se adionează anul moleculă de trioxid de sulf la perechea de electroni neapărțită cipanți ai acetului din acidul sulfamic și migrarea unui proton.

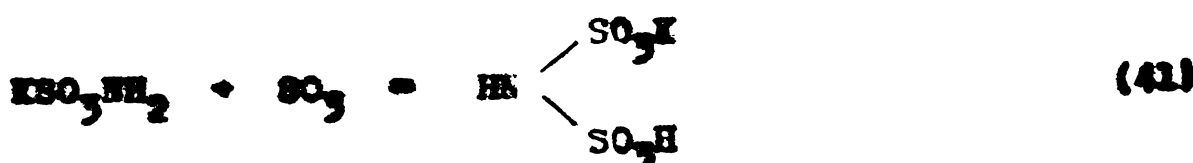


Formarea imidosulfonatului de amoniu, după reacția (40), este posibilă în cazul cînd trioxidul de sulf este în exces. Dar în cazul cînd amoniacul este în exces, este de așteptat ca reacția

și decurgă după ecuația (39). Practic, în producții reacției dintre trioxidul de sulf și amoniac, în exces, predomină iodosulfonatul de diazoniu și prin urmare, decurgereea reacției după ecuația (40) nu este posibilă.

O verificare a posibilității ca acidul sulfasic cristalin și trioxidul de sulf să reacționeze ca mai sus, a fost efectuată și de R. Appel, W. Huber /71/, R. Appel și H. Goehring /72/. El au introdus cristale de acid sulfamic în trioxidul de sulf lichid sau într-o soluție de trioxidul de sulf în nitroacetan. În ambele cazuri s-a constatat că acidul sulfamic nu reacționează cu trioxidul de sulf.

Inertia acidului sulfamic la reacția cu trioxidul de sulf, se datorează structurii sale de "anfion", după cum s-a arătat mai înainte. În acestă formulare a acidului sulfamic la atâtul de acet, nu mai apare perechea de electroni neparticipanți și deci nu mai este posibilă adiția trioxidului de sulf. Spre deosebire de acidul sulfamic, sulfonații de sodiu și de potasiu, pot reacționa în stare solidă cu trioxidul de sulf și să formeze iodosulfonatul acid de sodiu sau de potasiu :

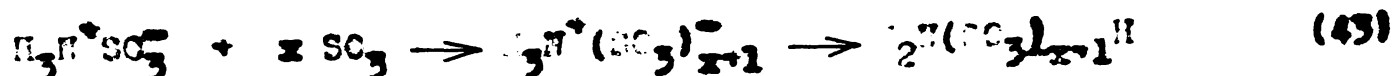


sau după ecuația (42), de pe urmă cătreia apare sulfacid-di-sulfonatul de potasiu și acidul sulfuric :

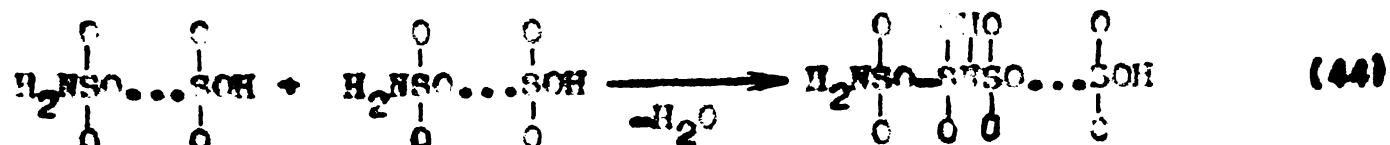


Într-o lucrare mai recentă, H.A. Leibman și colaboratorii /73/ au reluat cercetările privind posibilitatea unei reacții între acidul sulfamic solid și trioxidul de sulf. Într-o boală cu bile, ei au introdus acidul sulfamic sub formă de pulbere și trioxidul de sulf lichid, și au constatat că trioxidul de sulf

reacționarea cu acidul sulfamic solid cu o ușoară ridicare a temperaturii. Produsul de reacție se separă sub formă de cristale la temperatura de  $30 - 40^{\circ}\text{C}$  și răufează în suspensie în trioxidul de sulf lichid, în timp ce acidul sulfamic nereacționat se poate decanta. După îndepărțarea acidului sulfamic, suspensia se filtrază pe o placă poroasă, se spală cu trioxid de sulf lichid și se tine în aer bine uscat. Produsul uscat se prezintă ca o pulbere fină, care în atmosferă degajă treptat ceață de trioxid de sulf, deci treptat se descompune. Pentru a se îndepărta mai repede trioxidul de sulf, slab legat, produsul s-a încălzit la  $50, 70, 120, 140, 170^{\circ}\text{C}$ . Debogramele au arătat că produsul încălzit la  $50 - 70^{\circ}\text{C}$  are aceeași structură ca și produsul brut, iar la probele încălzite la  $120 - 170^{\circ}\text{C}$  pe debograme apar linii suplimentare caracteristice acidului sulfamic, a căror proveniență nu poate fi explicată. Analiza calitativă a produsului de reacție obținut, s-a efectuat prin cromatografie pe hârtie, prin care s-au putut separa o serie de produși de derivă prin hidroliza acidului amidopolisulfuric. Acestea se presupune că se formează astfel : datorită structurii de "amfion" a acidului sulfamic solid, trioxidul de sulf nu se poate adăuga la azotul din molecula acidului sulfamic, ci la un atom de oxigen al grupării  $\text{SO}_3$  din acidul sulfamic, urmată de migrarea unui proton, conform ecuației (43) :



Este posibilă și formarea acidului imido-di-polisulfonic printr-o condensare ce are loc între grupările  $\text{NH}_2$  și  $\text{NH}_2$  ale acidului amidopolisulfuric, conform ecuației (44) :



Alcătuitorii propun însă un mecanism de reacție pentru formarea acidului iocido-dipoliculfonic și aruncă, astăzi de trioxid de sulf la parochea de electroni liberi a azotului din molecula de acid iocidopolisulfonic :

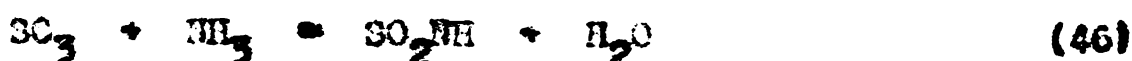


Indiferent care este cursul real al reacției între acidul sulfamic solid și trioxidul de sulf lichid, produsul rezultat conține punți S-E-S isolate printr-un număr mai mare sau mai mic de punți S-C-S. La facilizarea acestui produs, el pierde trioxid de sulf, prin scindarea lui din rețea și duce în final la un compus polimerizat de forma  $(\text{HSO}_2)_x$ , sulfinida.

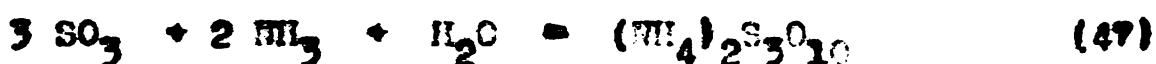
R. Appel și W. Huber /71/ au studiat experimental și comportarea ionului sulfamic față de trioxidul de sulf pentru a putea explica mecanismul formării iocidosulfonatului de amoni. În acest scop au folosit o soluție apăsată amoniacală de acid sulfamic marcat ( $\text{S}^{35}$ ) în care au barbotat trioxid de sulf, diluat cu acot. În urma reacției analiza produselor de reacție a arătat următoarele : cantitatea de acid sulfamic a rămas cea inițială și și-a păstrat practic întreaga activitate radiochimică. Iocidosulfonatul de amoni care s-a format a fost complet liposit de activitate radiochimică, deci nu s-a format prin intermediul sulfonatului de amoni, deși ionul sulfamic poate fi conceput și ca o paroche de electroni liberă la atocul de acot (vezi p. 4).

Reacția dintre amoniac și trioxidul de sulf în exces, conform ecuației (33), ar trebui să ducă la formarea iocidosulfonatului de amoni. Studiile întreprinse de R. Appel, H. Goehring /72/ și A. Lehmann, G. Kasper, H. Ruppert /76/ au demonstrat că între amoniac și trioxidul de sulf în exces, se formează un produs de

condensare. Pentru a se izola produsii primari de reacție, deci pentru evitarea unei hidrolize posibile, trioxidul de sulf să fie izolvat în nitroetan, care este un bun solvent pentru trioxidul de sulf. În soluția de nitroetan este stabil trioxidul de sulf monomer. Dacă în această soluție se introduce amoniac găsos, se obține alături de un produs solid, alb și uscat trisulfatul de amoniu, și acesta de produs în care predomină sulfonida și care rămâne izolvat în nitrometan. Formarea trisulfatului de amoniu necesită presența apăi și aceasta ar putea rezulta în urmă reacție :



pe reacționare în continuare cu trioxidul de sulf și cu amoniu, formând trisulfatul de amoniu :

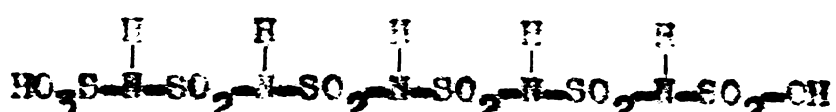


Apă separarea trisulfatului de amoniu, prin filtrare, soluția astfel se evaporă în vid, la temperatură camerei, pentru a se îndepărta nitroetanul și astfel se obține un rezidu alb, anorf, sulfonios, foarte hidroscopic, de compoziție probabilă:  $(\text{SO}_2\text{NH})_x \cdot \text{H}_2\text{SO}_4$  - acidii sulfimid-sulfonici. În acest produs condensat moleculele x poate lua valori de la 3 la 6. Din el se izolă ca 3% sulfamide polimerizată,  $(\text{SO}_2\text{NH})_x$ , restul fiind un produs neuniter, în care nu se pot separa substanțe individuale.

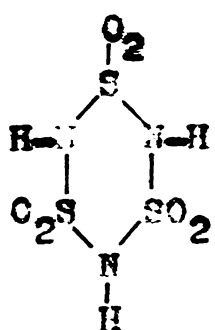
Produsul rezultat, la evaporarea nitroetanului, dizolvat în apă, formează o soluție cu un caracter puternic acid. Prin hidroliza care are loc, se identifică acid sulfuric, acid sulfamic și sulfamide. Pentru evitarea hidrolizei, rezidul se tratează cu amoniac uscat. Se constată că el își menține masa cu aproximativ 24%, deci absorbe amoniac. Produsul astfel prelucrat a fost dizolvat în apă. Analiza produsilor rezultați prin hidroliză care are loc, a pus în evidență prezența inițiosulfonatului de triamoniu, a sulfatului de amoniu și a sulfamidei, dar nu și a triamoniului.

sulfonatului de amonia.

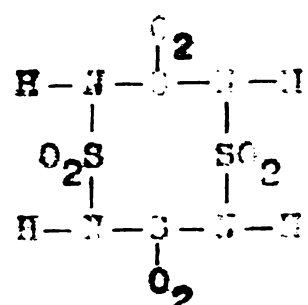
Acidul polisulfidiculsionic în care  $x = 5$ , are următoarea formulă:



Formarea acestor acizi are loc în modul următor : trioxidul de sulf reacționează cu amoniul și formează sulfimida, conform ecuației (46). Sulfimida sonorează, formată inițial, este instabilă și se polimerizează în trimer și tetramer. Acești polimeri au fost izolați sub formă de sare de argint de către R. Appel, W. Huber /71/, R. Appel, H. Goehring /72/, H.A. Lebohm, G. Heape, H. Ruppert /76/, H.A. Lebohm, W. Rooscher, K. Guld /77/, W.I. Embleton, H.G. Sharpe /79/, care propun următoarele formule ciclice pentru tri- și tetramer (V și VI) :



(V) triulfimidă



(VI) tetrasulfimidă

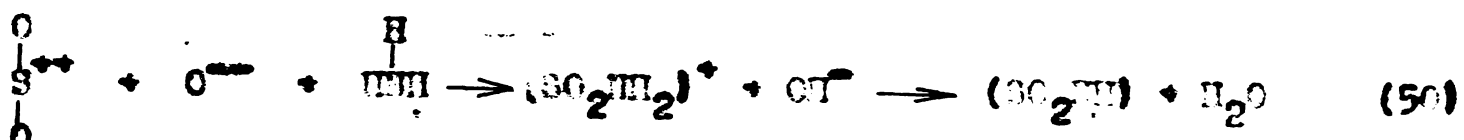
Sulfimidele polimerizate reacționează mai departe cu apă formând în reacția (46) și cu trioxidul de sulf, formând acizii polisulfidiculsionicici conform ecuației (48) :



Mecanismul formării sulfimidelor și a acizilor polisulfidiculsionicici care derivă sinteza, este următorul : considerind că trioxidul de sulf ar avea structura (II) sau (III), cu sece electroni la atomul de sulf, acesta ar ajunge la un octet electronic prin cedarea unui ion de oxigen :



Acum lucru este posibil nuai dacă există acceptori pentru ionul de oxigen, cum este de exemplu un proton ce provine de la molecula de amoniac :



Compusul  $(\text{SO}_2\text{NH}_2)^+$ , format intermediar, se stabilizează prin cedarea unui proton și astfel apare sulfina care polimerizează și reacționează în continuare cu apa și trioxidul de sulf și produce acidii policulfosulfonici.

După cum s-a arătat mai înainte, prin tratarea recidivilor după evaporarea nitrooctanului cu amoniac și hidroliza lui, rezultă un acetate de săruri, compus din sulfat de amoniu, iodosulfonat de amoniu și sulfacidă, acestfel că poate fi luat în considerare și un mecanism ușor de formare a iodosulfonatului de amoniu :



R. Appel și W. Huber /52/ caută să explică formarea ca precedentă a iodosulfonatului de diazoniu în producțile de reacție dintre trioxid de sulf și amoniac, plecând de la faptul cunoscut, că în amoniul lichid se găsesc cantități mici de ioni acidici  $\text{NH}_2^+$  și de amoniu  $\text{NH}_4^+$ ; iodosulfonatul de amoniu se formează prin adiția trioxidului de sulf la ionalul acidic. Ional  $\text{NH}_2^+$  este o bază Lewis mai tare decât asociul datorită celor două perechi de electroni liberi ai atomului și astfel este mai reactiv față de trioxidul de sulf decât amoniul. În producțile de reacție dintre trioxidul de sulf și amoniac în exces, alături de iodosulfonat de amoniu, se mai găsesc și sulfatul de amoniu, sulfatul de amoniu,

nitrilosulfonat de amoniu și sulfamidă. R. Appel și E. Huber admit că sulfonatul de amoniu se formează prin adiția unei moleculă de trioxid de sulf la perechea de electroni liberă a azotului din amoniac, cu migrarea ulterioră a protonului, iar nitrilosulfonat de amoniu se formează prin adiția unei moleculă de trioxid de sulf la perechea de electroni liberă a azotului din moleculă de iadisulfonat de amoniu cu migrarea protonului :



Sulfatul de amoniu se formează în cantitatea cea mai mare în cazul cind în prezență există umiditate, și printre produgii de reacție există nitrilosulfonat de amoniu. Nitrilosulfonatul de amoniu este foarte instabil și hidrolizează formând iadisulfonat de amoniu și bisulfat de amoniu, conform reacției :



Sulfamida, în fine, s-ar forma prin adiția ionului acidic la ionic  $(\text{SO}_2\text{NH}_2)^+$  :



care la rândul lui s-ar obține după ecuația (50).

În concluzie, între amoniac și trioxid de sulf pot avea loc următoarele reacții de adiție și de condensare :

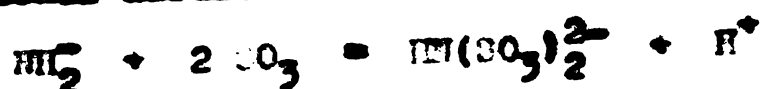


Reacții de adiție :

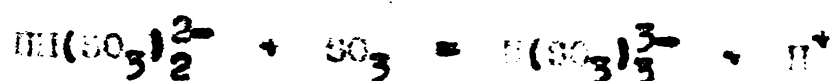
• la moleculă de amoniac :



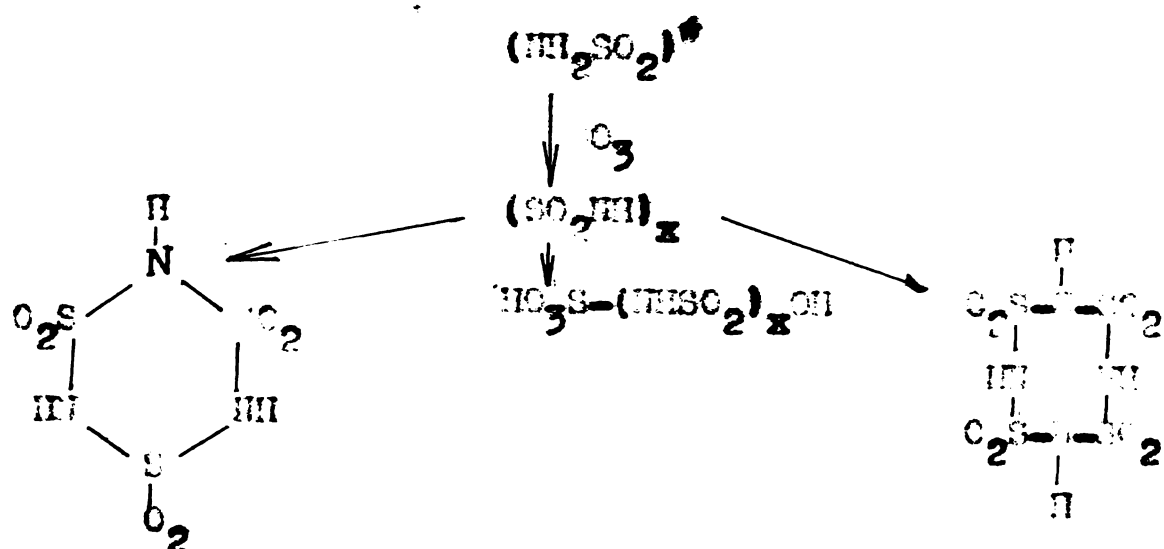
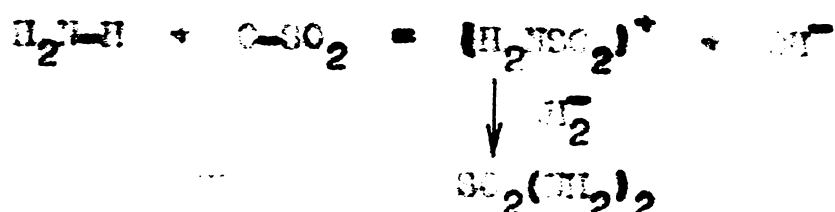
– la ionic acidic :



- la ionul iodosulfonitic :



## Reacții de condensare :



R. Appel și W. Huber /71/ au condus reacția între trioxidul de sulf și amoniac în diferite condiții, în scopul de a urmări influența acestora asupra formării diferitelor compuși și asupra rendementelor lor. Datele lor experimentale sunt prezentate în tabela 1.

După cum se observă din tabelă, cantitatea cea mai mare de sulfat de amoniu se formează cind reacția eșint în fază gazoasă, iar cea mai mare cantitate de sulfat de amonic se formează cind se foloșește amoniacul sub forță de soluție apăsată, sau în prezență de umiditate, ca în cazul cind din reacție rezultă apă ( $\text{SO}_3$  în soluție de nitronetan).

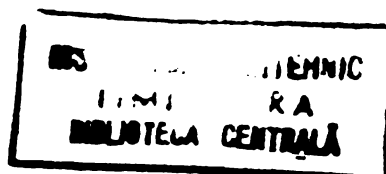


Tabela 1

$\text{SO}_3 + \text{NH}_3$ în exces						
Condiții de reacție	Produse de reacție %					
	$\text{NH}_4\text{SO}_3\text{NH}_2$	$\text{H}_2(\text{SO}_3\text{NH})_2$	$\text{H}(\text{SO}_3\text{NH})_3$	$\text{SO}_2(\text{NH}_2)_2$	$(\text{NH}_4)_2\text{SO}_4$	
$\text{SO}_3 + \text{NH}_3$ gazeozi la $60-90^\circ\text{C}$	10-15	70-80	-	1-4	1-15	
$\text{NH}_3$ soluție apoasă +	-	55-70	-	0,5 - 2	20-36	
$\text{SO}_3$ gaz						
$\text{SO}_3$ soluție în nitroacetan 4 - 9	52-58	-	8 - 11	27-30		
+ $\text{NH}_3$ lichid						
$(\text{SO}_3)_n +$ $\text{NH}_3$ lichid	1,8	83,4	-	9,2	5,5	

Y. Ito și colaboratorii /74-80/ au efectuat reacția între trioxid de sulf și amoniac ca în aceleasi condiții ca și P. Apel și C. Huber /71/, dar cu rezultate puțin diferite, așa cum se vede din tabela 2.

Tabela 2

$\text{SO}_3 + \text{NH}_3$ în exces						
Condiții de reacție	Produse de reacție %					
	$\text{NH}_4\text{SO}_3\text{NH}_2$	$\text{H}_2(\text{SO}_3\text{NH})_2$	$\text{H}(\text{SO}_3\text{NH})_3$	$\text{SO}_2(\text{NH}_2)_2$	$(\text{NH}_4)_2\text{SO}_4$	
$\text{SO}_3 + \text{NH}_3$ gazeozi la $150^\circ\text{C}$	3,7	83,8	-	-	8,7	
$\text{SO}_3 + \text{NH}_3$ gazeozi și vapori de amă	3,9	24,9	-	-	67,4	
$\text{NH}_3$ lichid						
+ $(\text{SO}_3)_n$	15,9	62,4	-	-	13,6	
$\text{NH}_3$ lichid + $(\text{SO}_3)_n$ - $76^\circ\text{C}$	16,7	66,6	-	4	5,6	

Intre rezultatatele obtinute de R. Appel și colaboratorii, pe de o parte și Y. Ito și colaboratorii, pe de alta, există diferențe atât în ce privesc compoziții produselor de reacție, cât și proporțiile acestora. Astfel, R. Appel găsește că la reacția între aconiac lichid și trioxid de sulf solid se formează: sulfat de amoniu, 1,8%, inidosulfonat de amoniu 83,4%, sulfat de amoniu 5,9% iar sulfamidă 9,2%. În același timp, Y. Ito găsește sulfat de amoniu 16,7%, inidosulfonat de amoniu 66,6%, sulfamidă 4%, iar sulfat de amoniu 5,6%. Ito și colaboratorii n-au identificat prezența nitrilosulfonatului de amoniu printre producțele de reacție. El arată că nitrilosulfonatul de amoniu se poate forma în reacția dintre trioxid de sulf și aconiac, dar în alte condiții și poate că el se produce în proporție de 50,8% dacă reacția are loc la  $130 - 160^{\circ}\text{C}$  și dacă raportul dintre  $\text{SO}_3$  :  $\text{H}_2\text{NCO}$  este de 1:1,66. Deocamdată în reacția dintre trioxid de sulf și aconiac se urmărește un rendement maximal de acid sulfamic, astunci apariția nitrilosulfonatului de amoniu nici nu este de dorit, deoarece la prelucrarea ulterioară a produselor de reacție el duce la nicioare proporție de acid sulfamic.

Y. Ito și colaboratorii /54,73-73,80-81/ , au întreprins studii sistematice și amănunte privind stabilirea condițiilor optime de obținere a acidului sulfamic din reacția dintre trioxid de sulf și aconiac. Acești cercetători au stabilit că proveniența trioxidului de sulf nu influențează sensibil proporția produselor de reacție rezultată. Fie că se pleacă de la trioxid de sulf obținut din oleum, fie că se folosește trioxid de sulf de la scobale de oxidare a bixoidalui de sulf, se obțin aproximativ aceeași produse și dacă se lucrează în același condiții de temperatură și la același raport între reacționari. Prin utilizarea tri-

oxidului de sulf din oleum se obtine aproape integral iacidosulfonat de diazoniu lipsit aproape complet de sulfat de amoniu, iar dacă se utilizează trioxid de sulf de la scabele de oxidare, produsul de reacție conține adică cantități de sulfat de amoniu. Dioxidul de sulf ușor nu reacționează aproape deloc cu amoniocul ușor, însoțit că se evadă în gazele reziduale. Dar în prezență de aciditate ele reacționează cu amoniacul, înalt producând forțe și (sulfat și bisulfat de amoniu) se descompun în procesul prelucrării acide a produselor de reacție.

Un răndament bun în acid sulfanic, la capitolul prelucrării acide a produselor de reacție, se realizează după cum arată grupul de cercetători japonezi, dacă între trioxid de sulf și amoniac se asigură un raport solar de 1:2 și dacă temperatura de reacție este menținută la  $150\text{--}15^{\circ}\text{C}$ . În aceste condiții gazele răscăzute aproape complet și produsele de reacție conțin drept component principal iacidosulfonatul de diazoniu.

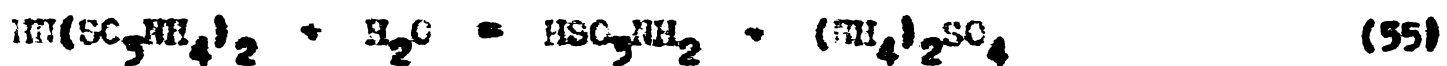
În mod practic, reacția se execută într-un cilindru din oțel continut cu un sistem de evacuare a producăului solid rezultat. Recarece să este puternic exotermă, temperatura producătorului de reacție oară poate ridica mult, ( $300^{\circ}\text{C}$ ), în care caz obiectul rezultat se topesc, formând o crustă ce se lipesc pe peretele reactorului. Întrucât îndepărtarea ei, procesul ar trebui întrerupt. Se evită acesta dacă în reactor se asigură un regim optim de temperatură și se prevede un sistem de răcire.

E. Vasua și colaboratorii /32/ și N. N. Hoffmeister /33/ propun unele ameliorări acestei reacții, toate fiind axate pe realizarea unui proces continuu și mărire productivității reactorului.

## 2.b.- Hidroliza produselor de reacție dintre trioxid de sulf și amoniac

Obținerea acidului sulfamic din produsele reacției dintre trioxid de sulf și amoniac, necesită o prelucrare ulterioră a acestora și anume hidroliza lor în mediu acid. După cum s-a văzut, în produsele de reacție predomină isidosulfonatul de diaconiu, iar în cantități mai mici se găsesc sulfamat de amoniu, sulfat de amoniu și amoniac liber. Din acest anestec acidul sulfamic se obține prin hidroliza isido-sulfonatului de diaconiu și prin tratarea acidului sulfamatic de diaconiu.

Reacțiile procesului de hidroliză acidă sunt :



In practică, pentru hidroliză se utilizează acid sulfuric, ieftin, care asigură recuperarea soluției cum ca sulfat de amoniu ca și separarea acidului sulfamic liber, echibulitenă acestuia scăind mult cu creșterea concentrației de acid sulfuric.

Cercetările anterioare privind stabilirea condițiilor optime la hidroliza acidă au fost efectuate de S. Uchida și colaboratorii /56/. După ei, hidroliza se poate realiza în două moduri :

a.- Produsele de reacție se dizolvă în apă și soluției î se adaugă fierăt acid sulfuric concentrat, astfel ca temperatura să nu se ridice peste  $70^{\circ}\text{C}$ , spre a se evita hidroliza acidului sulfamic format. Cantitatea de acid sulfuric care se adaugă, trebuie să asigure o concentrație finală de 70%.

b.- Produsele de reacție în stare solidă se introduc treptat în acid sulfuric de 70% menținându-se temperatură de  $70^{\circ}\text{C}$ .

Cele două metode de hidroliză își au fiecare avantajele și dezavantajele. În metoda "a" este necesar să se răcească energetic sușul de reacție după hidroliză, pentru a îndepărta căldura produsă prin diluarea acidului sulfuric. În acestă metodă se obțin cristale de acid sulfonic pur, care se filtrează și se spală ușor. În metoda "b" nu este necesară răcirea, deoarece căldura deajunsă la hidroliză nu ridică temperatură peste  $70^{\circ}\text{C}$ , în schimb se obține un terci de cristale murante care se filtrează și se spală greu.

Acoperă consumul de acid sulfuric se arată următoarele: dacă se adaugă numai cantitatea corespondătoare reacților (56,5%) apără pericolul cristalizării concomitente a acidului sulfuric și a sulfatului de amoniu sub formă de sare dubă  $\text{NH}_3\text{NH}_2(\text{NH}_4)_2\text{SO}_4$  ce conține 42,2% acid sulfuric /74,25%. Pentru a se evita acest inconvenient, se utilizează o cantitate mai mare de acid sulfuric și în acest caz, sulfatul de amoniu rămâne sub formă de bisulfat de amoniu, iar acidul sulfuric se separă sub formă de cristale. Sulfatul de amoniu în soluție de acid sulfuric mai concentrată de 53% se prezintă sub formă de bisulfat de amoniu -  $\text{NH}_4\text{HSO}_4$ . În soluții de acid sulfuric mai diluate de 5%, sulfatul de amoniu se prezintă sub formă de triamoniu hidrosulfat -  $3(\text{NH}_4)_2\text{SO}_4\text{NH}_2\text{SO}_4$ .

Practic, cantitatea optimă de acid sulfuric pentru hidroliza unui kg de proteine de reacție, este de 3 l acid sulfuric 92%, în care concentrația de cristalizare al acidului sulfuric este de 94%. Soluția sănătă, după separarea cristalelor de acid sulfuric, conține acid sulfuric și bisulfat de amoniu. În acest procedeu rezultă la 1 kg de acid sulfonic 7 kg sulfat de amoniu ca produs secundar.

y. Ito /86/ indică o metodă de hidroliză a producătorilor de

reacție și separarea acidului sulfamic chiar sub formă de sare dublă  $\text{NH}_3\text{H}_2\text{O}(\text{NH}_4)_2\text{SO}_4$ . Separarea acidului sulfamic ca sare dublă, are avantajul că pe de o parte se economisește acid sulfuric iar pe de alta cristalele sării duble sunt mai mici și se filtrelă mai ușor. După filtrare, sareea dublă se decompune prin tratare la  $20^\circ\text{C}$  cu acid sulfuric de 40–45%, cind sulfatul de amoniu se dissolvă iar acidul sulfamic rămâne sub formă solidă. Prin acest procedeu la 1 kg acid sulfamic rezultă ca depozit numai 5 kg sulfat de amoniu.

V. Ito și colaboratorii într-un brevet /17/ propun un cod de lucru aproximativ asemănător, care are final ca rezultat reducerea cantității de sulfat de amoniu la numai 4,1 kg la 1 kg de acid sulfamic.

V. Ito în lucrarea sa /18/ arată că sareea dublă  $\text{NH}_3\text{H}_2\text{O}(\text{NH}_4)_2\text{SO}_4$  poate fi utilizată ca atrăgătoare de ierbicide. Această sare care se topeste la  $162-165^\circ\text{C}$  este solubilă în apă, la  $20^\circ\text{C}$  dissolvându-se 100,7 g în 100 g apă.

O variantă diferită a hidrolizei imidosulfonatului de diaconiu este indicată de L.P. Michitina, V.I. Stepanova /19/ care constă în următorul pas al procesului : imidosulfonatul de diaconiu poate fi hidrolizat în absența acidului sulfuric,iodiul acid fiind asigurat de acidul sulfamic însuși, care în acest caz are și un rol autocatalitic. Reacția care are loc în hidroliză este :



Practic, imidosulfonatul de diaconiu se introduce într-o soluție de coa 3% acid sulfamic și se menține la temperatură de  $5-60^\circ\text{C}$ . După terminarea hidrolizei, reacția de reacție se răcește și acidul sulfamic cristalizează parțial. Cristalele de acid sulfamic se filtrelă, iar soluția răcătoare este returnată în reacție.

Tot ca hidroliza iodo-sulfonatului de diazoniu se ocupă T. Shiro și colaboratorii într-un brevet /90/ în care se aduc unele modificări procesului de hidroliză cu acid sulfacic.

Cristalele de acid sulfamic au tendința de a se aglomeră în timpul depozitării. Aglomerarea se evită prin anestecarea lor cu etanol (o parte etanol la 100 părți acid sulfamic), prin adăugarea unei cantități de acid sulfamic, acid fosforic, glicerini în proporție de 0,05 - 0,5%, sau prin adăugarea a 2,5% sulfacet de calciu /91,92/.

### 3.- Obținerea sulfonatului de azotin

#### 3.a.- Obținerea sulfonatului de azoniu prin neutralizarea soluțiilor apăsate de acid sulfamic

• cale comună de a obține sulfonatul de azoniu este neutralizarea cu amoniac gazos a unei soluții apăsate de acid sulfamic



În timpul neutralizării, temperatura soluției trebuie menținută la  $70^{\circ}\text{C}$  pentru a se evita hidroliza acidului sulfacic.

In veacerea obținerii sulfonatului de azoniu prin acest procedeu, se poate utiliza fie acid sulfamic solid, dizolvat în apă, fie soluțiile de acid sulfamic ce rezultă la hidroliza iodo-sulfonatului de diazoniu. Prinul lucru care are avantajul că utilizând acid sulfamic solid, deci mai pur, rezultă o soluție de sulfonat de azoniu mai pură, sulfatul de azoniu fiind prezent numai dacă nu s-au respectat condițiile de temperatură în timpul neutralizării sau dacă acidul sulfacic a fost impurificat cu acid sulfacic.

Schemă tehnologică completă propusă de I. P. Rîčitina și

V.L. Stepanova /39/, de preparare a sulfatului de azotiu pe acestă cale, ar fi următoarea : produsul de reacție între trioxidul de sulf și azotiac, ce se obține în reactorul cilindric 1, trece în vasul de dissolvare și hidroliză 2, peste care se adaugă acid sulfuric concentrat din rezervorul 3. Soluția rezultată trece în al doilea vas de hidroliză, unde se mai adaugă acid sulfuric concentrat pentru ca în soluția finală, concentrația în acid sulfuric să ajungă la 55-65%, cind cristalizația aproape întreagă conținută de acid sulfacic. Suspensia obținută trece în centrifugă 4, unde cristalele de acid sulfacic se filtrează, se spălă prin apă și apoi sunt trecute în vasul de dissolvare-neutralizare 5. După terminarea neutralizării cu azotiac găsesc, soluția de salucent de azotiu, cu un conținut de 50-65%, trece în evaporatorul 6, și de aici, la cristalizatorul tubular 7. Sulfatul de azotiu sub formă de soluție se ambalează, iar soluția rădă, acidul, separată în centrifugă 4, care conține 40% acid sulfuric și 2% sulfat de azotiu, trece la neutralizare cu azotiac, pentru a se recupera sub formă de sulfat de azotiu (figura 3).

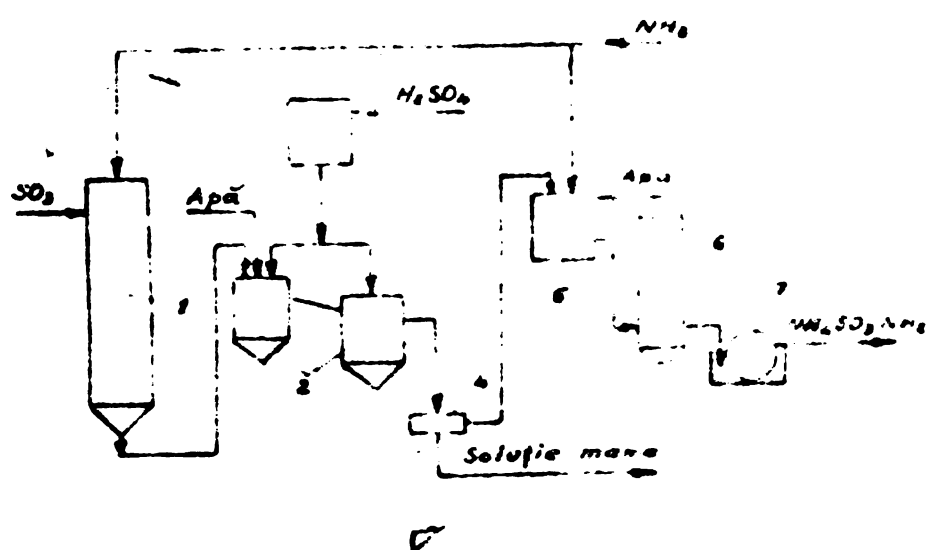


Fig. 3.

Neglijarea acestei metode este că se utilizează cantități mari de acid sulfuric și astfel rezultă cantități mari de soluții acide, ce trebuie recuperate.

Obținerea sulfatului de azotiu din soluțiile de solu-

sulfamic ce rezultă neajlocit la hidroliza imidoculfonatului de diazoniu, necesită că puține faze, în schimb apar dificultăți la separarea celor două produse care apar în proces, și anume : sulfatul de amoniu și sulfatul de azotiu (figura 4).

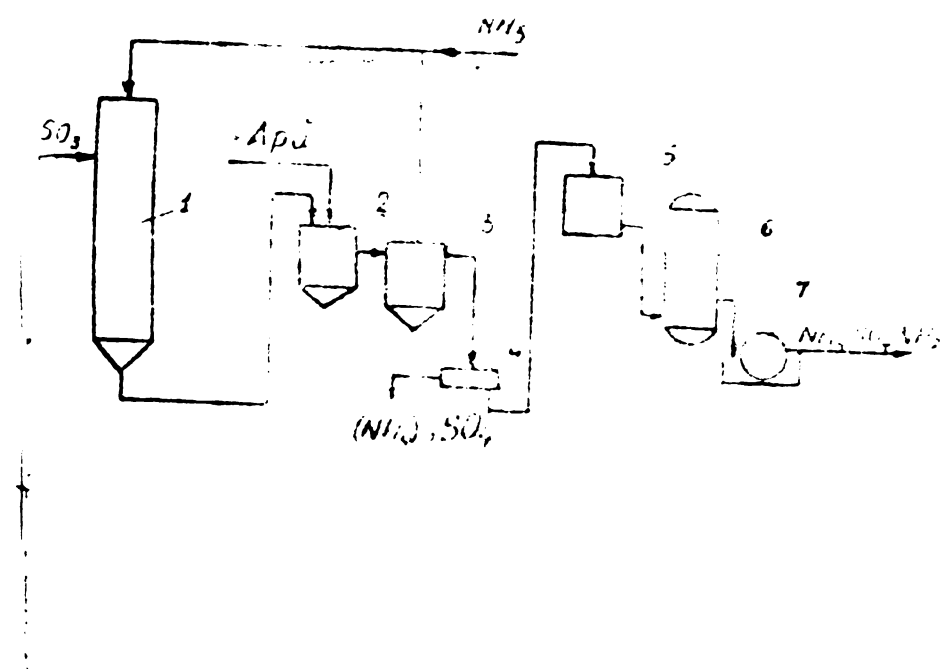


Fig. 4

Imidoculfonatul de diazoniu, obținut în reacția 1, se introduce în aparatul de hidroliză 2. Soluția rezultată se scrie în vasul de neutralizare 3. Suspensia slab alcalină din vasul de neutralizare, se ridică la 20–25°C, cind cristalizează o-a și oare parte din sulfatul de azotiu. Aceasta se separă în centrifugă 4, iar soluția rămasă cu un conținut de 55–59%  $\text{NH}_4\text{SC}_6\text{H}_5\text{L}_2$  și 9–12%  $(\text{NH}_4)_2\text{SO}_4$  trece prin vasul tampon 5, în evaporatorul 6. În acelă soluție trece la cristalizare și centrifugarea cristalină de sulfatul de amoniu. În acest proces nu se folosesc acidi sulfuri de pentru hidroliză și nu apar soluții destul de acide, car apăr soluții destul de conținut de hidroxid de calciu, de către 55% sulfat și 11% sulfat de azotiu. Sulfatul de azotiu se recuperă din aceste soluții introducându-le în vasul de hidroliză în care se ridică soluția de acid sulfonic (de 30%), necesar hidrolizei imidoculfonatului de diazoniu. Aceast lucru are dezavantajul că diluarea soluției de acid sulfonic, care este mult

tempul opereției (ca o soluție de 1% acid sulfacic, formă hidro-

lizată se adaugă de 4-6 ori).

Doar anii avantajos ca să se utilizeze soluția caldă de la separarea sulfatului de amoniu, pentru purificarea sulfatului de amoniu brut. În acest scop, soluția se încălzește la  $30-35^{\circ}\text{C}$  și se introduce într-unul sulfatul de amoniu lăsat plin de acetătă și concentrație de 70%. La această concentrație se adăună o parte din sulfatul de amoniu cristalizat și se separă prin filtrare la cald. Apoi soluția se ricăște și din ea sulfatul de amoniu cristalizat mai pur, cu un răndament plin la 100%.

În studiul separării sulfatului de amoniu din soluția de sulfat de amoniu s-a ocupat G. Ichida și colaboratorii /9/. Autorii au determinat solubilitatea reciprocă în cincisprezece  $\text{NH}_4\text{SCN}-\text{NH}_4\text{HSO}_4-\text{H}_2\text{O}$  la diferite temperaturi. În următoarele cercetări, se constată că solubilitatea sulfatului de amoniu este puțin influențată de prezența sulfatului de amoniu, cătă solubilitatea sulfatului de amoniu scade la jumătate în soluții ce conțin sulfatul de amoniu și nu variază cu temperatura, după cum se observă în figura 5.

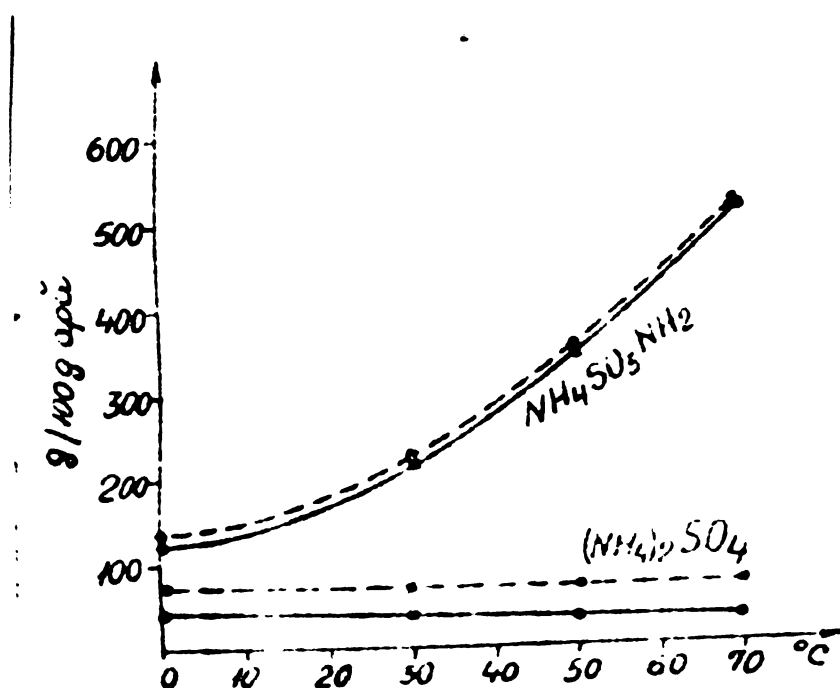


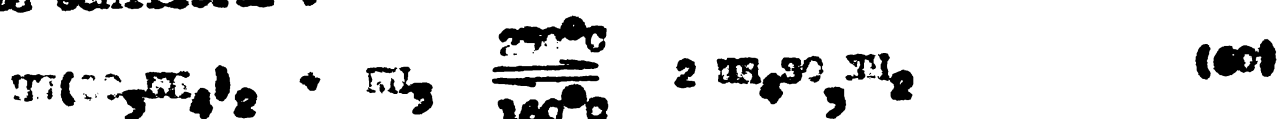
Fig. 5

Liniile intrerupte din diagrame reprezintă solubilitatea sărurilor singure, liniile continue reprezintă solubilitatea reciprocă la diferite temperaturi. Astfel, prin evaporarea soluțiilor ce conțin cele două săruri, sulfatul de amoniu cristalin îl prinde și astfel se înălță seama de către soluție a sulfatului de amoniu, ceea ce va putea fi filtrat la cald evitându-se astfel pericolul cristalizării lui, concomitant cu sulfatul de amoniu.

In condiții industriale, sulfatul de amoniu se obține sub formă de topitoru fără rită, baci și, sau sub formă de solzi. Produsul industrial conține circa 90% sulfat de amoniu, 5% sulfat de amoniu și 5% apă. Aplicarea sulfatului de amoniu în agricultură sub formă de baci și, nu este convenabilă, și din această cauză este necesar ca el să se cacească. N. Nagayuki și colaboratorii /94/ propun un procedeu de a obține sulfatul de amoniu sub formă de particule mici, uniforme și care nu se aglomeră, ușor aplicabil în agricultură. Cu problema obținerii cristalizărilii și purificării sulfatului de amoniu se mai ocupă și S. Sugihara /95/, N. Nagayuki și colaboratorii /96/ și I. Bobarts /97/.

### 3.3.- Obținerea sulfatului de amoniu prin amonoliză în iodosulfatul de diazoniu

Între iodosulfatul de diazoniu și sulfatul de amoniu există echilibru:



îndepărțirea temperaturii la  $250^\circ\text{C}$  favorizează reacția de disociere, iar la  $160^\circ\text{C}$  reacția decurge către formarea iodosulfatului de diazoniu. Un alt parametru al echilibrului îl constituie presiunea amoniacului.

Această reacție este recomandată de R.R. Sisler și colaboratorii săi chiar ca metodă de preparare a iodosulfonatului de diaxoniu în scopuri de laborator.

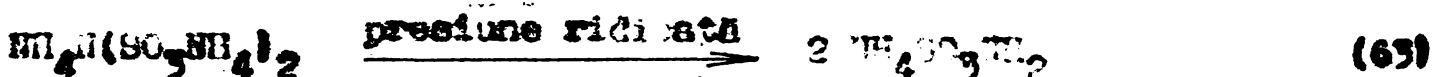
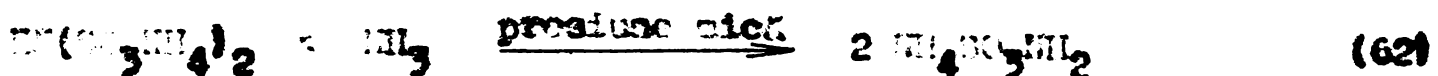
Yukio Ito /93,99/ a efectuat studii extinse asupra condițiilor de reacție din procesul (6), ca și asupra condițiilor optime de transformarea a iodosulfonatului de diaxoniu în sulfat de axoniu.

Icosi și Dr. Divers și Haga /4/ au constatat că introducind iodosulfonat de diaxoniu sub formă de pulbere fină într-o atmosferă de axoniac, acesta își crește volumul cu unirea a absorbției axoniacului și trece întotdeauna sub formă de sulfat axidat stabilă în aer ușor. Această pulbere în procesă prezintă cegajă axoniac. Prin foscilaire, ea devine și de asemenea axoniac, pierând prin acesta, la temperatură de  $110-120^{\circ}\text{C}$  circa 5,4% din greutate. Pulbera secată este iodosulfonatul și triaconiu, rezultat conform reacției :



În studiul său Y. Ito pleacă de la faptul, că iodosulfonatul de triaconiu, sub presiunea de 16 at și și pilotrul stabilitează pînă la  $220^{\circ}\text{C}$ . Întotdeauna, dacă iodosulfonatul de triaconiu se introduce într-o autoclavă și se foscilează între  $120-220^{\circ}\text{C}$ , acesta se descompune și prezintă axoniacul în autoclavă crește treptat pînă la 16 at (figura 6, curba 1). Continuă foscilairea pînă la  $220^{\circ}\text{C}$ , prezintă axoniacul înregistrând o scădere brusă sau pentru un scurt moment al reacției. Deodată se face sub apresiune inițială de 16 at de axoniac, atunci la  $220^{\circ}\text{C}$  nu se mai înregistrează o variație bruscă de presiune. În astfel

casuri produsul de reacție este sulfatul de amoniu. În conformitate cu aceste date V. Ito propune două mecanisme de reacție pentru formarea sulfatului de amoniu din iodosulfat de amoniu și amoniu și:



În concluzie, dacă presiunea de azoniac este mai mare decât presiunea de dezcompunere a iodosulfatului de triamoniu (16 atm) formarea sulfatului de amoniu are loc după reacția (63), iar dacă presiunea de azoniac este mai mică are loc reacția (62). În ambele cazuri temperatura trebuie să fie mai mare de  $22^{\circ}\text{C}$ .

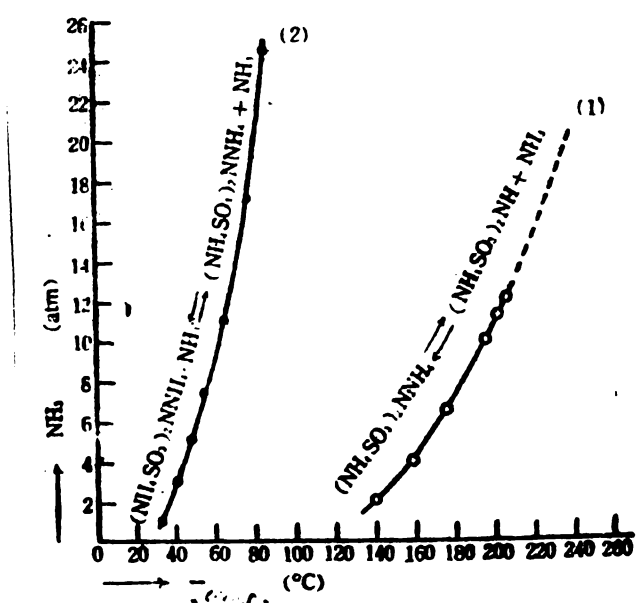


Fig. 6

În cadrul acestor cercetări V. Ito arată că între iodosulfatul de diamoniu și azoniac se mai formează încă un compus neobservat în literatură. El se formează când ne vom da iodosulfatul de triamoniu în atmosferă de azoniac la temperatură obișnuită.



Comp. 1 acesta este instabil în condiții obișnuite de conservare și probabil din această cauză nu a putut fi obținut în alti cercetători. Echilibru de descompunere este reprezentat prin curba 1 din figura 6, care arată o presiune de echilibru mult mai mare ca la iodosulfonatul de triamoniu.

Incercările efectuate pentru stabilirea comp. 1 împreună cu procesul de descompunere a iodosulfonatului de triamoniu au dus la următoarele constatări: presiunea de echilibru este în rol dominant asupra rendementului de formare a sulfatului de amoniu. Acest lucru este prezentat în figura 7 cu trei curbe și trei ul de reacție a fost de 2% cincă și temperatură de  $23^\circ\text{C}$ .

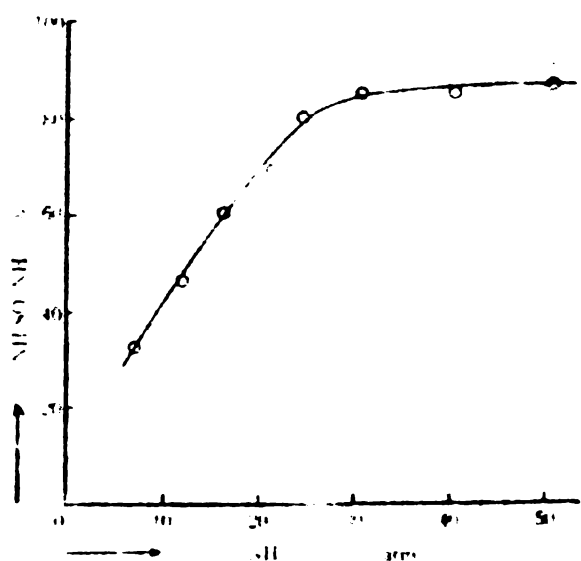


Fig. 7

În același diagramă se constată că în primul rând este de 7% și rendamentul de formare a sulfatului de amoniu este slab, ca urmare a faptului că iodosulfonatul de triamoniu obținut are formă de cristale și nici la exponenția de cinci. Presiuni mari, peste 30%, și, deoarece de formare a sulfatului de amoniu

aconiu este de 86% și totodată viteză de reacție este mare. Temperatura optimă este cuprinsă între  $230\text{--}290^{\circ}\text{C}$ . La temperaturi mai mari de  $320^{\circ}\text{C}$ , produsele de reacție conțin foarte mult sulfat de aconiu și în consecință conținutul de sulfat de aconiu scade. Prezența amidităii în tisul aconolizat dă ce de asemenea la creșterea conținutului de sulfat de aconiu în produsele de reacție. În același timp s-a constatat că se obțin asemenei rezultate, dacă se pleacă de la iodosulfat de diamoniu pur sau de la produsele de reacție dintre trioxid de sulf și aconiac.

Se poate concluza că sulfatul de aconiu se poate obține direct din produsele de reacție dintre trioxid de sulf și aconiac și acesta se tratează cu aconiac sub presiune de 30 at, la  $290^{\circ}\text{C}$ , timp de 30 minute. În aceste condiții sulfatul de aconiu are puritatea de 80-90%.

Asupra realizării practice a aconolizelui în desulfatul lui de diaconiu, o serie de brevete propun diferite soluții pentru scrierea mandamentului în sulfatul de aconiu sau pentru aconolizare în proces continuu /100-105/.

## CAPITOLUL III

### METHODE DE ANALIZA

Analiza cantitativă a acidului sulfanic și a sulfonatului de amoniu este relativ simplă, cind este vorba de substanțele pure. Ea se complică însă cind produsele sunt impurificate cu alți constituenți ca : acid sulfuric, sulfat de amoniu, și bisulfonat de amoniu, respectiv sulfat de amoniu, și trisulfonat de amoniu. Compoziția chimică a producătorilor de reacție între triiodiu de sulf și amoniac, este și mai complexă și în acest caz nu se apără nitrilosulfonatul de amoniu și sulfonida.

Metodele de analiză indicate în literatură se bazează pe dozarea sulfului sub formă de sulfat de bariu sau amoniu acetylui prin une din metodele cunoscute.

#### 1.- Analiza acidului sulfanic pur

##### 1.a.- Prin neutralizarea cu o bază

Acidul sulfonic în soluție este un acid tare și se poate titra cu o bază tare în prezența indicatorilor cu interval de viraj  $pH = 4-9$ , ca : fenolftaleina, metiloranj, roșu de acetil /39/40%.

Dacăacidul sulfonic este stabil în condiții obișnuite de depozitare, cristalinizând astfel și printr-o recristalizare din apă ce obține acid sulfonic pur, el a fost propus de Hoffmann și Niczalski /106/ ca titrosubstanță.

##### 1.b.- Prin precipitare ca sulfat de bariu

Soluția clorhidrică de acid sulfonic tratată cu asocat alcalin, reacționează energetic cu dezvoltare de azot.



In soluții mai concentrante se produce chiar o explozie. Tot în această soluție, la fierbere, poate apărea acid azotic, datorită precipitarea sulfatului de bariu, deoarece acesta înglobează parțial azotat de bariu provocând rezultate mai mari. Se recomandă să se lucreze cu soluții diluate 0,1 - 0,2. Ioni  $\text{Sc}_4^{2+}$  rezultante din acidul sulfacic se precipită cu o soluție de cloruri de bariu și se lucrează într-unul din modurile cunoscute.

Identificarea calitativă a acidului sulfacic sau a sulfatelor se poate face pe același cale a tratării soluției acide cu o soluție diluată de azotit; apariția unui precipitat deoarece se adaugă cloruri de bariu, denotă prezența ionului  $\text{S}\text{O}_4^{2-}$ .

#### 1.c.- Prin dosarea acetului

In reacția dintre acid sulfacic și azotit de sodiu se dezvoltă azot gazos. Măsurarea cu o instalație gas volumetrică a acetului degajat constituie o metodă suficient de exactă și expedientă pentru dosarea acidului sulfanic.

Metoda Kjeldahl poate fi utilizată de asemenea pentru determinarea acetului amidic din acidul sulfacic.

#### 2.- Analiza compozului acid sulfacic - acid sulfuric

In acest caz sunt necesare două determinări:

a.a.- Determinarea acidității totale prin neutralizare cu o soluție titrată de hidroxid alcalin în prezența unui indicator obigozit.

Determinarea acidului sulfuric prin precipitarea lui sub formă de sulfat de bariu, cu o soluție diluată de cloruri de

bariu (1%), precipitarea executindu-se la rece, pentru a preveni hidroliza acidului sulfanic.

2.b.- Dozarea acidului sulfuric sub formă de sulfat de bariu și apoi dozarea sulfului total tot ca sulfat de bariu, după decompunerea acidului sulfanic cu azotit de sodiu.

2.c.- Dozarea acidului sulfuric sub formă de sulfat de bariu iar a acidului sulfanic prin dozarea azotului după metoda Kjeldahl.

2.d.- Determinarea acidității totale prin neutralizare cu o soluție titrată de hidroxid alcalin, urmată de dozarea acidului sulfuric prin titrare conductometrică cu o soluție titrată de clorură de bariu /10%. Această metodă poate va fi descrisă în cadrul părții experimentale, întrucât este originală.

2.e.- Acesteiaul de acid sulfanic și acid sulfuric, poate fi determinat volumetric cu complexul tetracodat. Această determinare este de asemenea originală și va fi extinsă la partea experimentală.

### 3.- Analiza sulfatului de amoniu

Determinarea cantitativă a sulfatului de amoniu se poate efectua prin dozarea azotului total, după metoda Kjeldahl sau dozarea azotului economic, prin distilarea economică după tratarea cu o soluție concentrată de hidroxid de sodiu și absorbția amoniacului degajat într-o soluție titrată de acid sulfuric.

Ional  $\text{NH}_4^+$  din sulfat poate fi dobat cu formaldehidă fără afectarea grupei amidice, după metoda descrisă de Ricci și Selikson /100%. În acest scop, în prăbușindu-l la  $50^\circ\text{C}$  se adaugă formaldehidă de 1% și se neutralizează cu o mirosă viteză aciditatea formată, cu o soluție de hidroxid de sodiu n/10 în prezența rogului de octil. Această metodă este nu, în

laboricosă și suficient de exactă.

4.- Analiza anestecului de sulfat de amoniu și sulfat de amoniu

Un astfel de anestec poate fi analizat prin :

4.a.- Dosarea sulfatului de amoniu sub formă de sulfat de bariu, după o tigoare acidulare a soluției de analizat cu acid clorhidric și precipitarea la rece cu o soluție diluată de clorură de bariu. Dosarea sulfului total, tot ca sulfat de bariu, după acidulare și descompunere cu azotit de sodiu a sulfatului de amoniu.

4.b.- Dosarea sulfatului de amoniu ca sulfat de bariu și a azotului total prin metoda "jeldahl".

4.c.- Dosarea azotului total prin metoda Jeldahlii re de o parte și dosarea  $\text{NH}_4^+$  prin distilare, după tratare cu hidroxid de sodiu concentrat, sau prin legare cu formaldehid 10% și neutralizarea acidității rezultate. Trebuie de rearcăt că metoda conductometrică și cea complexometrică, în acest caz, nu dă rezultate satisfăcătoare.

5.- Analiza anestecului de imidosulfonat de aluminiu,  
sulfat de amoniu și sulfat de amoniu

O metodă de analiză completă a acestui anestec se indică u.D. Baumgarten și A.H. Grunacher /57/, metodă care este considerată în prezent clasică, deoarece toți autori care s-au ocupat cu studiul acestor compuși, o indică drept metodă de verificare.

Sulfatul de amoniu se determină ca sulfat de bariu dar, pentru a se evita hidroliza imidosulfonatului de aluminiu, precipitarea cu clorură de bariu se face la rece, pe baza de apă-gheăză, iar acidularea se face numai pînă la virarea indicatorului.

lui rogu de metil. După o oră, precipitatul de sulfat de bariu se filtrează pe orenză filtrant.

Dosarea iodosulfonatului de amoni se efectuează tot ca sulfat de bariu. În acest scop, soluția de analizat se acidifică cu acid clorhidric diluat ( $20 \text{ cm}^3$  a/10) și se fierbe 2 minute, pentru hidroliza iodosulfonatului de amoni. În urma hidrolizei dintr-un mol de iodosulfonat de amoni rezultă un mol de acid sulfamic și un mol de sulfat de amoni. Sulfatul de amoni, rezultat în urma hidrolizei, plus sulfatul de amoni existent în acestea inițial, se precipită la cald ca sulfat de bariu. Diferența dintre această cantitate de sulfat de bariu și cea obținută la determinarea sulfatului de amoni, înmulțită cu 2, reprezintă cantitatea echivalentă de sulfat de bariu corespondătoare iodosulfonatului de amoni.

Dosarea sulfatului de amoni se face indirect, prin dete-  
minarea sulfului total. Pentru aceasta este necesară hidroliza iodosulfonatului de amoni și decoagurarea cu acetat de sodiu a sulfatului de amoni. Ioniul sulfat rezultat în urma acestor operații, se precipită tot ca sulfat de bariu.

Metodă de dosare a iodosulfonatului de amoni cîngur  
eau din acestea cu celalăți componente, mai expedient și  
exactă a descrie-o S. Cahida /75/. Această metodă se bazează  
totuși pe faptul că iodosulfonatul de amoni în soluție neutru  
se slab acidă, hidrolizând la cald. Acidul sul anion rezultat  
se determină prin neutralizare cu o soluție titrată de hidroxid  
de sodiu, în prezența rogului de metil ca indicator. Probă  
reacționând cu, în soluții acide la fierbere, acidul sulfamic înseși  
poate hidroliza, trecind în bisulfat de amoni, dar și în acest  
cas, aciditatea totală nu se schimbă. În mod practic se procede-  
ază astfel : soluția de analizat se neutralizează cu acid clor-

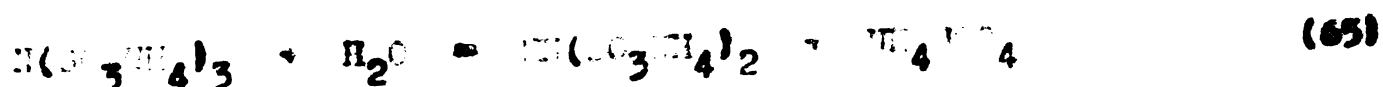
hidric n/10, făgăde rogu de metil și apă se adaugă încă 10 cm<sup>3</sup> acid clorhidric n/10, se atingează un refrigerent ascendent și se fierbe 10-15 minute. După terminarea hidrolizei, oară înțal vasul să se răcească, se diluează cu apă și se neutralizează aciditatea totală cu o soluție n/10 de hidroxid de sodiu. În experiență personală în laborator, s-a constatat că pentru hidroliza completă a imidoculfonatului de amoniu este suficient un tău de fierbere de trei minute, iar dacă soluția capucii hidrolizei se diluează cu 100-150 cm<sup>3</sup> apă, fierberea se poate face fără refrigerent.

Acestă metodă simplifică mării dosarele imidoculfonatului de amoniu, răfinând ca sulfatul de amoniu și sulfatul de amoniu să se doseze sub formă de sulfat de bariu, sau determinând azotul amoniacal prin distilare, iar azotul total prin metoda Kjeldahl.

6.- Analiza nitrilosulfonatului de amoniu și a său în  
prezenta cu sulfat de sulfat, imidoculfonat de amoniu  
și a sulfonidei

Între produse care au la reacția dintre trioxid de sulf și amoniac, se află și nitrilosulfonat de amoniu și sulfamide, pentru determinarea lor individuală și în prezenta, se sunt propuse metodele :

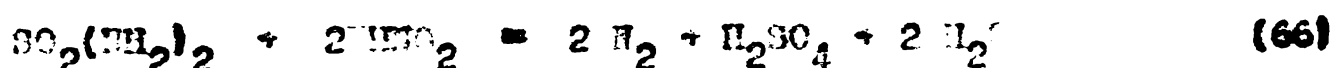
6.a.- Nitrilosulfonatul de amoniu în soluții neutre sau acide, la temperatură camerei hidrolizează și trece în imido-sulfonat de diazoniu și bisulfat de amoniu, după reacția :



Pentru a preveni opina hidrolizei nitrilosulfonatului de amoniu, dizolvarea anestecoului de analizat se face în apă cu o cantitate mică de amoniac. Soluția de analizat se neutralizează cu acid

clorhidric n/10, în prezența rocului de metil, se adaugă 5 cm<sup>3</sup> de acid clorhidric n/10 și se menține la temperatură camerei 3 minute. Se neutralizează cu o soluție n/10 de hidroxid de sodiu, aciditatea existentă și ceea forcată în urma hidrolizei. Incidoculfonatul de amoniu se dozază prin hidroliză la fierbere, iar celelalte componente și prin una din metodele descrise mai sus. Această metodă este propusă de Y. Ito și colaboratorii /74/.

c.b.- Determinarea cantitativă a sulfamidei se poate efectua dozând acotul total prin metoda Kjeldahl sau prin dozarea sulfului ca sulfat de bariu. Dozarea sulfamidei ca sulfat de bariu se poate efectua numai după ce ea se descompune cu acetat de sodiu, după reacția :



Deoarece metodele de dozare ale sulfamidei sunt identice cu ale sulfonatului de amoniu și dau aceleași rezultate, dozarea ei în prezența calorilor și produgi de reacție ai amoniului cu trioxidul de sulf nu este posibilă. Din această cauză, sulfamida trebuie separată de restul produselor prin extracție cu acetoni, întărit aparat Soxhleth și apoi dozată prin una din metodele descrise.

## P A R T E A    II

### C A P I T O L U L    IV

#### PREPAREA ACIDULUI SULFATIC DIN URÆE SI OLEUM, PURIFICAREA SOLUȚIILOR DE ACID SULFATIC, OBȚINEREA ACIDULUI SULFATIC PUR, ANALIZA ACIDULUI SULFATIC IN AMESTEC CU ACID SULFURIC

##### 1.-Obținerea acidului sulfatic din uræe și oleum

Pentru obținerea micilor cantități de acid sulfatic necesare cercetărilor de laborator, cea mai simplă metodă de preparare este aceea din uræe și oleum.

Rețetele indicate în literatură în principiu, sunt identice, dar diferă în ceea ce privește concentrația oleomului, raportul dintre uræe și oleum, temperatura de lucru. Astfel din indicațiile din literatură /53,66-70/ se observă că raportul între uræe și oleum (trioxid de sulf liber) poate să varieze între 1:1 pînă la 1:4,6, iar concentrația oleomului între 20 - 100% trioxid de sulf liber.

Dată fiind această diversitate de valori ale raportului uræe:trioxid de sulf, în prima parte a lucrării am încercat să stabilesc o valoare optimă pentru acest raport.

Pentru încercări am utilizat uræe p.a. cu conținut de azot de 46,2%, adică uræe de 99,2%, oleum cu 50% trioxid de sulf liber și acid sulfuric c.p. cu  $\delta = 1,831$ . În toate variantele, încercările ce le-am efectuat au adăugat cinci porțiuni de soluții sulfatice de uræe, în oleum și nu invers, ceea ce a facilitat menținerea temperaturii între 80-100°C /10%/.

##### Modul de lucru

Într-un balon cu trei gâturi de capacitate de 500 cm<sup>3</sup> am introdus o cantitate cintată de oleum (10-150 g). Apoi

gitul central al balonului s-a introdus un agitator, printre-un git lateral un termometru, iar prin al doilea git lateral se introduce soluția de uree în acid sulfuric și se elimină gazele de reacție. Balonul se înălțează pe o baie de apă. După ce temperatura oleumului a atins  $75^{\circ}\text{C}$ , se introduce în balon o porțiune din soluția de uree și sub agitare continuă, se lasă să reacționeze. După cîteva secunde reacția devine violentă, ceea ce se observă prin ridicarea bruscă a temperaturii (pînă lacca  $100^{\circ}\text{C}$ ) și emisarea intensă a unei de reacție și degajarea abundentă de gaze. Ridicarea bruscă a temperaturii se datorează pe de o parte caracterului puternic exoterm al reacției, iar pe de altă parte, diluării oleumului. Biroxidul de carbon ce se degajă, precum și ridicarea bruscă a temperaturii, anunță o cantitate destul de mare de trioxid de sulf. Treptat, temperatura se coboară pentru că în 5 ~ 8 minute să ajungă la  $80^{\circ}\text{C}$  cind reacția este mai linătuită. După ce degajarea de biroxid de carbon și emisarea încreștează, se adaugă o nouă porțiune de soluție de uree în acid sulfuric și se procedează ca mai sus. Cind s-a adăugat cînd  $1/3$  din cantitatea de uree se observă în balon separarea sub formă de cristale a acidului sulfuric. În sprijinul adăugării soluției sulfurice de uree, reacția fiind mai puțin energetică, timpul de reacție se întindează. După ce s-a adăugat ultima porțiune de uree în acid sulfuric, amestecul se lasă caca la  $80^{\circ}\text{C}$ , apoi balonul se ridicează la temperatura ambientă, după care acidul sulfuric format se filtrează pe o pilnică de sticla cu placă fritată G3, se spală cu o soluție de acid sulfuric 70% și se lasă sub vid  $1/2$  ora. Durata procesului este de 3,5 ore.

In timpul filtrării s-a constatat că la probele în care raportul dintre uree și oleum era de 1:1 nu se degaja trioxid de sulf, iar turta obținută este mai uscată, pe cînd la probale

efectuate cu exces de trioxid de sulf, soluție care fierbe mai mulți sau mai puțin, în funcție de valoarea excesului, iar turta de acid sulfanic este mai uscată. Turta de acid sulfanic o să conțină și pe o porțiune să fie făcută analiza cantitativă a constituenților.

Un exemplu : 119 g oleum cu 50% trioxid de sulf liber, în care se adaugă 44 g uree p.a. dissolvată în 31  $\text{cm}^3$  acid sulfuric. Această reacție corespunde unui raport uree:oleum de 1:1. Se obține 133 g acid sulfanic brut, care conține :

$$\% \text{ HSO}_3\text{NH}_2 = 73,72$$

$$\% \text{ H}_2\text{SO}_4 = 26,3$$

Rendental de acid sulfanic reportat la ureea inițială este deci de 70%.

Rezultă concomitant cu 150  $\text{cm}^3$  soluție care constă din acid sulfuric impurificat cu ceva biculfat de amoniu, sau chiar oleum diluat, cu circa 5% trioxid de sulf liber, și soluție de acid sulfuric de 70%, utilizând ca reacție de oxidare, care pentru cantitatea de acid sulfanic obținută este de circa 5%  $\text{cm}^3$ . Soluția care nu poate utiliza pentru dissolvarea unei noi cantități de uree, fiind acest lucru nu se poate repeta de prea multe ori, deoarece soluția se impurifică treptat cu biculfat de amoniu și asta poate impurifica în rîndul său acidul sulfanic format.

În tabelă 3 se indică rendental în acid sulfanic, reportat la uree pentru diferitele raporturi dintre uree și oleum la care s-a luat.

Din tabel se observă că rendențele în acid sulfanic raportate la uree au valori apropiate de cele indicate în literatură ceea ce arată că un exces prea mare de oleum nu și are justificare.

Tabelă 3

Nr. exp.	Reacție molar uree:oleum	Rendement în $\text{HSO}_3\text{NH}_2$ %
1.	1 : 1	70
2.	1 : 1,5	81
3.	1 : 2	85,5

Aș incercat să evităm utilizarea de oleum substituind-l cu trioxid de sulf pe care l-am introdus în soluția de bisulfat de uree (uree în acid sulfuric ca mai sus). Trioxidul de sulf se lasează dintr-o sobă de oxidare a binoxidului de sulf (gasale au un conținut de circa 7%  $\text{SO}_3$ ).

În balonul cu trei gături s-a introdus soluția de bisulfat de uree (30 g uree în 55 cm<sup>3</sup> acid sulfuric concentrat), s-a fierosit la 80–90°C și se spală, printre-țară din gături, s-a introdus gazele cu trioxid de sulf, massa de reacție din balon fiind în continuu agitare. La început se observă o reacție energetică, balonul este plin cu gazii de trioxid de sulf; treptat atmosfera din balon se clarifică și massa de reacție care inițial era o soluție se transformă într-un terci, ca după circa 5 ore să se solidifice. După întrecerea eurientării de trioxid de sulf se observă că aceasta este cristalină fumagă. Se lasează să se răcorească, apoi se transformă în terci prin adăugarea de acid sulfuric concentrat și se filtră pe o pălnie din sticla cu placă poroasă. Aceste filtrează se distrugă și se analizează cantitativ.

Resultatele obtinute s-au fost satisfactorie nici sub aspectul rendementului (40-50%, nici sub aspectul puritatii produsului (25-32% acid sulfanic).

De exemplu compozitia unui produs obținut în moduri diverse urmărește:

$$\% \text{NH}_3\text{NH}_2 = 30,11$$

$$\% \text{H}_2\text{SO}_4 = 68,90$$

Rendamentul în acid sulfanic, reportat la uree, este de abia 45,6%. Aceasta se explică prin faptul că, lipsind un exces continuu de trioxid de sulf liber în mediul de reacție, este favorizată sulfolanarea ureei după reacția:



În continuarea experimentărilor proprii, am urmat influența temperaturii asupra rendementului în acid sulfanic și asupra vitezelor de reacție. Literatura citată /53,66%/ indică drept limite de temperatură 40-110°C.

Am folosit un balon cu trei găuri cu capacitate de 250 cm<sup>3</sup> prevăzut cu agitator. Balonul s-a introdus într-un ultratermostat. În balon am introdus 20 g oleum cu 50% trioxid de sulf liber, acea ce reprezintă un exces de 7 ori mai mare decât cel stoichiometric necesar în reacția cu ureea, elicii după ce s-a încălzit la temperatura de lucru în el s-a introdus 3 cm<sup>3</sup> acid sulfuric concentrat, care tinea în soluție un g uree /10%/.

Desfășurarea procesului s-a urmat prin determinarea cantitativă a bixidului de carbon degajat în urma reacției dintre uree și oleum. Bixidul de carbon care este emis și o carecare cantitate de trioxid de sulf s-a absorbit într-o soluție de hidroxid de potasiu n/2 aflată în vase absorbtoare.

Printr-un robinet cu trei ori, curentul de gaze s-a dirijat pe rind în vasele absorbitoare, după anumite intervale de timp. La sfîrșitul reacției, binoxidul de carbon, rămas în vasul de reacție a fost extrămat cu un curent de aer lipit de binoxid de carbon (trecut peste calce sodată). Cantitatea de binoxid de carbon, absorbită în soluția de hidroxid de potasiu, s-a determinat prin metoda Warder /116/. Rezultatele experimentale sunt afectate într-o măsură mai mare de erori din cauza trioxidului de sulf degajat, care barbotasează și el în soluția absorbită și din cauza vitezei mari de barbotare a gazelor, mai ales în cazul temperaturilor mai ridicate. Totuși, aceste determinări arată că viteză reacției dintre uree și oleum crește cu temperatura (figura 3).

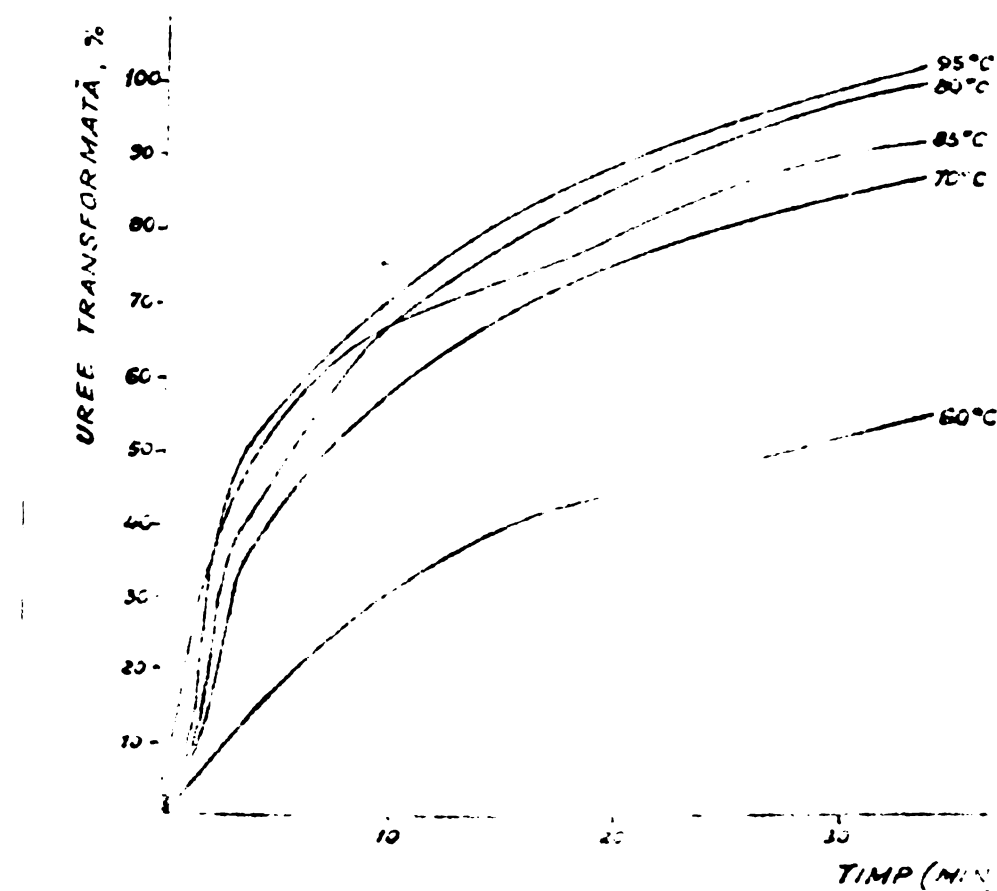
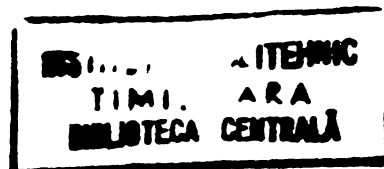


Fig. 3.



Din curbele prezentate în figura, rezultă deci că o temperatură mai ridicată avanajează procesul, reacția fiind mai rapidă în intervalul de 70-95°C. La temperatura de 60°C reacția de transformare a uleiului decurge foarte lent și chiar după un timp îndelungat (2 ore) transformarea nu atinge decât valori de 67%. Sub temperatură de 50°C, reacția practic nu are loc.

Din cauza variațiilor mari și bruscă de temperatură la adiugarea soluției sulfurice de ulei în oleum, determinările vitezei de reacție nu au putut efectua. În tabela 4 se arată evoluția în timp a temperaturii la acetecarea reacționilor.

Tabelă 4

Temperatură de lucru	Variația temperaturii la acetecarea reacționilor dându-diferite intervale de timp, în °C							
	50°	60°	90°	120°	150°	180°	210°	240°
60	35	24	15	10	6,5	4	1	0
70	35	16	5	2	0			
80	27,5	14	0	3	1	0		
95	25	7	0					
95	12	6	2	0				

Crescerea temperaturii la diluarea oleosului cu acid sulfuric, în toate cazurile, nu depășește 6 - 8 %.

După cum se știe, crescerea temperaturii la acetecarea reacționilor, se datoră, nu numai exotericității reacției, ci și efectului de diluare al oleosului. În tubul se observă că la temperaturi de lucru mai mici, variația de temperatură la acetecarea reacționilor este mai mică, deci poate ar fi să se acceptă tocmai invers, dat fiind că reacția decurge mai rapid tocmai în primele minute.

• viteza care de transformare a ureei, deci și o temperatură mai ridicată, nu este favorabilă deoarece se obțin rendamente mai slabe în acid sulfanic. Sintărirea și analiza produsului obținut au arătat, că la toate temperaturile de lucru, rendamentul în acid sulfanic este mai mic decât gradul de transformare a ureei fapt ilustrat în tabelă 5.

Tabelă 5

Temperatura de lucru, °C	Grad de transformare a ureei, %	Rendamentul în acid sulfanic
70	37,52	31,63
30	90,61	75,58
35	83,91	70,12
95	93,05	54,35

Acest lucru se datorează probabil faptului că la început, la temperaturi mai ridicate, reacția fiind foarte energetică, bixidul de carbon ce se degajă antrenează o cantitate mare de trioxid de sulf din oleum. În aceste condiții, cind concentrația trioxidului de sulf scade sub concentrația corespondătoare pentru acidul pirosulfuric (45% SO<sub>3</sub> liber), se poate produce fie o sulfonare a acidului sulfuric de către acidul sulfanic deja format, fie o sulfolană obișnuită a ureei.

În primul caz este vorba de o reacție secundară de descompunere a acidului sulfanic format, în al doilea caz de o reacție nedorită în tipul formării acidului sulfanic.

Concluzia acestor cercetări duce la următoarele : la obținerea acidului sulfanic din uree și oleum este indicat să se lucreze cu un oleum de concentrație ridicată în trioxid de sulf liber (peste 50%), care să se afle între un exces de 2:1 și și de cantități de uree și la temperaturi cuprinse între 70 - 80°C.

## 2.- Purificarea soluțiilor de acid sulfanic cu ajutorul schimbătorilor de ioni

Acidul sulfanic obținut din uree și oleum este impurificat cu cantități apreciabile de acid sulfuric (15-25%). Separarea celor doi acizi se poate face prin recristalizări, date fiind solubilitatea relativ mică a acidului sulfanic. Metoda poate ducă la un acid sulfanic liber de acid sulfuric. Recuperarea integrală a acidului sulfanic însă nu este posibilă, datorită faptului că soluția sănătă resultată la prima cristalinare, având un conținut ridicat în acid sulfuric, nu este potrivită pentru recirculare.

Inconvenientele semnalate au ridicat problema găzirii unei alte căi de purificare a acidului sulfanic. Diferitele încercări efectuate în acestă direcție au indicat că avantajosul metoda separării celor doi acizi cu ajutorul schimbătorilor de ioni, (anionici), metodă care să permită și o creștere concentrare în acid sulfanic a soluției rezultante.

Încercările orientative efectuate cu diferite răgini schimbătoare de ioni, au condus la concluzia că anionici puternic basici (Aaberlit IRA-410, Duolit A 102 D, Nofatit L 150, Ionen-sustanzcher III) sunt inapproprii pentru scopul urmărit. Dintre anionici basici și slab basici s-au experimentat : Lewatit MII, Veroutit E, Aaberlit IR 4 D, Vionit AS 1.

Principial metodei de separare este următorul : coloana ce conține schimbătorul de ioni în formă de  $\text{OH}^-$  este alimentată cu soluție care conține amestecuri de acizi. La început răgina reține acidi anioni. La un moment dat, anionul sulfanic reținut inițial, este subtituit în răgină cu anionul sulfuric și efluentalul se subogătește treptat în acid sulfanic. După un timp corespunzător, în efluent apare și acidul sulfanic a cărui concentrație

crește în detrimentul concentrației de acid sulfuric, ajungindu-se final la compoziția efluuentului identică cu a soluției initiale.

Se poate adăuga că în acest caz este vorba de o crocetăgrafie prin deplasare /III/.

Reacțional utilizat pentru desalocnirea anionului sulfat este chiar soluția ce alimentează colonna, soluție ce conține acizi aiți de aproape aceeași titrie, dar care se diferențiază printr-o selectivitate ceva mai mare a anionitului pentru anionul sulfuric, bibasic.

Între anioni și slab basici, rezultate bune au dat : Amberlit IR 4 B, Amberlit IR 45, Lewatit M1H. Ceilalți anioni și slab basic încercări, Vionit ASI, Fermentit E, nu au pentru cazul nostru proprietăți de reținere selectivă.

Rezultatele experimentale obținute cu anioni și care au dat rezultate bune, sunt redate în figura 9 și tabala 6.

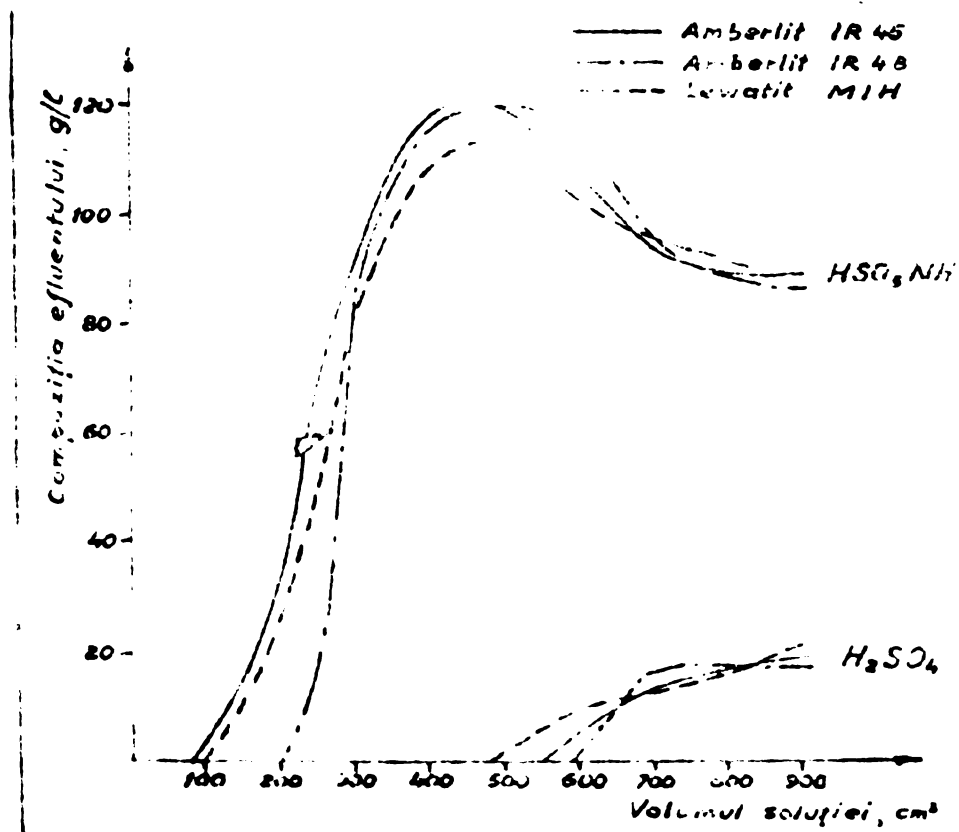


Tabela 6

Volumul solu- tului, ml	Amberlit IR 4 B		Amberlit IR 45		Lemaitit MH	
	RSO <sub>3</sub> NH <sub>2</sub>	H <sub>2</sub> SO <sub>4</sub>	RSO <sub>3</sub> NH <sub>2</sub>	H <sub>2</sub> SO <sub>4</sub>	RSO <sub>3</sub> NH <sub>2</sub>	H <sub>2</sub> SO <sub>4</sub>
g/l	g/l	g/l	g/l	g/l	g/l	g/l
100	-	-	-	-	-	-
200	-	-	30,90	-	22,60	-
300	77,50	-	90,60	-	82,42	-
400	116,80	-	118,00	-	108,95	-
500	119,20	-	120,05	-	113,40	2,33
600	116,10	1,47	107,96	5,34	105,30	9,11
700	93,50	17,44	93,85	15,53	97,00	13,23
800	91,53	17,66	90,56	17,20	91,70	17,12
900	89,34	17,80	-	-	-	-

Din datele presentate in figura 9 și tabela 6, se poate calcula randamentul în acid sulfamic pur, obținut în urma trecerii soluției peste diferite anionite. Acest lucru este prezentat în tabela 7.

Tabela 7

Schimbătorul de ioni	Randamentul în RSC <sub>3</sub> NH <sub>2</sub> , pur, %
Amberlit IR 4 B	71,3
Amberlit IR 45	79,4
Lemaitit MH	59,3

In toate cazurile studiate, coloanele de schimbători de ioni au avut dimensiunile :  $\phi = 20$  mm,  $h = 250$  cm și au fost alimentate cu colopii conținând în medie 90 g/l acid sulfamic și 17,8 g/l acid sulfuric, pe lingă viteză de scurgere de 2 cm<sup>3</sup>/min.

După saturarea cu iodat de ioni, coloana se colectează lichidul interstitial și este supusă operației de

spălare. Spălarea se face în contracurent cu apă distilată.

Prin cele patru iuni ale apelor de spălare au un conținut destul de ridicat de acid sulfanic și acid sulfuric. Concentrația în acid sulfanic și acid sulfuric a apelor de spălare este reprezentată în figura 10, pentru rugină Amberlit IR 4 B.

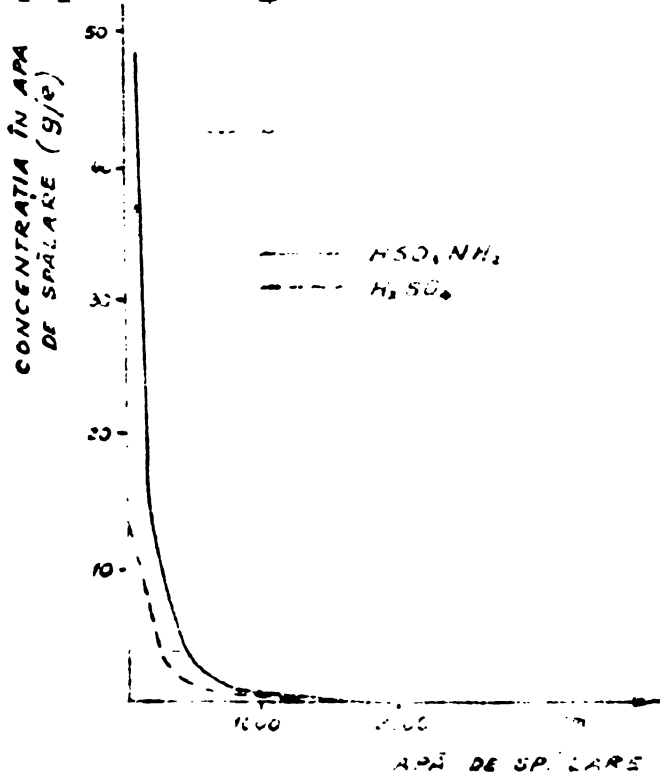


Fig. 10

Aceste ape, împreună cu fracțiunile de efluente care conțin acid sulfuric, vor servi la disoluarea de noi garje de produs brut. Solidarea rapidă a concentrației celor doi acizi în apele de spălare, face neîndicată din punct de vedere economic, al productivității instalației, reutilizarea apelor de spălare.

Acidele de acid sulfanic nerecuperabile, nu depășesc 5%. Porțiunile de efluente lipsite de acid sulfuric, se colectează separat, se anestecă și rezultă o soluție cu un conținut de circa 9% g/l acid sulfanic (aproape de concentrația din ialdă). Această soluție poate fi utilizată la prepararea electroliilor în vederea degunerii și refinerii metalelor.

Regenerarea anioniilor se efectuează cu o soluție de hidroxid de sodiu 3%. În soluția rezultată după regenerare, se au-

Determinat felul și cantitatea anionilor și s-a constatat că anionitul la sfârșitul ciclului de separare, se găsește legat exclusiv sub formă de  $\text{SO}_4^{2-}$ . După cum reiese din valorile capacitatilor de schimb. În tabela 3 se indică valorile capacitatii de schimb cu care se livrează anionii și valorile capacitatii de schimb găsite după epuizarea lor /111,112/.

Tabela 3

Anionitul	Capacitatea de schimb	Capacitatea de schimb căutată
Amberlit IR 4 B	2,5 meeh/cm <sup>3</sup>	2,7 meeh/cm <sup>3</sup>
Amberlit IR 45	2,0 meeh/cm <sup>3</sup>	1,8 meeh/cm <sup>3</sup>
Lequatit WIR	1,9 meeh/cm <sup>3</sup>	1,63 meeh/cm <sup>3</sup>

Din cele prezentate rezultă că, se poate separa acidul sulfuric dintr-o soluție concentrată de acid sulfonic, cu ajutorul răginiilor anionice, slab basic, cu randamente bune și cu posibilitatea recuperării aproape integrale a acidului sulfonic prin recircularea soluțiilor iopare și a principalelor porțiuni a apelor de spălare a răginiilor.

Analiza conținutului celor doi acizi s-a făcut prin neutralizarea probelor cu o soluție de hidroxid de bariu a/10 față de fenolftaleină și retitrarea bariumului neprecipitat cu complexul tetracodat.

### 3.- Obținerea acidului sulfonic pur

Pentru obținerea acidului sulfonic pur au plecat de la uree tehnică, cristalizată, calitatea I, STAS 5693-74, de la Combinatul de Ingrășăminte azotase Piatra Neamă, oleum tip 65 STAS 5101-74 de la Uzina Chimică de la Valea Chilogirească și acid sulfuric p.a. de la Uzina de Ingrășăminte azotase din Răducări.

Procesul tehnic l-a obținut într-o instalație adecvată din sticla. Acidul sulfanic obținut în aceste condiții a avut compoziția:

$H_2SO_3NH_2$  85 - 90 %

$H_2SO_4$  10 - 15 %

Acidul sulfanic brut de acestuia compoziție l-aș supus purificării prin recristalizarea lui din apă distilată.

Solubilitatea acidului sulfanic în apă crește cu creșterea temperaturii /126/ după cum reiese din figura 11.

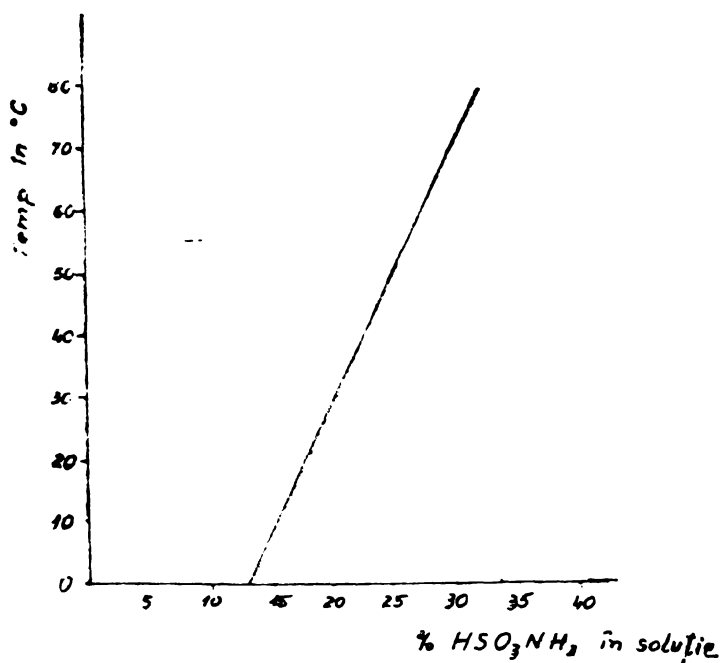


Fig. 11

Creșterea apreciabilă a solubilității acidului sulfanic în apă cu creșterea temperaturii, ar recomanda, la prima vedere, utilizarea unei temperaturi cai ridicate la dissolvarea produsului brut. Considerările amintite anterior, referitoare la stabilitatea relativ redusă (pagina 5) a acidului sulfanic în soluție la cald, impun limitarea temperaturii de溶解 la cel多 60 - 70°C.

Produsul brut le-am dissolvat deci în apă distilată, obținând o soluție saturată la temperatură camă de  $70^{\circ}\text{C}$ . Soluția fierbință se filtrează repede printr-o pâlnie cu placă frictată ( $\text{G}_2$ ) și apoi se răcește la  $5 - 10^{\circ}\text{C}$ . După cîteva ore, cristalele se filtrează pe o pâlnie Michner obișnuită, se uscă bine pe pâlnie la tronpa de apă și apoi în etuvă la  $50 - 60^{\circ}\text{C}$ . Răndamentul de cristalizare este suficient de bun, însă produsul obținut în aceste condiții are încă un conținut ridicat de acid sulfuric.

Nai departe am procedat în trei moduri :

a) - Produsul obținut prin recristalizare din apă a-a suportat unei noi recristalizări, tot în apă distilată. Am obținut un produs liber de acid sulfuric, dar ca un răndament prea mic.

b) - Cristalele obținute la prima recristalizare, după îndepărtarea cît mai completă a soluției sănătății, le-am spălat pe filtru sub vid, cu o cantitate mică de apă rece, după care cristalele se buclează la tronpa de vid și apoi în etuvă la  $50 - 60^{\circ}\text{C}$ . În acest fel am obținut un produs cu  $99,9\%$   $\text{KNO}_3 \cdot \text{H}_2\text{O}$ , restul fiind impurități.

c) - Pentru a îmbunătăți și mai mult răndamentul de cristalizare, am utilizat recircularea soluției sănătății. Astfel, dintr-o garjilă de 100 g produs brut, se iau două treimi și se tratează cu cantitatea de apă necesară pentru a le colubila la  $70^{\circ}\text{C}$  (aproximativ  $140 \text{ cm}^3$  apă distilată). Soluția se filtrează repede, iar cristalele ce se obțin prin scădere ei se separă decantând soluția sănătății peste aceea de-a 3-a treime a produsului brut inițial. Se răcește din nou la  $70^{\circ}\text{C}$ , se filtrează de impurități peste cristalele obținute din prima porțiune. Se răcește la  $5 - 10^{\circ}\text{C}$  și apoi cristalele se filtrează pe pâlnie Michner. Apă îndepărtarea cît mai completă a soluției sănătății, cristalele se spălă

cu o cantitate mică de apă distilată, răsturn la 5-10°C. Cantitatea apăi de spălare reprezintă circa 1/2 din cantitatea de cristale spălate. Cristalele de acid sulfacic se usucă la trupa de apă la temperatură eșerată și apoi în cenușă la 60°C.

Datele experimentale obținute sunt ilustrate în tabelă 9.

Tabelă 9

Modul de operare	C. sănătăți recristalizare						Randament, %
	Compoziția produsului	Compoziția soluției uscată	Compoziția apelor de spălare	R <sub>SO<sub>3</sub></sub> NH <sub>2</sub>	H <sub>2</sub> SO <sub>4</sub>	R <sub>SO<sub>3</sub></sub> NH <sub>2</sub>	
			g/l	g/l	g/l	g/l	
Fără spălare	94,4	5,5	135	36-45	-	-	65
Cu spălare	99,9	Redo- bil	130-135	35-45	150-160	7-10	50
Cu recircula- re solu- ției uscată și cu spă- larea cri- stalelor.	99,9	Redo- bil	95-105	60-70	135-170	2-15	65-70
<u>C. apă recristalizare, fără spălare</u>							
	99,9	Redo- bil	150-160	Diverse	-	-	26-29

Trebue recarcat că randamentele de recristalizare se raportează la acidul sulfacic din produsul brut.

Din această tabelă se observă că cea mai economică metodă de purificare, este prin recircularea soluției uscate și spălarea cristalelor pe filtru cu apă răcorită. Soluția uscată obținută la acestă purificare nu se mai poate utiliza la diluvierea unei noi cantități de produs brut, decarece conține o cantitate prea mare de acid sulfuric, (60-70 g/l H<sub>2</sub>SO<sub>4</sub>). Din soluții ce conțin mai puțin de 70 g/l H<sub>2</sub>SO<sub>4</sub>, cristalele de acid sulfacic sunt puternic

impurificata cu acid sulfuric și o simplă spălare a lor pe filtru cu apă zincată, nu este suficientă pentru a obține un produs pur.

Percentajul total în acid sulfamic pur reportat la următoarele analize este în jur de 57%.

Analize chimice a acidului sulfamic obținut prin metoda descrisă, sunt prezentate în tabelă 10.

Tabelă 10

	Conținut în %
Acid sulfamic ( $\text{HSO}_3\text{NH}_2$ )	99,90
Sulfuri ( $\text{SO}_4^{2-}$ )	0,02
Pier	0,003
Plante	lipsei
Copru	lipsei
Substanțe nevolatile	lipsei
Umiditate	0,03
Aspectul soluției	încolore și clară

Analiza acidului sulfamic se efectuează prin neutralizare cu o soluție de  $\text{NaOH}$  0,1 n, în prezența roșului de metil.

Analiza sulfatilor se efectuează prin precipitarea lor ca sulfat de baria, lăsat în lucru între 5 și 10 g acid sulfamic.

Analiza fierului se efectuează colorimetric, folosind ca indicator acidul sulfosalicilic.

Analiza plumbului se efectuează colorimetric, folosind ca indicator citromă.

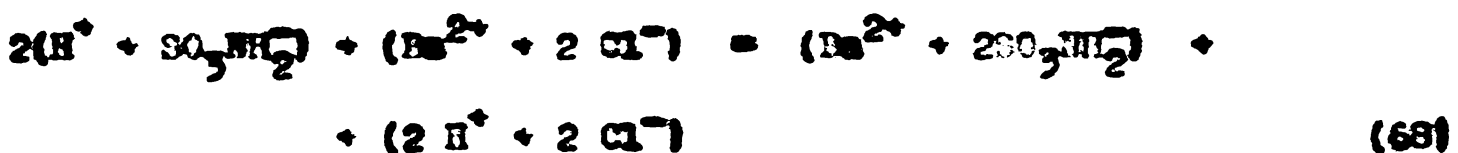
Analiza coprului se efectuează tot colorimetric, folosind ca indicator citromă.

#### 4.- Analiza monetarului de acid sulfuric și acid sulfuriu

Analiza cantitativă a acidului sulfuric alături de acidul sulfuric se efectuează atât pe cale conductometrică, cât și pe cale complexometrică /107/.

- Metoda conductometrică constă : soluția monetarului de acizi se neutralizează cu o soluție titrată de hidroxid alcalin, urmată de dozarea acidului sulfuric prin titrare conductometrică cu o soluție de clorură de bariu n/10 /113/.

Această metodă se bazează pe fuzuirea acidului sulfuric de a formă cu celealele alcalino-pătrintosice, săruri cu solubilitate superioară sărurilor corespunzătoare ale acidului sulfuric. Principiul dosării conductometricice a acidului sulfuric alături de acidul sulfuriu se bazează pe reacțiile :



Adugând soluția de clorură de bariu la soluția conținând monetarul celor doi acizi, în prima fază se formează sulfatul de bariu insolubil, fapt care atrage după sine scăderea conductibilității sistemului. În momentul consumării acidului sulfuric, adăugul de clorură de bariu este însoțit de creșterea continuă a conductibilității sistemului. În mod practic, se lucrat astfel : soluția celor doi acizi se neutralizează cu o soluție de hidroxid de sodiu n/10, în prezenta regului de zetil, obținind astfel valoarea acidității totale. Soluția neutralizată se supune titrării conductometricice cu o soluție de clorură de bariu n/10. Reacțivul se adaugă în porțiuni de  $0,5 \text{ cm}^3$  la intervale

de 3 minute, introdusă ionul sulfatice întâi se precipitărește sulfatul de beriu. Curba de titrare conductometrică este indicată în figura 12.

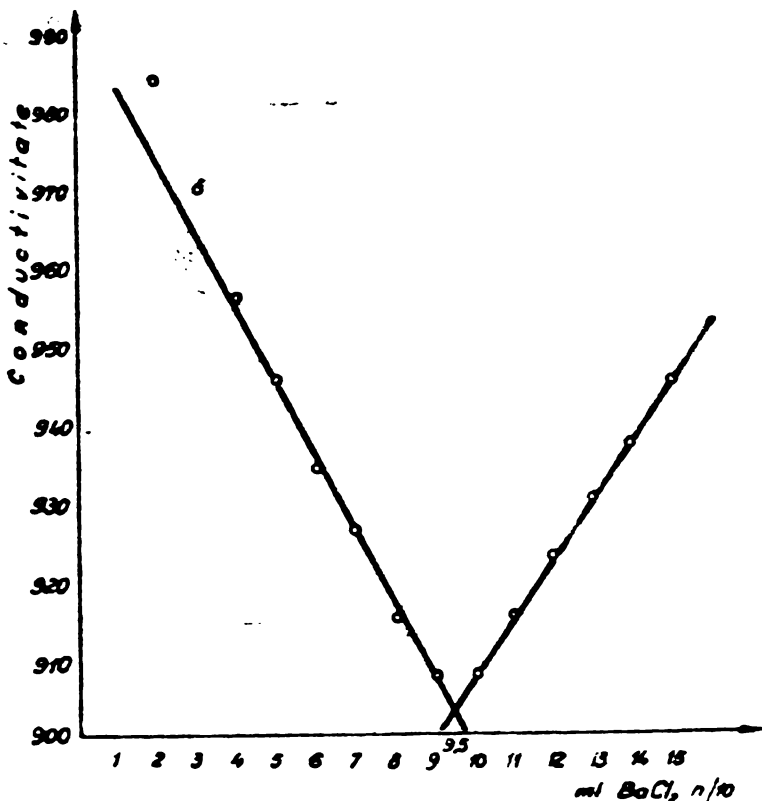


Fig. 12

Punctul de inflexie indică volumul soluției de clozuri de beriu  $n/10$ , corespondator conținutului de acid sulfuric. Conținutul de acid sulfuric se calculează prin diferență, din valoarea acidității totale.

- O altă posibilitate de a face acetometorile de acid sulfacic și acid sulfuric, simplă și expeditivă, constă în aplicarea metodei volumetrice cu complexul tetrasodat /114/, la casul considerat. Principiul metodei constă în neutralizarea acidității totale cu o soluție de hidroxid de beriu, în prezență de fenol-fталaini, albastru-tinol, etc. (interval de viraj  $\text{pH} = 8-10$ ).

Din reacție rezultă sulfat de bariu insolubil și sulfat de bariu solubil. Pe acestași produse, bariul solubil se dozează prin titrare complexometrică cu complexan tetrasodat :



Din reacție rezultă complexan de bariu și sulfat de sodiu, fapt care asigură menținerea pH-lui la valoarea inițială (pH = 6). Sfîrșitul reacției e recunoscut prin virarea indicatorului (fenolftaleinii) la un exces de complexan tetrasodat.

Metoda a fost verificată pe acetatecuri conținând cantități cunoscute de acid sulfuric și acid sulfenic, obținând rezultate satisfăcătoare, care se încadrează în limitele de erori admisibile. În tabela 11 se prezintă rezultatele efectuate pe un acetat cunoscut prin metodele propuse și prin metoda de dosare, sub formă de sulfat de bariu.

Tabela 11

Compoziția acetateului cunoscut	Rezultatele determinărilor experimentale							
	gravimetric		conductometric		complexometric			
$\text{HSO}_3\text{NH}_2$	$\text{H}_2\text{SO}_4$	$\text{HSO}_3\text{NH}_2$	$\text{H}_2\text{SO}_4$	$\text{HSO}_3\text{NH}_2$	$\text{H}_2\text{SO}_4$	$\text{HSO}_3\text{NH}_2$	$\text{H}_2\text{SO}_4$	$\text{HSO}_3\text{NH}_2$
%	%	%	%	%	%	%	%	%
89,95	10,05	87,98	12,79	83,49	10,62	89,49	10,46	

Trebule de cercetat, că la raportul acid sulfenic:acid sulfuric, cuprins între 1 și 10, ambele metode decurg încă în limitele admisibile. La raporturi mai mari, adică la concentrații mici în acid sulfuric, determinările sunt afectate de erori mai mari.

## CAPITOLUL V

### STABIL SOLUBILITATII SISTEMULOR TERNARE 3

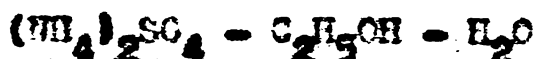


După cum s-a mai arătat, solubilitatea sulfacetului de amoniu în apă este relativ mare 65,8% /12/, 63,3% /2/, 67% /5/, la  $25^{\circ}\text{C}$ , iar purificarea lui prin recristalizare este dificilă. Pe de altă parte, soluțiile sale saturate au viscozitate ridicată, sunt aleioase, ceea ce împiedică procesul de cristalizare. În literatură /7/ se dă ca metodă de purificare a sulfacetului de amoniu, recristalizarea din etanol cald, fără să se indice precis solubilitates și condițiile de lucru.

Încercările de laborator pe care le-am efectuat în vederea purificării sulfacetului de amoniu, prin adăugare de etanol la soluțiile apoase, saturate, au dus la următoarele constatare: la adăugarea etanolului, în soluții saturate de sulfat de amoniu, se separă o cantitate de cristale săruroase, iar lichidul de desuprălor se desparte în două straturi nemiscibile. Acest fenomen apare și în cazul altor sisteme ternare ce conțin săruri anorganice, cum ar fi:  $(\text{NH}_4)_2\text{SO}_4 + \text{C}_2\text{H}_5\text{OH} - \text{H}_2\text{O} ;$   $\text{Na}_2\text{SO}_4 + \text{C}_2\text{H}_5\text{OH} - \text{H}_2\text{O} ;$  etc. /115,116/.

Plecând de la această observație și pentru că în literatură nu se găsesc date privind solubilitatea sulfacetului de amoniu în soluții apoase de etanol, am întreprins determinarea solubilităților în acest sistem, la temperaturile de  $25^{\circ}\text{C}$  și  $40^{\circ}\text{C}$ . /117/.

1.- Verificarea modului de lucru pentru nifonul:



Într-un vas cilindric din sticlă cu diametrul de 2 cm, s-a introdus oasă 10 g sulfat de amoniu (99,5%  $(\text{NH}_4)_2\text{SO}_4$ ), și o cantitate de apă distilată, astfel ca să rezulte o soluție saturată (cca 12  $\text{cm}^3$ ). Într-o biuretă se adăugăt alcool etilic, pînă la apariția cristalelor (1 - 2  $\text{cm}^3$ ). Vasul de dizolvare s-a introdus într-un ultratetmostat și s-a închis cu un dop, prevăzut cu un agitator. După atingerea temperaturii de lucru, s-a lăsat total sub continut agitare timp de 2 ore. După aceasta s-a ocolit agitatorul, iar vasul de dizolvare s-a lăsat în termostat să stea linistit cîteva minute, pentru ca să se depună cristalele și să se separe cochetul cele două straturi de lichid. Cu ajutorul a două pipete, prevăzute cu tub capilar și uscate, se scoate cu atenție proba, atît din stratul inferior, cît și din stratul superior. Probele se introduc în fiole de cintărire ce se pot include etanș, se contăresc la balanța analitică, conținutul lor se trage într-un balon cotat și apoi se completează cu apă distilată. În balonul cotat se iau probe pentru determinarea sulfatului de amoniu și a etanolului.

Se decantează lichidul de pe cristale, se introduce din nou în vasul de dizolvare, se adăugă 1  $\text{cm}^3$  apă distilată și se continuă agitarea ca azi cca. În acest caz nu mai apar cristale ci doar două straturi neciscibile. Luarea probelor și analiza se face în modul descris mai sus.

Se continuă determinarea neciscibilității celor două lichide, adăugind alternativ fie etanol, fie apă.

Analiza conținutului de sulfat de amoniu s-a efectuat prin

dosează aciditatea după legarea amoniacului dintr-încul cu formaldehid /110/ și prin evaporare la sec a unei probe exactăseurate.

Analiza conținutului de etanol s-a efectuat prin oxidarea lui cu o soluție titrată de bicromat de potasiu n/2 în cediu potențial acid, urmată de retitrarea excesului de bicromat de potasiu prin metoda iodometrică /118/.

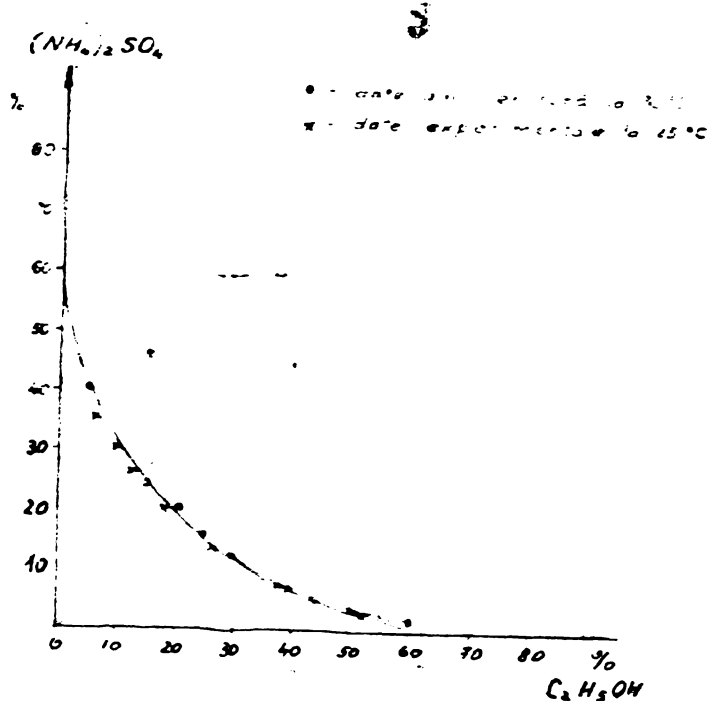
Concentrația constanților analizați s-a exprimat în % masă : %  $(\text{NH}_4)_2\text{SO}_4$ , %  $\text{C}_2\text{H}_5\text{OH}$ , iar apa s-a calculat prin diferență.

Datele experimentale obținute pentru echilibrul sistemului  $(\text{NH}_4)_2\text{SO}_4 - \text{C}_2\text{H}_5\text{OH} - \text{H}_2\text{O}$  la  $25^\circ\text{C}$ , sunt arătate în tabelă 12.

Tabelă 12

$(\text{NH}_4)_2\text{SO}_4$	$\text{C}_2\text{H}_5\text{OH}$	$\text{H}_2\text{O}$	$(\text{NH}_4)_2\text{SO}_4$	$\text{C}_2\text{H}_5\text{OH}$	$\text{H}_2\text{O}$
35,01	6,47	58,52	3,03	51,42	45,50
30,31	9,26	59,43	5,61	42,99	51,40
26,34	12,29	59,37	7,85	37,24	54,91
20,33	18,98	59,27	14,07	26,70	59,23

Ilustrarea comparativă a datelor experimentale cu cele din literatură, este prevăzută în figura 13. După cum se observă din figura, solubilitatea sulfatului scade puțin cu scăderea temperaturii.



## 2. Solubilitatea sistemei $\text{NH}_4\text{SCN} \cdot \text{H}_2\text{O} - \text{C}_2\text{H}_5\text{OH} - \text{H}_2\text{O}$

Determinările experimentale în vederea stabilirii echilibrului ternar  $\text{NH}_4\text{SCN} \cdot \text{H}_2\text{O} - \text{C}_2\text{H}_5\text{OH} - \text{H}_2\text{O}$  le-am efectuat în același mod, cum s-a descris mai sus. Sulfatul de amoniu utilizat a avut o puritate de 99,9%  $\text{NH}_4\text{SO}_4 \cdot \text{H}_2\text{O}$ . Determinarea concentrației soluțiilor în sulfat de amoniu s-a efectuat prin dosarea acidității, după legarea amoniacului cu formaldehid /108/ și prin evaporarea la sec a unei probe exact măsurată. Evaporarea la sec a probei cu sulfat de amoniu trebuie făcută atent, la temperaturi pînă la  $80^\circ\text{C}$ , pentru a se evita hidroliză.

În cazul determinărilor la  $40^\circ\text{C}$  am întîmpinat unele dificultăți la colectarea probelor. Pentru a se evita cristalizarea sulfatului de amoniu pe pipetele cu care s-au acordat probele din cele două lichide, acestea s-au încastrat în etuve la oca  $50^\circ\text{C}$ ,

iar operațiile de umplere și galire a pipetei s-au făcut cu oasă  
mai mare viteză.

Concentrațiile componentilor soluțiilor s-au exprimat în  
‰ masă, în toate cazurile spa s-a determinat prin diferență.

Datele experimentale obținute sunt prezentate în tabela 13.

Tabelă 13

$\text{MgSO}_4 \cdot \text{H}_2\text{O}$	$\text{C}_2\text{H}_5\text{OH}$	$\text{H}_2\text{O}$	$\text{MgSO}_4 \cdot \text{H}_2\text{O}$	$\text{C}_2\text{H}_5\text{OH}$	$\text{H}_2\text{O}$
‰	‰	‰	‰	‰	‰
25°C				40°C	
66,85	-	31,15	73,65	-	26,35
66,44	4,54	29,02	73,11	2,64	24,25
59,95	5,81	34,24	61,20	6,09	32,71
56,74	7,50	35,76	53,56	8,23	38,21
50,94	9,10	39,96	45,79	12,86	41,35
43,53	13,82	43,85	31,39	25,67	42,44
32,76	22,91	44,53	22,21	37,35	40,44
30,51	25,80	43,69	10,70	56,67	32,63
21,63	36,65	41,72	6,31	66,87	26,89
19,38	40,60	40,02	4,11	72,28	23,61
11,04	54,04	34,92	1,71	32,61	15,68
7,01	64,08	22,91	0,24	90,76	-
5,02	68,89	26,09			
3,87	72,86	23,27			
2,86	77,04	20,10			
0,16	99,86	-			

După cum se observă din acestui tabelă, solubilitatea  
sulfatului de aconia în etanol este foarte mică, la 25°C soluția  
satrată conține 0,16%  $\text{MgSO}_4 \cdot \text{H}_2\text{O}$  și la 40°C soluția conține  
0,24%  $\text{MgSO}_4 \cdot \text{H}_2\text{O}$ . Prin urmare, o purificare prin recristalizare  
a sulfatului de aconia din etanol cald, așa cum indică litera-  
tura /7/ se poate că practic nu se poate realiza.

Reprezentarea grafică a solubilității unui sistem cu trei compozenti se realizează într-o diagrame triangulară. În colțurile triunghiului echilateral se inscriu cei trei compozenti puri. Pe laturile triunghiului se inscriv solubilitățile între cei doi compozenti, reprezentate în vîrfurile triunghiului pe lățimi latura respectivă ( punctul A) din figura 14 .

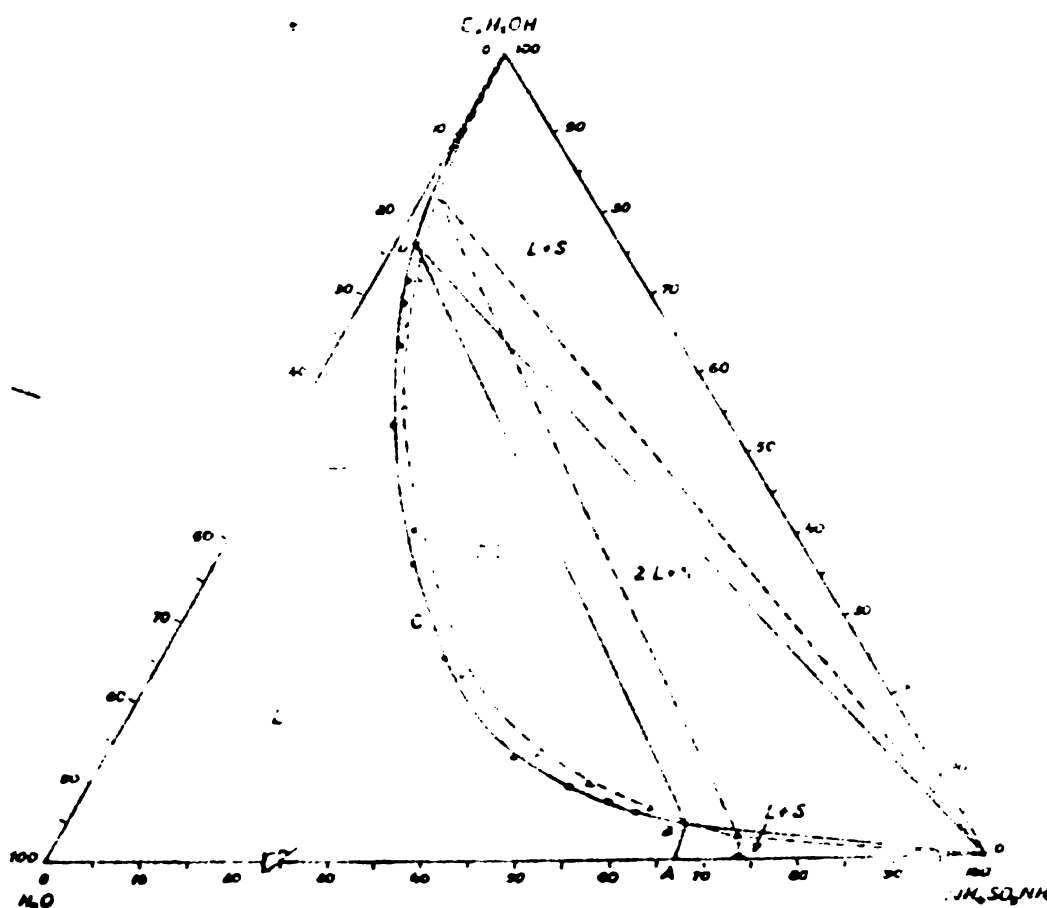


Fig. 14

M.S. TEHNIC  
TIMISOREA  
BIBLIOTECĂ CENTRALĂ

In cazul miscibilității totale a doi compozenti sau a nemiscibilității totale, pe laturile triunghiului nu apare nici un punct /115,116/. Compozițiile soluțiilor se exprimă în procente cum și din aceasta cauză laturile triunghiului se vor împărți în diviziuni de la 1 - 100. Punctul punct din interiorul triunghiului este un punct ternar (al reprezentă o proporție a celor trei constituenți ai sistemului). Inscrierea unui punct ternar din diagramă ( din interiorul triunghiului) se realizează prin metoda paralelelor sau prin metoda perpendicularelor.

Diagrama de solubilitate se construiește cu datele experimentale obținute la aceeași temperatură.

Prințele puncte inscrise pe diagramă au fost punctele B și D din figura 14, corespondătoare sistemului  $\text{Zn} + \text{S}$  (două lichide necompatibile în echilibru cu un solid), următe de inscrierea celorlalte puncte ce corespund sistemului  $\text{Zn}$  (două soluții necompatibile în echilibru). Unind punctele inscrise pe diagramă, au obținut curba binodală  $B - C - D$ , care delimită zone de necompatibilitate a celor două straturi lichide. Perechile de puncte în echilibru din interiorul acestei zone sunt legate prin liniile de letătură (conodele). Stabilirea punctului critic C, adică compoziția corespondătoare unei soluții care nu se mai separă în straturi semicompatibile, nu s-a putut efectua pe calea analizei chimice, deoarece este afectată de erori foarte mari (oale două soluții au compozиție foarte apropiată). Punctul critic C s-a determinat grafic prin tracarea curbei conjugate, figura 15.

Cu ajutorul curbei conjugate se mai poate determina și compozitia unei faze lichide,  $a$ , cînd se cunoaște compozitia celeilalte faze lichide,  $a'$ , cu care este în echilibru.

Curba traseată cu linie continuă, din figura 14, reprezintă echilibrul ternar la  $25^{\circ}\text{C}$ , iar cea prin linie întreruptă reprezintă echilibrul ternar la  $40^{\circ}\text{C}$ . Variarea temperaturii influențează similitor solubilitatea sulfamatumui de aconiu în apă și în alii căzuri solubilitatea sării în etanol.

Diagrama ternară se solubilitate a sistemului  $\text{NH}_4\text{SC}_3\text{NH}_2 - \text{C}_2\text{H}_5\text{OH} - \text{H}_2\text{O}$ , ca și a sistemului  $(\text{NH}_4)_2\text{SO}_4 - \text{C}_2\text{H}_5\text{OH} - \text{H}_2\text{O}$ , este formată din cinci domenii distincte.

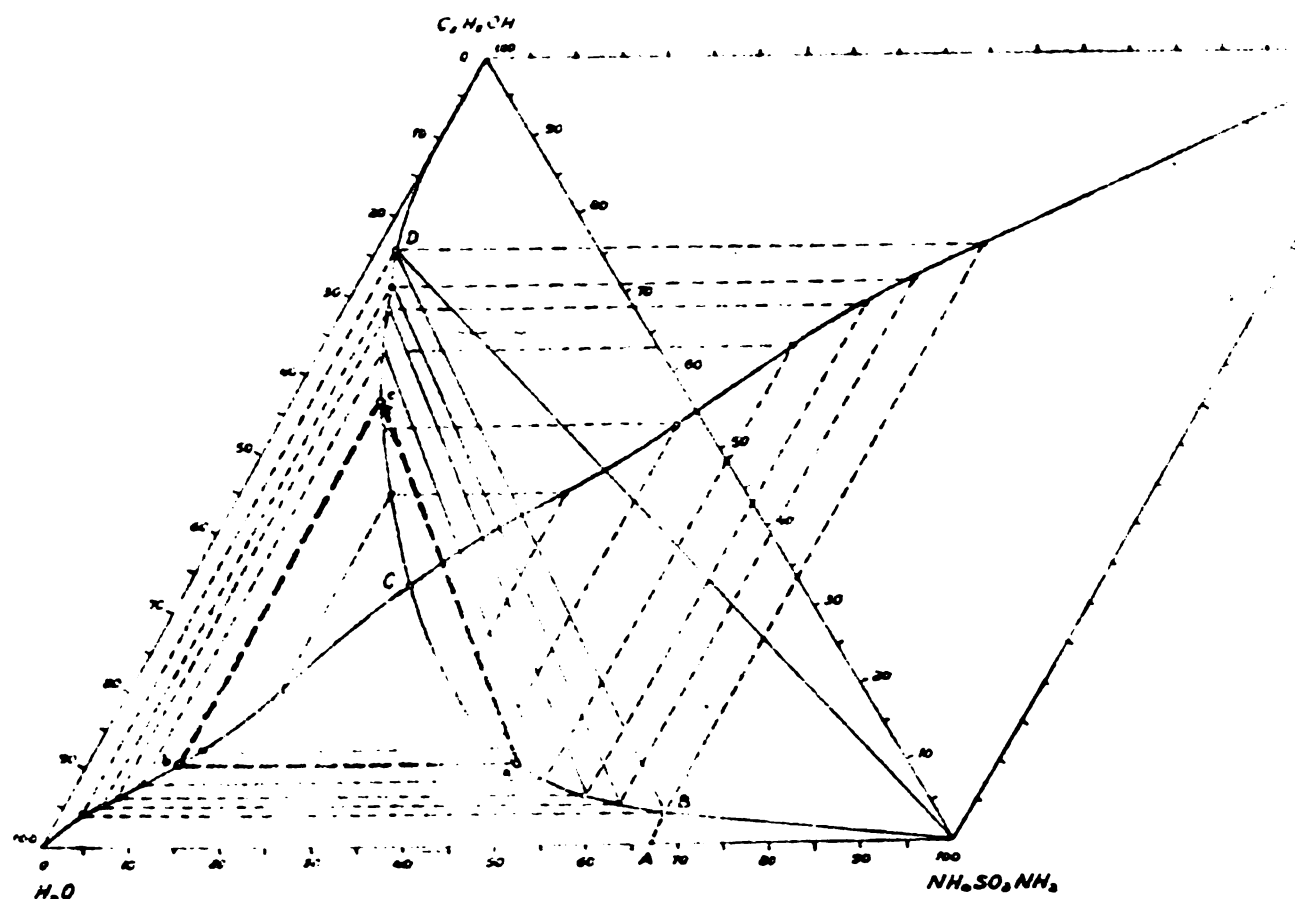


Fig. 15

Acest gen de diagrame se mai numesc diagrame pe zone. În fiecare domeniu reprezintă un echilibru între două sau trei faze care contin cele trei componente. Aplicând legea fazelor pentru fiecare domeniu, se poate determina varianta sistemului (gradele de libertate) :

$$F + V = C + 2$$

unde:

F - numărul de faze,

V - varianta sistemului (gradele de libertate),

C - numărul de componente ai sistemului.

Se admite că factorii de echilibru, temperatură și

precisarea, cu valori fixe, echilibrul dintre fazele unui domeniu va derinde numai o compozitie solutiilor.

In domeniul de miscibilitate totala a celor trei componenti, notat pe grafic ca L (suprafata H<sub>2</sub>O-A-B-C-D-C<sub>2</sub>H<sub>5</sub>OH), nu apare un echilibru, ci numai o solutie diluata a carei compozitie C poate fi precisa prin concentratia a doi componenti :

$$C = \frac{1}{2}(C_{H_2O} + C_{NH_4SO_3NH_2})$$

Al treilea component este precisa prin conditia triunghiului echilateral :

$$C_{H_2O} + C_{NH_4SO_3NH_2} + C_{C_2H_5OH} = 100$$

In domeniul de miscibilitate parciala a douei soluti in echilibru, notat pe grafic ZL (suprafata B-C-D) varianta sistemului este :

$$\gamma = 3 - 2 = 1$$

In acest domeniu, se formeaza cte doua soluti in echilibru a cindor compozitie se gaseste pe cele doua ramuri B-C si C-D ale curbei de solubilitate (binodale), unite prin linii de echilibru (conode). Ultima linie de echilibru B-D inchide suprafata in care coexistă cte două soluti in echilibru.

Variabila independenta in acest domeniu rîmne compozitia uneia din faze. Se poate, deci, schimba independent compozitia uneia din fazele lichide, restalalti lînd implicit o anumita compozitie, dependenta riguroas de prima.

In domeniul de coexistența unei faze lichide in echilibru cu solidul, (sulfatul de amoniu), notat pe grafic L + S, (suprafata

D -  $C_2H_5OH - NH_4SO_3NH_2$ ), varianța sistemului este :

$$v = 3 - 2 = 1$$

In acest domeniu, faza lichidă este formată din soluții cu compozitie variabilă și cristale de sulfat de amoniu, cu compozitie fixă. Pentru acest domeniu, rămâne o singură variabilă independentă, adică schimbarea concentrației unui singur component (unul din cei doi solventi) se va schimba și compozitia fazelor lichide, care se găsește pe curba D -  $C_2H_5OH$ . Trebuie de remerciat că soluțiile pe curba D -  $C_2H_5OH$  sunt bogate în etanol și prin urmare sărăcate în sulfat de amoniu. In etanol curat, solubilitatea sulfatului de amoniu este foarte mică, și punctul figurativ al solabilității sulfatului de amoniu în etanol se confundă practic cu punctul figurativ al etanolului curat.

Al doilea domeniu L + S este cuprins pe suprafață A - B -  $NH_4SO_3NH_2$ . Si în acest caz varianța sistemului este 1, adică faza lichidă a cărei compozitie se găsește pe renova A - B a curbei de solubilitate se poate schimba prin adăugarea unui component (unul din cei doi solventi). In acest caz, punctul A reprezintă compozitia soluției spălate, saturată.

In domeniul 2L + S, (B - D -  $NH_4SO_3NH_2$ ), coexistă în echilibru două faze lichide (două soluții neciscibile), în același timp în echilibru cu cristale de sulfat de amoniu. Varianța sistemului este :

$$v = 3 - 3 = 0$$

In acest domeniu, varianța sistemului este 0, adică compozitia soluțiilor în echilibru nu este dependentă de cantitatea relativă a celor trei componente. Se poate schimba numai compozitia globală a sistemului format din cele trei faze, adică ne putem

situm oriunde în domeniul  $L + S$ , dar compoziția celor două faze lichide și a solidului rămâne constantă.

Legea fazelor precizează că schimbarea compozitiei fazelor lichide în echilibru, depinde numai de temperatură și presiune.

Diagramea ternară de solubilitate în sistemul  $\text{NH}_4\text{SO}_3\text{NH}_2 - \text{C}_2\text{H}_5\text{OH} - \text{H}_2\text{O}$  servește la calculul randamentelor de cristalizare, figura 16.

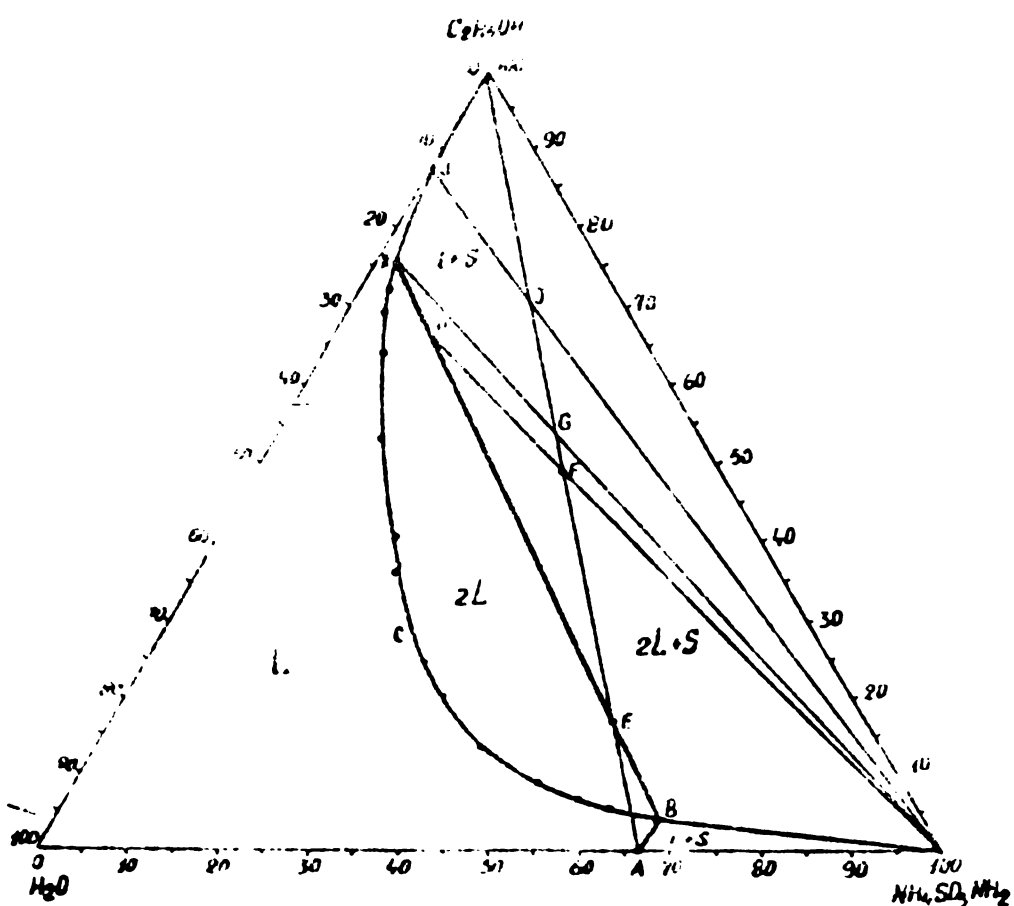


Fig. 16

Pentru soluțiile formate numai din apă și sulfat de amoniu situate pe latură  $\text{H}_2\text{O} - \text{NH}_4\text{SO}_3\text{NH}_2$  depunerea cristalelor necesită evaporarea acestor soluții.

În domeniul  $L + S$ , format din suprafețe A-B- $\text{NH}_4\text{SO}_3\text{NH}_2$  cristalele de sulfat de amoniu nu apar dacă se adaugă cantități mici de etanol, cristalisarea are loc numai la evaporarea soluțiilor.

Adăugind cantități ceva mai mari de etanol la soluția apocășă, saturată, de sulfat de aconiu, se ajunge în doceniiul 2<sup>o</sup> în care se formează două soluții necișcibile, în echilibru. Cantitatea maximă de etanol ce se adaugă la soluția apocășă, saturată de sulfat de aconiu pentru a se forma două soluții necișcibile în echilibru corespunde punctului E de pe diagramea figurii 16. Compoziția celor două soluții corespunde punctelor B și D. Cantitatea de soluție cu compozиția corespunzătoare punctului B este proporțională cu lunginea segmentului E-D și cantitatea de soluție cu compozиția corespunzătoare punctului D este proporțională cu lunginea segmentului E-E. În mod concret, la 1 kg soluție apocășă, saturată de sulfat de aconiu la 25°C, trebuie să se adauge 0,197 kg etanol pentru a se obține un anestec ce corespunde punctului E.

Dacă la 1 kg soluție apocășă, saturată de sulfat de aconiu se adaugă 1 kg etanol (punctul F din doceniiul 2<sup>o</sup> + II) se obțin cristale de sulfat de aconiu și două soluții necișcibile. Cantitatea de cristale de sulfat de aconiu ce se separă corespunde segmentului H-F, iar cantitatea de aceste lichid, necișcibil, corespunde segmentului F-NH<sub>4</sub>SO<sub>3</sub>·NH<sub>2</sub>. Compoziția celor două straturi de lichid corespunde punctelor B și D, iar cantitatea lor se deduce tot din regula segmentelor inverse (lunginea segmentului D-H este proporțională cu cantitatea de soluție B și lunginea segmentului B-H este proporțională cu cantitatea de soluție D). Pentru cele 2 kg de anestec (1 kg soluție apocășă, saturată de sulfat de aconiu și 1 kg etanol), se separă 0,931 kg cristale de sulfat de aconiu, ceea ce reprezintă un rendament de cristalizare de  $0,931 \times 100 : 0,6695 = 72,35\%$ .

Adăugind o cantitate și mai mare de etanol (1,2 kg la 1 kg soluție apăoasă, saturată de sulfat de amoniu), se ajunge în punctul G, cind se separă cristale de sulfat de amoniu în prezența unei soluții saturate, cu compoziția corespunzătoare punctului D. Cantitatea de cristale separate corespunde segmentului G-D, iar cantitatea de soluție corespunde segmentului G- $\text{NH}_4\text{SO}_4\text{NH}_2$ . Rendamentul de cristalizare în acest caz, este  $1,6426 \times 100 : 1,6635 = 96,12\%$ .

Dacă se adaugă 2,5 kg etanol la 1 kg soluție apăoasă, saturată de sulfat de amoniu (punctul I din docenial L + S), se obțin cristale de sulfat de amoniu în prezența unei soluții saturate în cele trei componente. Cantitatea de cristale ce se separă, corespunde segmentului I-J și în cazul de față este de 0,6434 kg. Rendamentul de cristalizare este  $0,6434 \times 100 : 0,6635 = 96,24\%$ . În acest doceniu, cărarea rendamentului de cristalizare necesită un aport mare de etanol, care va trebui recuperat prin rectificare.

Practic, se poate lucra cel mai avantajos în docenial 2L+S cu anestecori a căror compozitie să se situeze în jurul punctului G, cind rendamentele de cristalizare a sulfatului de amoniu sunt suficient de mari fără adăos mare de etanol.

În concluzie, prin această metodă se obțin cristale de sulfat de amoniu la temperatură obișnuită, ce tehnologie constituie un avantaj indiscutabil, dată fiind neexistența sării la temperaturi mari ce pot apărea în procesul de evaporare.

În figura 17 se reprezintă cooperativ diagramale de solubilitate a sistemelor ternare ( $\text{NH}_4\text{SO}_4 - \text{C}_2\text{H}_5\text{OH} - \text{H}_2\text{O}$  și  $\text{NH}_4\text{SCN} - \text{C}_2\text{H}_5\text{OH} - \text{H}_2\text{O}$ ). După cum se observă pe aceste diagrame, suprafața delimitată de curba binodală, adică zona unde coexistă

două soluții nemiscibile, în echilibru în casul sulfonatului de amoniu, este mult mai mare și deplasată spre virful  $\text{NH}_4\text{SO}_3\text{NH}_2$  al triunghiului. În același timp, zona  $2L + S$ , în casul sulfacetului de amoniu, ocupă o suprafață mai mică în diagonali decât în casul sulfatului de amoniu. Această lucru se datorează diferenței de solubilitate a celor două săruri. Solubilitatea sulfatului de amoniu în apă la  $25^\circ\text{C}$  este de 43,4% /119/ și a sulfonatului de amoniu este de 66,85% /121/.

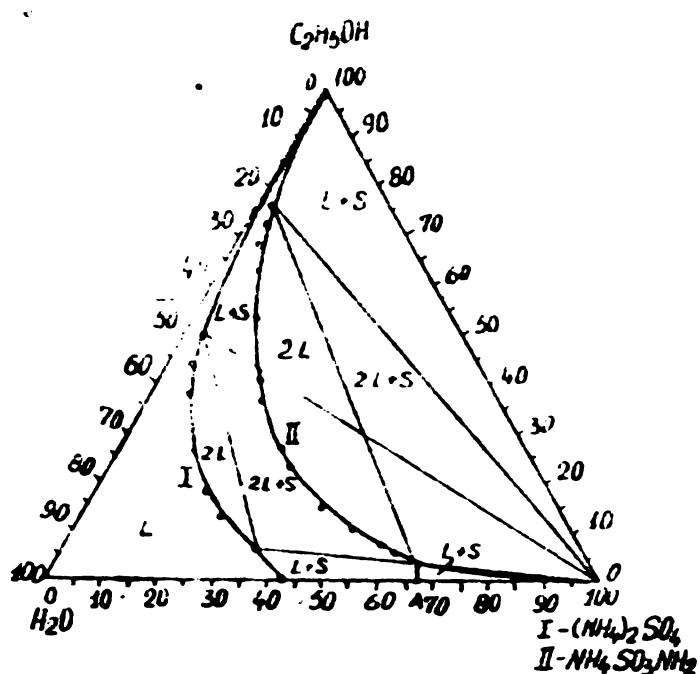


Fig. 17

O suprafață  $2L + S$  mai mare, în casul sulfatului de amoniu, indică posibilitatea unui randament mai mare la cristalizarea sărurii din soluție.

### 3.- Solubilitatea iodosulfonatului de diaconiu în soluții apă-acee de etanol la $25^\circ\text{C}$

Iodosulfonatul de diaconiu, după cum s-a arătat, este un produs intermediar la obținerea acidului sulfonic și a sulfonatului de amoniu. Deci importanță lui practică a luat exploare

proprietăile sale fizico-chimice sunt încă relativ puțin cunoscute.

Solubilitatea imidosulfonatului de diazoniu în apă, la temperaturi cuprinse între  $0^{\circ}\text{C}$  și  $30^{\circ}\text{C}$ , precum și în soluții slab amoniacale, care asigură un mediu alcalin spre a se evita decompuneră prin hidroliză, în intervalul de temperatură  $0^{\circ}\text{C}$  și  $70^{\circ}\text{C}$ , aș efectuat de S. Uehida și colaboratorii /93/.

Dacă reacția imidosulfonatului de diazoniu este un produs intermediar în fabricarea sulfonatului de amoniu, ar putea presupune că aceste două săruri au uale proprietăți asemănătoare. După cum s-a arătat deja, sulfatul de amoniu, produsul de decompunere hidrolitică a sulfonatului de amoniu, în soluții apăce de etanol, se comportă aproape ca și sulfonatul de amoniu. Din această cauză am urmărit și am determinat experimental solubilitatea imidosulfonatului de diazoniu în soluții apăce de etanol, la  $25^{\circ}\text{C}$ , căci la temperaturi mai ridicate începe decompunerea hidrolitică.

Imidosulfonatul de diazoniu, utilizat, a fost preparat și purificat în laborator după indicațiile date de literatură /7/ și a avut o pureitate de 98,80%  $\text{NH}_3(\text{SO}_4)_2$ . Modul de lucru a fost identic cu și cel descris pentru sulfat, respectiv sulfat de amoniu. Determinarea concentrației soluțiilor în imidosulfonat de diazoniu aș fișat prin analiza acetuia conform indicațiilor de la pag. 50. Determinarea conținutului în etanol aș efectuat după metoda descrisă anterior.

Concentrația compoziților aș exprimat în "mol", de aceea, conținutul de apă a determinat prin diferență.

Rezultatele determinărilor sunt prezentate în tabelul 14, pe baza lor aș construit diagrama ternară de solubilitate

redată în figura 13.

Tabelul 14

$\text{HN}(\text{CO}_2\text{NH}_2)_2$ , %	$\text{C}_2\text{H}_5\text{OH}$ , %	$\text{H}_2$ , %
0,46	64,34	35,23
1,33	58,47	41,51
2,85	43,92	53,23
4,95	35,10	59,95
3,47	25,55	65,93
11,77	13,96	69,67
17,03	12,34	70,63
17,61	11,56	70,33
23,43	5,99	71,54
31,92	-	66,23

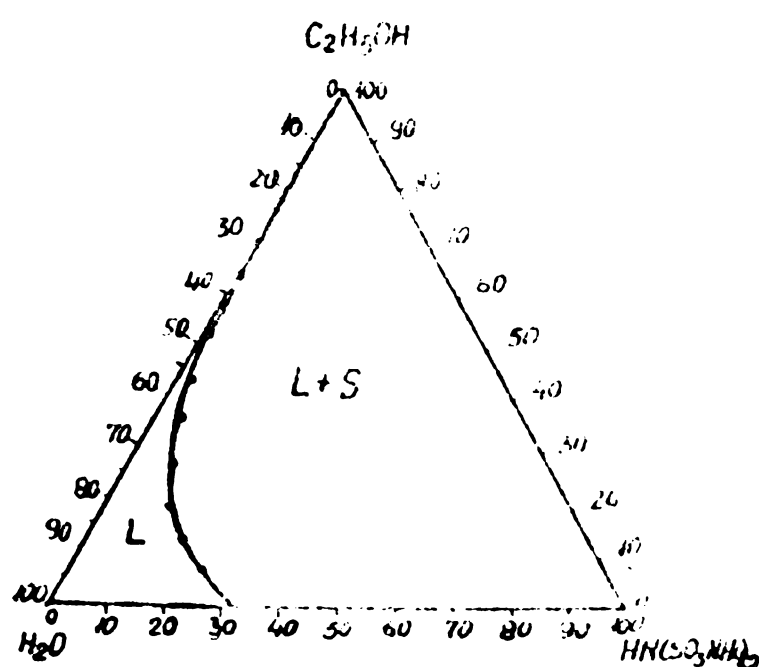


Fig. 13

Solubilitatea iodosulfonatului de diazoniu în apă și în  
mai multă și suprafață ocupată cu soluțiile oxogene și din diagrame  
ternare, este corespunzător mai mult. Dar, contrar așteptărilor,  
iodosulfonatul de diazoniu în soluții aproape de etanol nu mai  
formea straturi lichide ~~semiscibile~~ în echilibru, ci numai  
soluții saturate de diferite compozitii, în echilibru cu cristalele  
de iodosulfonat de diazoniu (L + S).

Amoniul este de pe digăraș, ocupă o suprafață foarte mare,  
deci există multe posibilități avantajoase de a cristaliza sareea  
din soluțiile sale saturate.

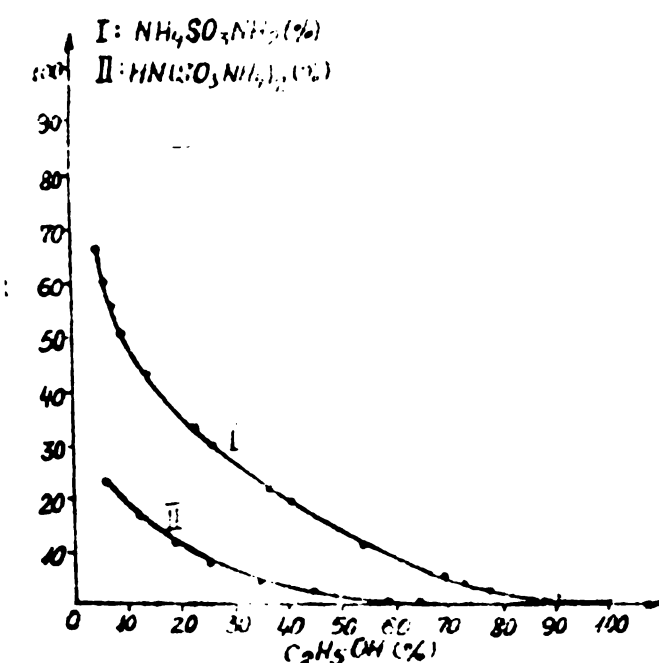


Fig. 19

In figura 19 se prezintă comparativ, dependența concentrației sulfonatului de amoniu (curba I) și a iodosulfonatului de diazoniu (curba II) de conținutul de etanol al soluțiilor saturate la 25°. Si din acest grafic se observă, că solubilitatea iodosulfonatului de diazoniu este mai mult decât a sulfonatului de

anoni în soluții apăse de etanol. În soluția apăsată de etanol (64,4% C<sub>2</sub>H<sub>5</sub>OH), solubilitatea iodosulfenatului de diazoniu este practic 0.

4.- Solubilitatea acidului sulfanic în soluții apăse de etanol la 20°C

În literatură /12/ se găsește că solubilitatea acidului sulfanic în apă este 19,5% la 20°C, iar într-o soluție de etanol cu 2% benzene, la 25°C este de 1,6%. Lipsesc însă date despre solubilitatea acidului sulfanic în soluții apăse de etanol.

Din acestă cauză, s-a întreprins determinarea experimentală a solubilității acidului sulfanic în acenasea medie, la 20°C.

Modul de lucru s-a folosit ca și în cazurile precedente.

Determinarea concentrațiilor soluțiilor în acid sulfanic s-a efectuat prin neutralizarea acidității cu hidroxid de sodiu n/1C, în prezența rogului de metil ca indicator, după metoda indicată de N.E. Copery /12/. Conținutul în etanol s-a determinat după metoda descrisă anterior.

Datele experimentale sunt înregistrate în tabelă 15.

Tabelă 15

H <sub>2</sub> S O <sub>3</sub> M <sub>2</sub> • %	C <sub>2</sub> H <sub>5</sub> OH • %	H <sub>2</sub> O • %
17,12	-	82,88
14,87	8,31	77,12
12,25	17,90	70,65
10,22	27,08	62,70
7,85	46,20	49,95
3,90	77,00	29,20
1,35	98,65	-

Din datele tabelului 15 și din diagramea figurii 20, se observă că solubilitatea acidului sulfanic în soluții apoase de etanol, este mult mai mică, deceniu I al soluțiilor oxogene este foarte mic. Dissolvarea acidului sulfanic în soluții apoase de etanol, nici în acest caz nu dă la formarea de lichide nemiscibile în echilibru, ci reprezintă o dissolvare simplă, obișnuită, adică soluțiile saturate sunt în echilibru cu acidul sulfanic solid. Este de remarcat faptul, de altfel indicat în literatură, că <sup>tatea</sup> deși solubilitatea acidului sulfanic în apă este incomparabil mai mică decât a sulfacetului de amoniu ; dar în etanol pur el are o solubilitate incomparabil mai mare ca a sulfacetului de amoniu.

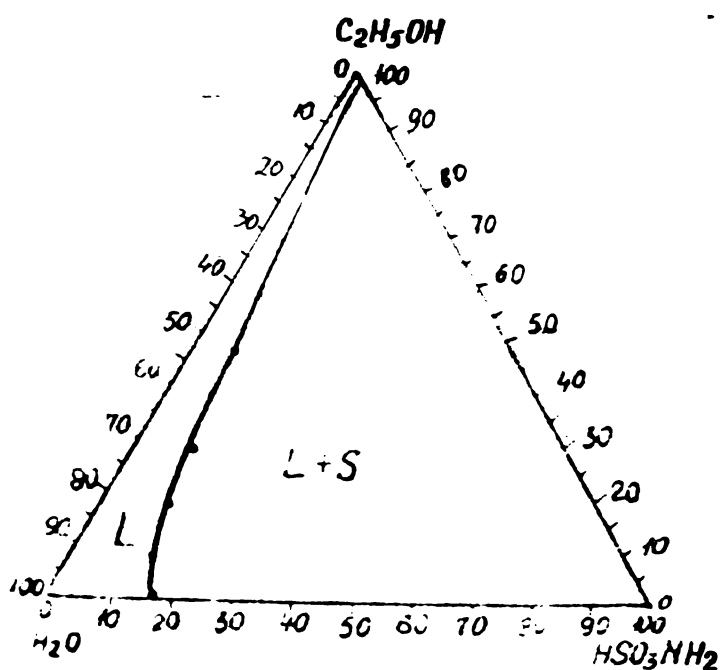


Fig. 20

Acest lucru face ca randamentul de separare a cristalelor de acid sulfanic, din soluțiile sale apoase la adăugarea cantităților mari de etanol, să scadă.

## CAPITOLUL VI

### DATE TERMICE IN SOLUTII DE SULFATAT DE AMONIU

#### 1.- Coeficientii de transfer de calduri, $\alpha$ , la fierberea solutiilor de sulfat de amoniu

Sulfatul de amoniu se obtine, in conditiile industriale, prin neutralizarea cu amoniac gasos a unei solutii sposse de acid sulfanic /56,89,93,94,97/. Indiferent de cota de prin care acidul sulfanic se obtine, el este intotdeauna impurificat cu o cantitate mai mare sau mai mică de acid sulfuric, sau chiar cu sulfat de amoniu. Dupa cum s-a arătat mai înainte /10/, acidul sulfanic rezultat din urmă și oleum, conține cu 15 - 20% acid sulfuric, iar cel preparat prin hidroliza acidă a produselor de reacție dintre trioxid de sulf și amoniac, este impurificat cu o cantitate mai mică de acid sulfuric. La neutralizarea soluțiilor sposse de acid sulfanic, obținut în condițiile acintite, rezultă soluții de sulfat de amoniu, ce conțin 50 - 60%  $\text{NH}_4\text{SO}_4\text{NH}_2$  și 10 - 20%  $(\text{NH}_4)_2\text{SO}_4$  /89/.

Soluțiile astfel obținute, sunt supuse evaporării pînă la concentrație la care începe să cristalizeze sulfatul de amoniu, adică pînă ce ajunge la 70 - 80%  $\text{NH}_4\text{SO}_4\text{NH}_2$ .

Concentrarea sulfatului de amoniu este o problemă dificilă din punct de vedere tehnologic și al separării. El este relativ instabil, la intensități mari de fierbere. Concentrația finală ridicată, apropiată de substanța pură, pune probleme tehnice, dificile. În literatură nu există date asupra procesului de concentrare și nu se găsesc nici coeficienții de transfer de căldură, așa că proiectarea evaporatoarelor este empirică.

Dacă se extrapolează simplamente datele de transfer, obținute pentru soluțiile diluate la domeniul concentrațiilor mari, realizate tehnologic, se fac erori care depășesc limitele admisibile de calcul. Mai mult, calculul coeficienților de transfer de căldură nu este posibil cu formulele usuale, lipsind datele fizico-chimice necesare. Din această cauză, pentru a se preciza condițiile de evaporare, au întreprins în cele ce urmează, determinarea coeficienților de transfer de căldură, la fierbere pentru domeniile de preciune și concentrație corespunzătoare tehnologicii de fabricare /120/.

Aparatelor experimentale pentru determinarea coeficienților de transfer de căldură la fierbere, descrise în literatură, pot fi clasificate în următoarele trei tipuri constructive :

- aparate cu suprafață de transfer de căldură sub formă de fir metalic /121/ ,
- aparate cu suprafață de încălzire plană /122/ ,
- aparate cu suprafață de încălzire sub formă de tub cilindric /123,124/ .

Dintre aceste tipuri de aparate, cel cu suprafață de încălzire de tub cilindric, este mai apropiat din punct de vedere funcțional, de instalațiile industriale. Din acest motiv, determinările experimentale le-au efectuat într-o instalație cu suprafață de încălzire sub formă de tub cilindric.

Stabilirea coeficientului de transfer de căldură la fierbere,  $\alpha$ , se bazează pe relația care relatează cantitatea de căldură ce trece de la o suprafață încălzită către un lichid, prin rezistența opusă de către o peliculă laminară, adiacentă la perete. Forța motoare este dată de diferența de temperatură  $\Delta t$ , dintre temperatură suprafeței și a lichidului care fierbe :

$$Q = \alpha (t_p - t_f) A \cdot \tau$$

deoarece :

$$\frac{Q}{A \cdot \tau} = q = \alpha (t_p - t_f)$$

Din acestui relație rezultă :

$$\alpha = \frac{q}{\Delta t}$$

în care :

$Q$  - cantitatea de căldură, în J ,

$q$  - încărcarea termică a suprafeței încălziitoare, în  $\text{W}/\text{m}^2$  ,

$\alpha$  - coeficientul de transfer de căldură, în  $\text{W}/\text{m}^2 \cdot \text{grad.}$  .

$t_p$  și  $t_f$  - temperatura peretelui încălzitor, respectiv a lichidului care fierbe, în  $^{\circ}\text{C}$  ,

$A$  - suprafața de transfer de căldură, în  $\text{m}^2$  ,

$\tau$  - timpul, în s.

#### 1.a.- Descrierea instalației experimentale

Instalația din figura 21, se compune dintr-un vas de sticlă (2), ce joacă rolul de spațiu de fierbere, în interiorul căruia se găsește un corp încălzitor, cilindric (6). Capetele cilindrelui sunt fixate în două borne de cupru (4), cu diametrul de 30 mm, pentru a evita apărarea de tensiune pe această porțiune. Corpul încălzitor, impănat cu bornele de cupru, se fixează în tubul de sticlă cu ajutorul a două dopuri de cauciuc. Tubul de sticlă este prevăzut cu un orificiu pentru introducerea termometrului (3) , care măsoară temperatura de fierbere a lichidului și un al doilea orificiu în care se atașează un refrigerent (1).

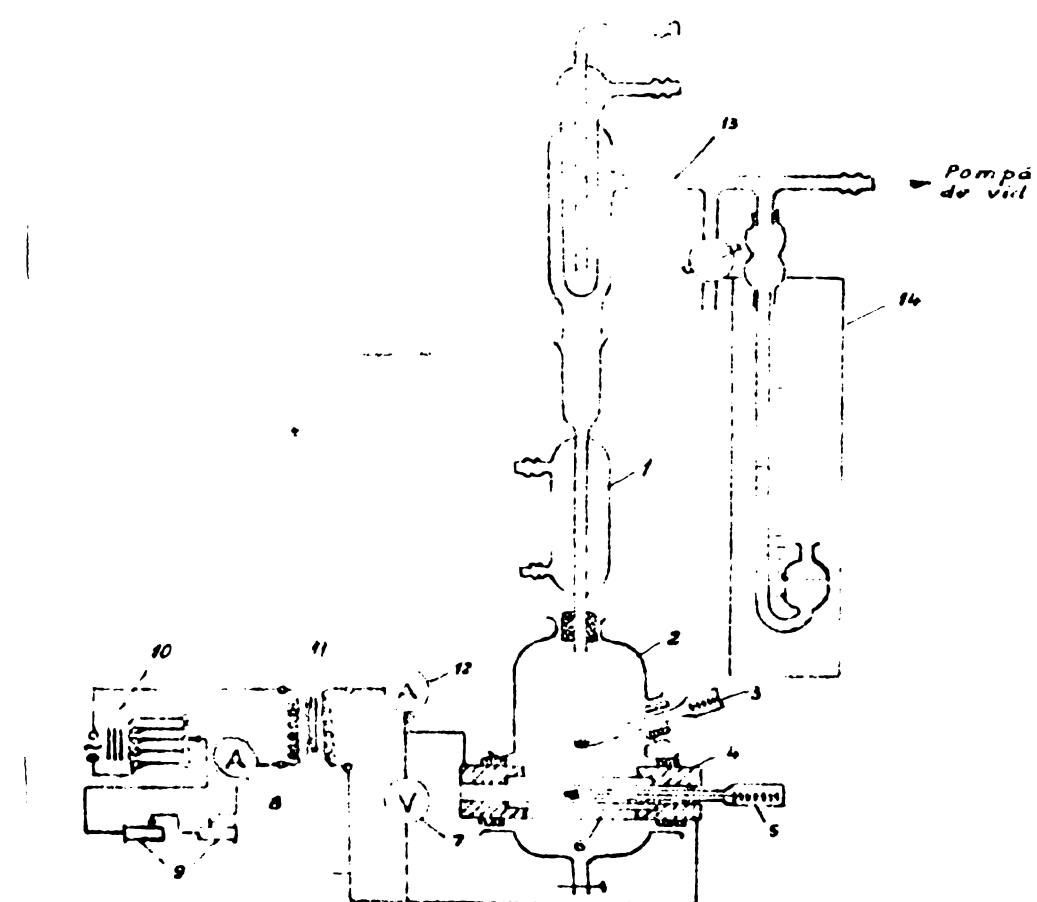


Fig. 21 - Schema instalatiei de laborator

In cazul cand determinirile se efectueaza in vid, la partea superioara a refrigerantului se ataquesca un dispozitiv (13) cu care se asigura reglarea presiunii, legatura cu pompa de vid si manometrul diferențial cu mercur (14). Corpul incilzitor se-a intercalat intr-un circuit electric de curent alternativ, compus dintr-un transformator cotoritor de tinsuire (11), un transformator reglabil (10), rectificatoare (9) si inregistratoarele de intensitate si tensiune (7), (8), (12).

In corpul incilzitor se introduce termometrul (5) cu ajutorul căruia se adsoare temperatura peretelui.

Pentru calculul coeficientului de transfer de calduri la fierbere,  $\alpha$ , după cum s-a arătat mai sus, este necesar să se cunoască temperatura de fierbere a lichidului, care se adsoară

cu termometrul (3), temperatura peretelui încălzitor se obținează cu termometrul (5) și în urma căreia termică a suprafeței încălzitoare se determină din tensiunea și intensitatea curentului electric.

Din datele citite la voltmetriu și ampermetru, se calculează valoarea încărcării termice,  $q$ , cu relația :

$$q = \frac{U \cdot I}{\pi \cdot d_e \cdot l}$$

în care :

$U$  – tensiunea pe corpul încălzitor, în V ,

$I$  – intensitatea curentului, în A ,

$d_e$  – diametrul exterior al corpului încălzitor, în m ,

$l$  – lungimea corpului încălzitor, în m ,

Pentru a obține temperatura peretelui în contact cu lichidul care fierbe, indicațiile termometrului (5) trebuie să fie corectate conform relației :

$$t_p = t_5 - \frac{q \cdot d_e}{4 \lambda} \left[ 1 - \frac{2 \ln \frac{d_e}{d_i}}{\left[ \frac{d_e}{d_i} \right]^2 - 1} \right] / 123$$

în care :

$t_p$  – temperatura peretelui,  $^{\circ}\text{C}$  ,

$t_5$  – temperatura citită cu termometrul (5), în  $^{\circ}\text{C}$  ,

$d_e$  – diametrul exterior al corpului de încălzire, în m ,

$d_i$  – diametrul interior al corpului de încălzire, în m ,

$\lambda$  – coeficientul de conductivitate termică al peretelui,

în  $\text{W/m.grd}$ .

### 1.b.- Determinări experimentale pentru $\alpha$

Determinările experimentale ale coeficientilor de transfer de căldură,  $\alpha$ , la fierberea soluțiilor de sulfat de amoniu, le-au efectuat pentru diferite concentrații cuprinse între 10 și 70%. Pentru a se evita hidroliza, au lăsat la presiunea de 100 mm Hg, în care caz, atât soluția, cît și suprafața încălzitoare nu au depășit temperatura de  $80 - 85^{\circ}\text{C}$ , adică s-au aflat mereu sub pragul de hidroliză /3/. Domeniul încărcării termice a suprafeței încălzitoare, a fost cuprins între  $1 \times 10^5$  și  $4 \cdot 10^5 \text{ } \text{W/m}^2$ .

Au efectuat două serii de determinări, utilizând corpură încălzitoare confecționate din materiale diferite. Unul din corpurile încălzitoare a fost un tub cilindric din aliaj Uranus-B6, cu lungimea de 55 mm, diametru exterior de 12,02 mm și grosimea peretei de 0,96 mm. Aliajul Uranus-B6 are următoarea compoziție :

Fe . . . . .	47,5%	Si . . . . .	0,71%	P . . . . .	0,023%
Ni . . . . .	24,58%	Cu . . . . .	0,40%	S . . . . .	0,016%
Cr . . . . .	19,36%	C . . . . .	0,15%	Nb . . . . .	urme
Mo . . . . .	2,70%	Co . . . . .	0,48%	Zr . . . . .	urme
W . . . . .	2,51%	Al . . . . .	0,59%		
Tn . . . . .	0,80%	W . . . . .	0,17%		

Celălalt corp încălzitor, confecționat din oțel 10 NC 180, cu lungimea tubului cilindric de 50 mm, diametrul exterior de 10 mm și grosimea peretei de 0,5 mm.

Dependența coeficientului de transfer de căldură,  $\alpha$ , la fierberea soluției de sulfat de amoniu, în funcție de încărcarea termică a suprafeței încălzitoare,  $q$ , este prezentată în figurile 22 și 23.

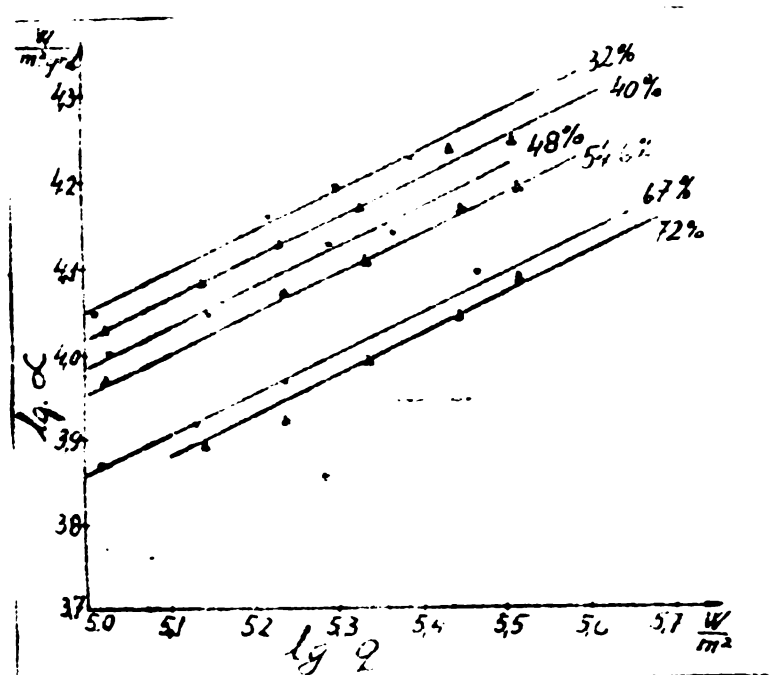


Fig. 22 - Variatia lui  $\alpha$  în funcție de  $q$ , la presiunea de 100 mm Hg, pentru soluțiile apoase de sulfat de amoniu, pe suprafața încălzitoare din aliajul Branus-B6.

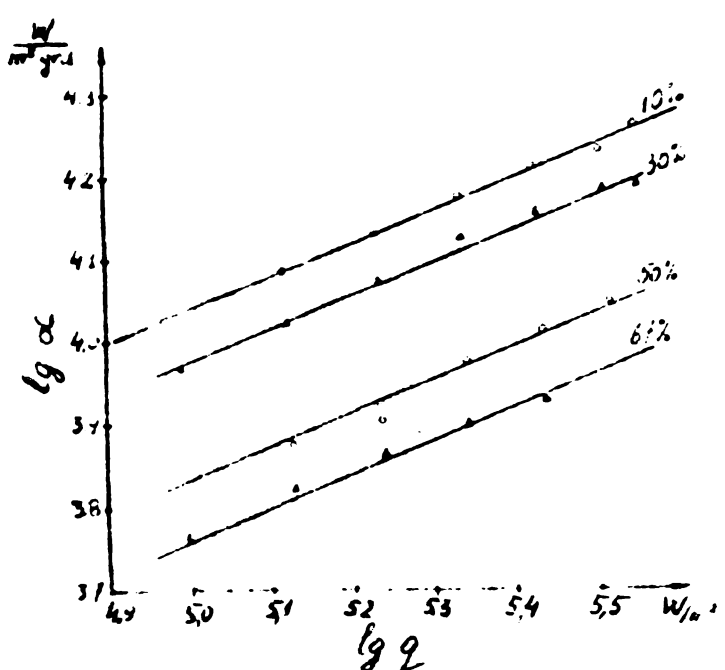


Fig. 23 - Variatia lui  $\alpha$  în funcție de  $q$ , la presiunea de 100 mm Hg, pentru soluțiile apoase de sulfat de amoniu, pe suprafața din oțel inoxidabil 10 NC 180.

In figura 22 se prezintă determinările efectuate pe suprafață încălzitoare, confectionate din aliajul Branus-B6, iar în figura 23 determinările efectuate pe suprafața confectionată din oțel 10 NC 180. În ambele cazuri se observă creșterea coeficiențului  $\alpha$ , cu creșterea lui  $q$ , respectiv scăderea valorilor lui

d., cu creșterea concentrației la valori constante ale încărcării termice  $q_0$ .

Pe baza datelor experimentale s-a stabilit o relație între  $\alpha$  și  $q_0$ , de forma :

$$\alpha = \epsilon \cdot q_0^{\beta}$$

care, pentru determinările efectuate pe suprafața încălzitoare din aliajul Uranus-B6, are expresia :

$$\alpha = \epsilon \cdot q_0^{0,472}$$

iar pentru cele efectuate pe suprafața încălzitoare din otel 10 NC 180 :

$$\alpha = \epsilon \cdot q_0^{0,40}$$

In aceste expresii  $\epsilon$ , este o funcție de concentrație  $C$  a sulfacatului de amoniu în soluție (figurile 24 și 25).

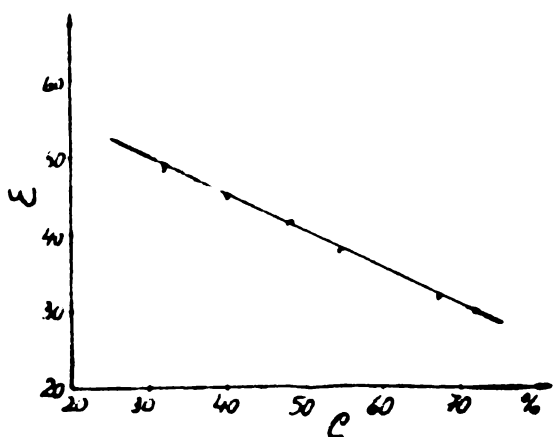


Fig. 24 - Dependenta coeficientului  $\epsilon$ , de concentrația soluțiilor de sulfat de amoniu (aliaj Uranus-B6).

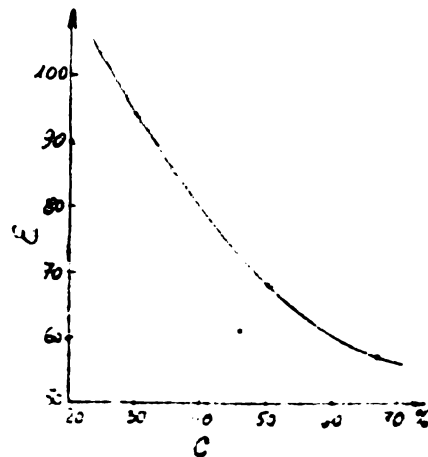


Fig. 25 - Dependenta coeficientului  $\epsilon$ , de concentrația soluțiilor de sulfat de amoniu (aliaj otel 10 NC 180).

Din graficele acestor figuri s-au stabilit următoarele ecuații de corelare între  $E$  și  $C$ :

$$E = 63,8 - 0,475 \cdot C - (\text{Uranus-B6})$$

și:

$$E = 794 \cdot C^{-0,625} - (\text{oțel 10 NC 180})$$

Ecuațiile generale care permit calculul coeficientului  $\alpha$  sunt:

- pe suprafață încălzitoare din aliaj Uranus-B6, în domeniul concentrațiilor 30 - 72%;

$$\alpha = (63,8 - 0,475 \cdot C) \cdot q^{0,472}$$

- pe suprafață încălzitoare din oțel 10 NC 180, la concentrație de 10%:

$$\alpha = 109 \cdot q^{0,4}$$

iar între concentrațiile de 30 - 70%:

$$\alpha = 7,94 \cdot C^{-0,625} \cdot q^{0,4}$$

Diferența mică în variația lui  $\alpha$ , în funcție de  $q$ , și diferențele dintre valorile absolute ale lui  $\alpha$ , în cele două serii de determinări, trebuie să fie atribuite influenței naturii suprafeței și compoziției catalalului.

Reprezentarea comparativă a variației lui  $\alpha$ , în funcție de  $q$ , pentru cîteva concentrații, obținută pe cele două suprafețe, este redată în figura 26.

Dependența coeficientului de transfer de căldură  $\alpha$ , la fierberea soluțiilor apăcate de sulfat de amoniu, de diferența de temperatură  $\Delta t$ , dintre temperatură suprafeței încălzitoare (oțel 10 NC 180) și temperatură la fierbere a soluției, este prezentată în figura 27.

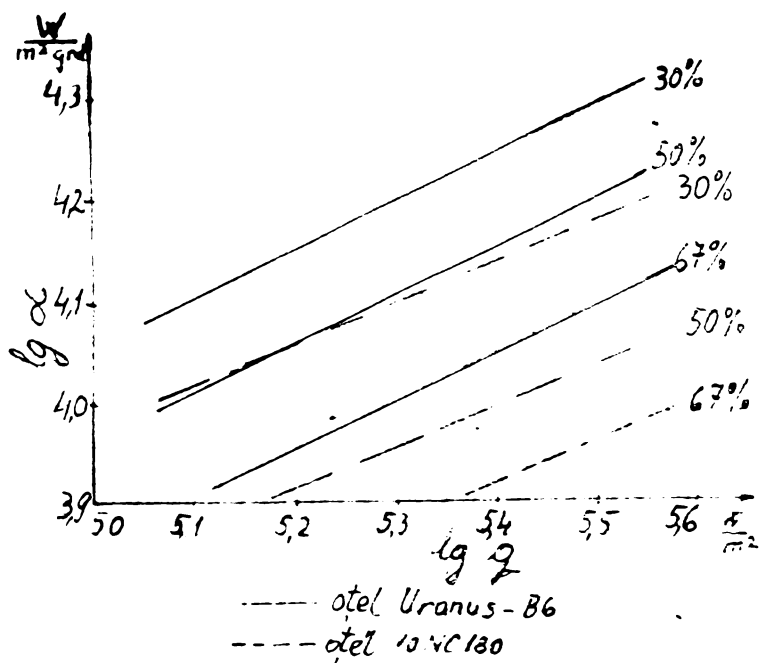


Fig. 26 - Influența suprafeței și a compoziției metalului asupra valorilor lui  $\alpha$ , la diferite concentrații ale soluțiilor de sulfat de amoniu.

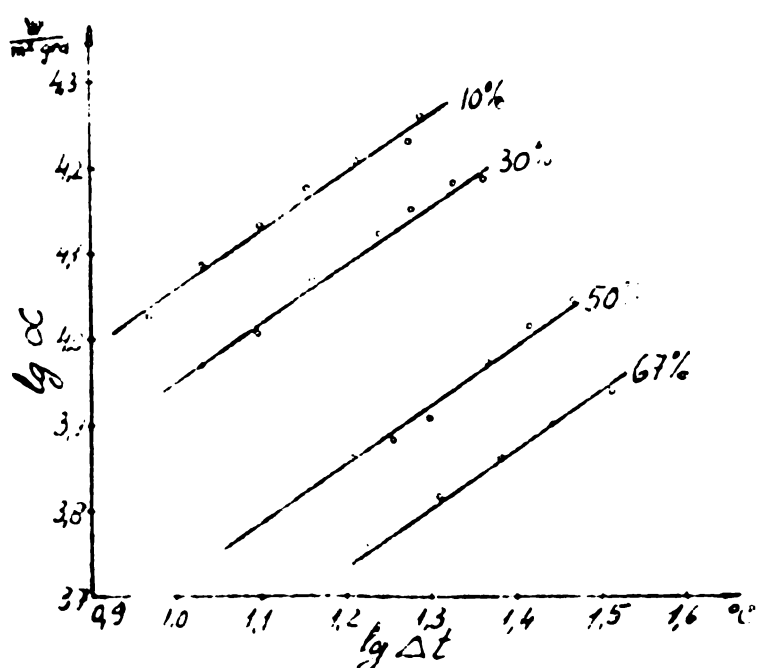


Fig. 27 - Variația lui  $\alpha$  în funcție de  $\Delta t$ , la presiunea de  $10^6$  din "Nc", pentru soluțiile apăsate de sulfat de amoniu, pe o colt la  $100^\circ C$ .

Crescerea concentrației soluției de sulfat de amoniu duce și în acest caz la o creștere a coeficientului de transfer de căldură  $\alpha$ , la fierbere. În diagramă se poate stabili o

ecuație de formă :

$$\alpha = \epsilon_1 \cdot \Delta t^{0,638}$$

unde :  $\epsilon_1$  este un coeficient care depinde de concentrație.

Variatia acestui coeficient în funcție de concentrație, este reprezentată în figura 28, din care se poate stabili relația de dependență a lui  $\epsilon_1$  de concentrație :

$$\epsilon_1 = 5,92 \cdot 10^4 \cdot C^{-1,025}$$

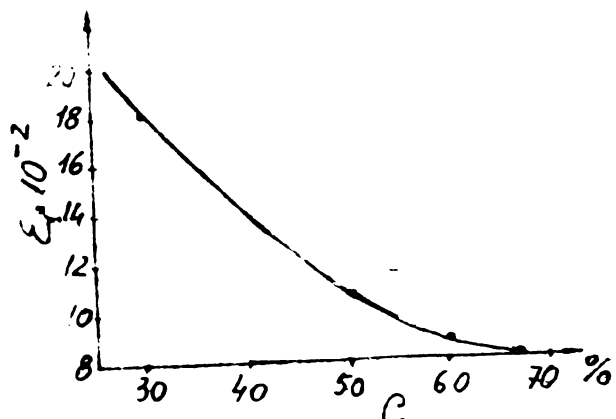


fig. 28 - Dependența coeficien-  
tului  $\epsilon_1$  de concen-  
trația soluțiilor de  
sulfat de amoniu.

Ecuatia globală pentru calculul coeficientului  $\alpha$ , în domeniul de concentrație 30 - 67% este :

$$\alpha = 5,92 \cdot 10^4 \cdot C^{-1,025} \cdot \Delta t^{0,638}$$

Determinări similară au efectuat și pentru soluțiile de sulfat de amoniu, în domeniul de concentrație de 10 - 40%. Dependența coeficientului de transfer de cilduri  $\alpha$ , la fierbere, în funcție de încărcarea terciică a suprafei și funcția  $q$ , pentru concentrațiile studiate, sunt redate în figurele 29 și 30.

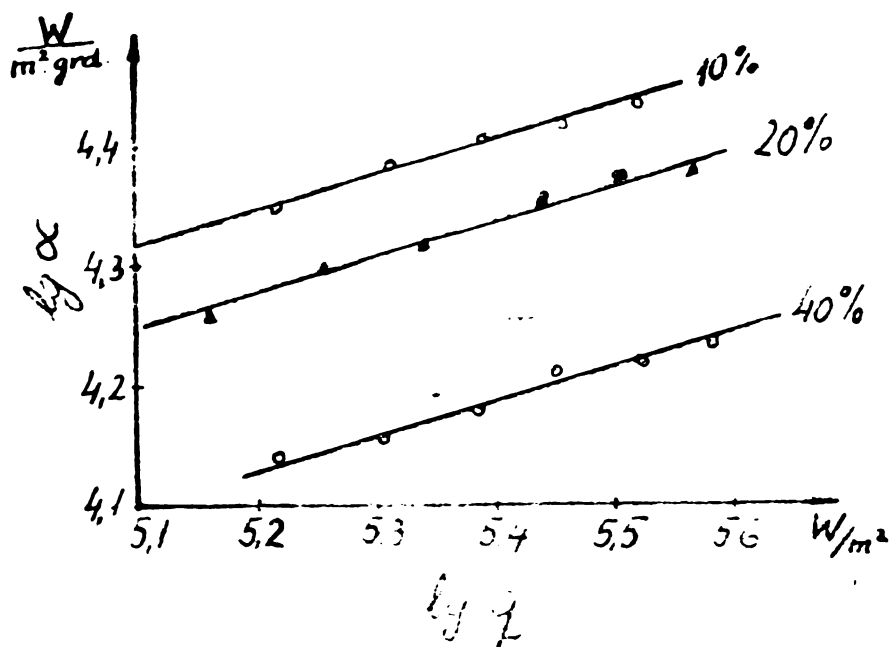


Fig. 29 - Variatia lui  $\alpha$  in functie de  $q_0$  pentru solutii aprotice de sulfat de amoniu, la preciunea de 100 °C (pe ozel URANUR-D6).

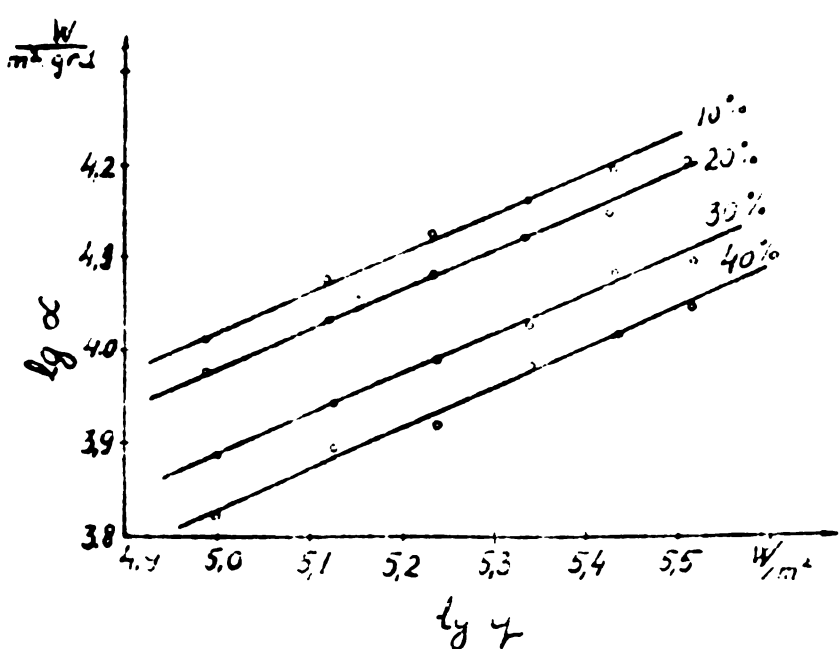


Fig. 30 - Variatia lui  $\alpha$  in functie de  $q_0$  pentru solutii aprotice de sulfat de amoniu, la preciunea de 100 °C (pe ozel ITC 100).

Relațiile deduse sint următoarele :

- pe suprafața de oțel Uranus-B6 :

$$\alpha = \mathcal{E} \cdot q^{0,294}$$

- pe suprafața de oțel inoxidabil 10 NC 130 :

$$\alpha = \mathcal{E} \cdot q^{0,43}$$

Variatia coeficienților  $\alpha$  în funcție de concentrația soluției de sulfat de amoniu, este redată în figurile 31 și 32.

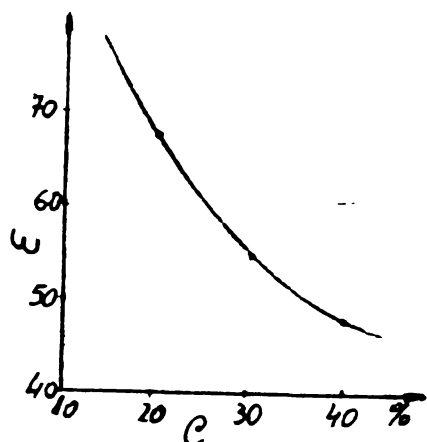


Fig. 31 - Dependenta coeficientului  $\mathcal{E}$  de concentratia solutiilor de sulfat de amoniu (pe oțel Uranus-B6).

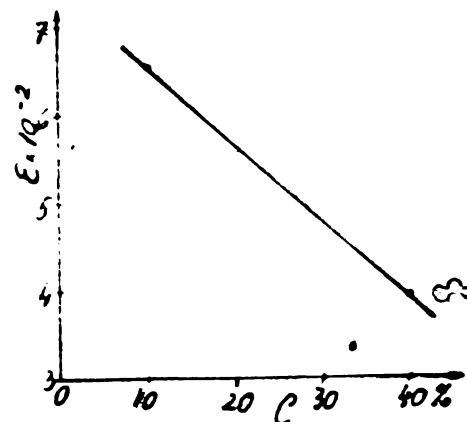


Fig. 32 - Dependenta coeficientului  $\mathcal{E}$  de concentratia solutiilor de sulfat de amoniu (oțel 10 NC 130).

Relațiile deduse din aceste diagrame sunt :

- pe suprafața din oțel Uranus-B6 :

$$\mathcal{E} = 745,5 - 8,89 \cdot C$$

Iar ecuația globală pentru calculul lui  $\alpha$ , este :

$$\alpha = (745,5 - 8,89 \cdot C) \cdot q^{0,294}$$

- pe suprafața din oțel 10 NC 130, relația de calcul a

lui  $E$ , este :

$$E = 288 \cdot C^{-0,484}$$

iar ecuațiile pentru calculul coeficientului  $\alpha$ , pentru soluția de 10% este :

$$\alpha = 73,7 \cdot q^{0,43}$$

și pentru soluțiile de 20 - 40% este :

$$\alpha = 288 \cdot C^{-0,484} \cdot q^{0,43}$$

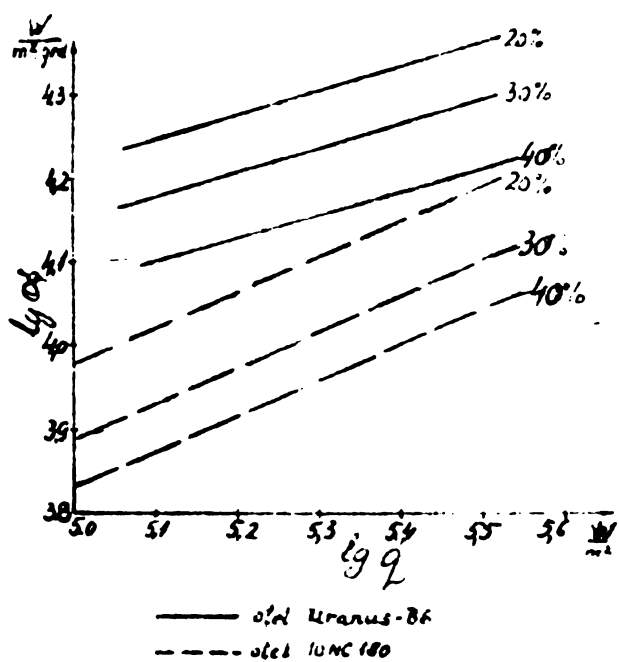


Fig. 33 - Influența naturii metalului asupra valorilor lui  $\alpha$ , la diferite concentrații ale soluțiilor de sulfat de amoniu.

In figura 33 se redă comparativ variația coeficientului de transfer de căldură  $\alpha$ , în funcție de încărcarea termică  $q$ , pentru cele două oțeluri din care este construită suprafața încălzitoare la cîteva concentrații ale soluției de sulfat de amoniu.

Că și în cazul soluțiilor de sulfat de amoniu, valoarea coeficientului  $\alpha$  și dependența sa de încărcarea terciu  $q$ , se datorăge metalului, cît și calității de prălucrare a suprafeței.

Dependența coeficientului de transfer de căldură  $\alpha$ , la fierbere a soluțiilor apăcate de sulfat de amoniu, de concentrație de la 10 - 40%, în funcție de concentrație și de diferență de temperatură  $\Delta t$ , este prezentată în figura 34.

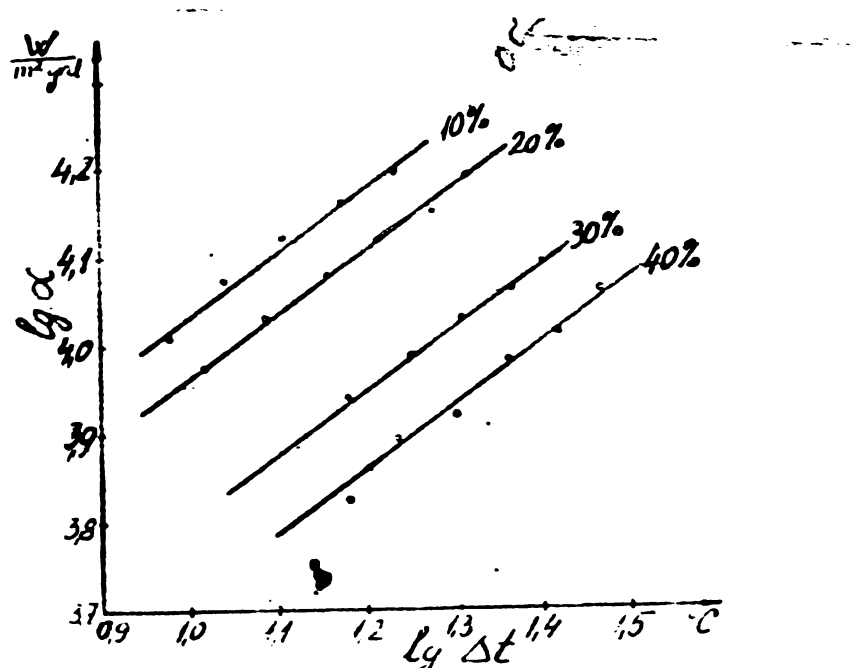


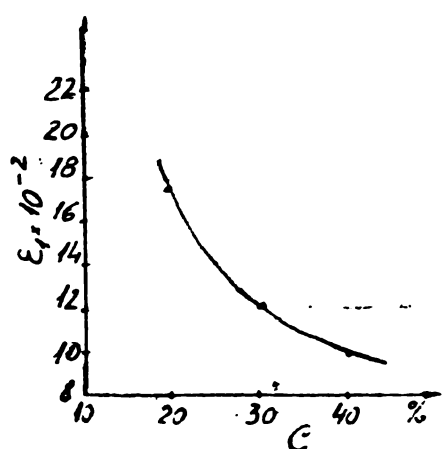
Fig. 34 - Variația lui  $\alpha$  în funcție de  $\Delta t$ , la precumea de 100 °C, pentru soluțiile apăcate de sulfat de amoniu (pe oțel 10 °C 100 °C).

Relația dedusă din această diagramă are forma :

$$\alpha = E_1 \cdot \Delta t^{0.72}$$

în care :  $E_1$  este un coeficient care depinde de concentrația soluției.

Fig. 35 - Dependența coeficientului  $\mathcal{E}_1$  de concentrația soluțiilor de sulfat de amoniu.



Din diagrame (figura 35), care redă variația lui  $\mathcal{E}_1$  în funcție de concentrație, se poate stabili relația:

$$\mathcal{E}_1 = 1,96 \cdot 10^4 \cdot C^{-0,81}$$

valabilă pentru concentrațiile de 30 - 40%.

Ecuația globală pentru calculul coeficientului  $\alpha$ , în funcție de  $\Delta t$ , va fi deci :

- pentru concentrația de 10% :

$$\alpha = 2,045 \cdot 10^3 \cdot \Delta t^{0,72}$$

- pentru concentrațiile de 20 - 40% este :

$$\alpha = 1,96 \cdot 10^4 \cdot C^{-0,81} \cdot \Delta t^{0,72}$$

Decarece soluțiile obținute în procesul tehnologic al sulfonatului de amoniu, care urmează să fie concentrate prin evaporare, conțin și sulfat de amoniu, este necesar că se cunoscă valorile coeficientului de transfer de căldură la fierberea acestui anestec. Determinările experimentale s-au efectuat la un anestec de 1:1 (în greutate) de sulfat de amoniu și sulfat de amoniu.

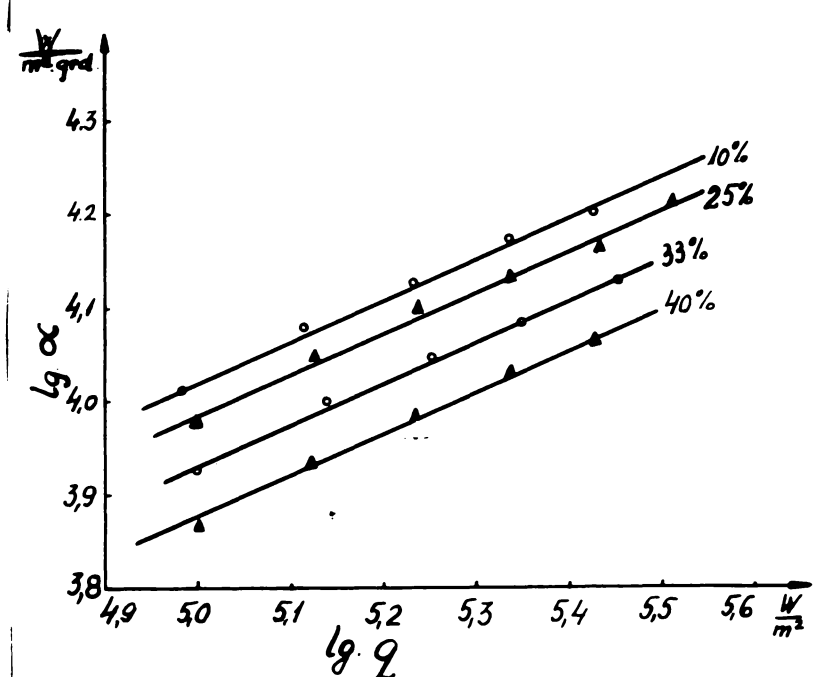


Fig. 36 - Variatia lui  $\alpha$  in functie de  $q$ , la presiunea de 100 mm Hg, pentru solutiile apasate ale acetocelui de sulfat de si sulfat de amoniu, in raport 1:1 (pe o tel inoxidabil 10 NC 180).

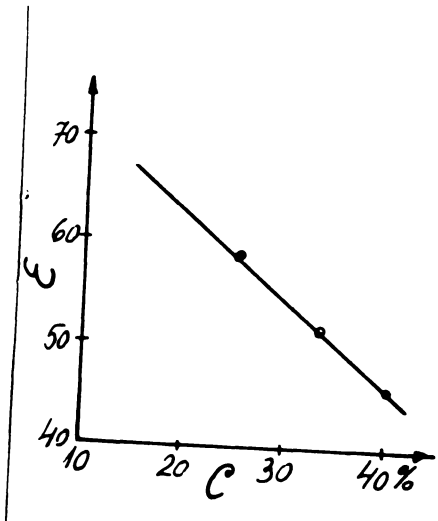


Fig. 37 - Dependenta coeficientului  $E$  de concentrația soluțiilor acetocelui de sulfat și sulfat de amoniu.

Pentru acetocel de sulfat și sulfat de amoniu, dependența coeficientului  $\alpha$ , de încărcarea termodică  $q$ , a suprafeței încălzițoare (otel inoxidabil 10 NC 180), este dată în figura 36. Pe baza acestor date experimentale se poate deduce o relație de formă :

$$\alpha = E \cdot q^{0,443}$$

în care  $E$  este un coeficient dependent de concentrație. Această dependență este reprezentată în figura 37.

Două linii drepte obținute pentru domeniul de concentrație de 25 - 40% este :

$$\alpha = 79,4 - 0,853 \cdot C$$

iar ecuațiile pentru calculul coeficientului de transfer de cildură  $\alpha$ , la fierbere, vor fi :

- pentru soluția de 10% :

$$\alpha = 63,8 \cdot q^{0,443}$$

- pentru soluțiile de 25 - 40% :

$$\alpha = (79,4 - 0,833 \cdot c) \cdot q^{0,443}$$

Reprezentând variația coeficientului de transfer de cildură  $\alpha$ , la fierberea soluțiilor de sulfacet de amoniu, de sulfat de amoniu și de acetatec în proporție de 1:1, în funcție de concentrație la încărcarea termică a suprafeței încălzitoare de 100.000  $\text{W}/\text{m}^2$  (figura 38), rezultă că valoarea coeficientului  $\alpha$ , al acetatecului este o mărime aditivă în limitele erorilor experimentale.

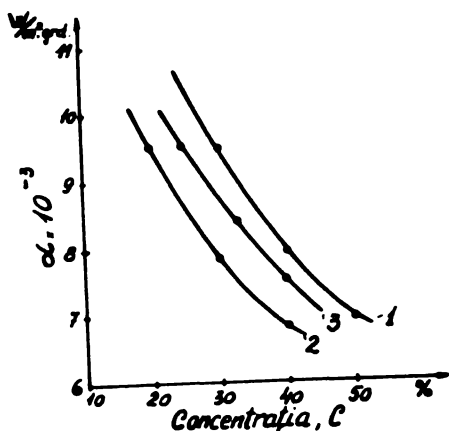


Fig. 38 - Variația lui  $\alpha$ , în funcție de concentrația soluției de sulfacet de amoniu (1), sulfat de amoniu (2) și de acetatec în raport 1:1 (3), la încărcarea termică de 100.000  $\text{W}/\text{m}^2$  și presiunea de 100 mm Hg (pe oțel inoxidabil 1C 7C 130).

Pentru a completa datele cu privire la unele proprietăți fizice, au efectuat determinări pentru stabilirea densității relative a soluțiilor de sulfacet de amoniu, de diferite concentrații, la temperatură de  $20^\circ\text{C}$  (figura 39), precum și temperatură de fierbere a soluțiilor de sulfat de amoniu în funcție de concentrație. Datele experimentale pentru soluțiile de sulfat de

amoniu, în figura 40, la diferite concentrații.

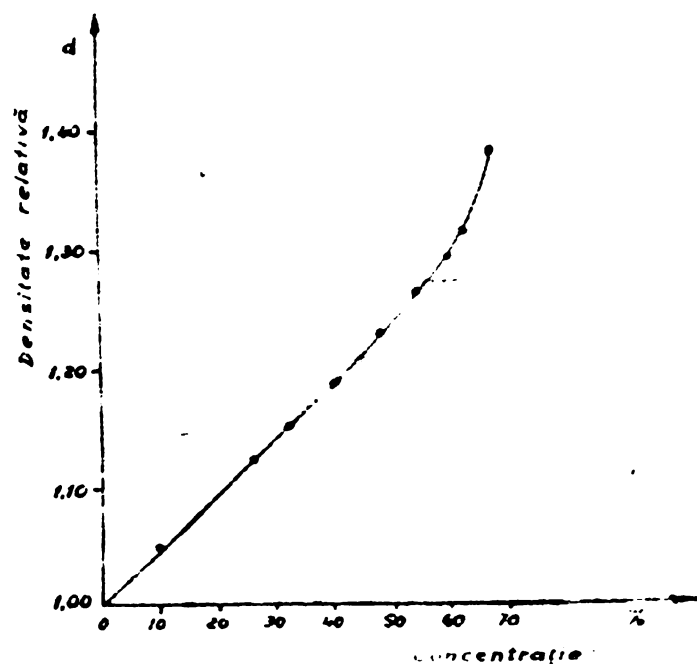


Fig. 39 - Sensitivitatea relativă a soluțiilor de sulfat de amoniu, în funcție de concentrație, la temperatură de  $20^{\circ}\text{C}$ .

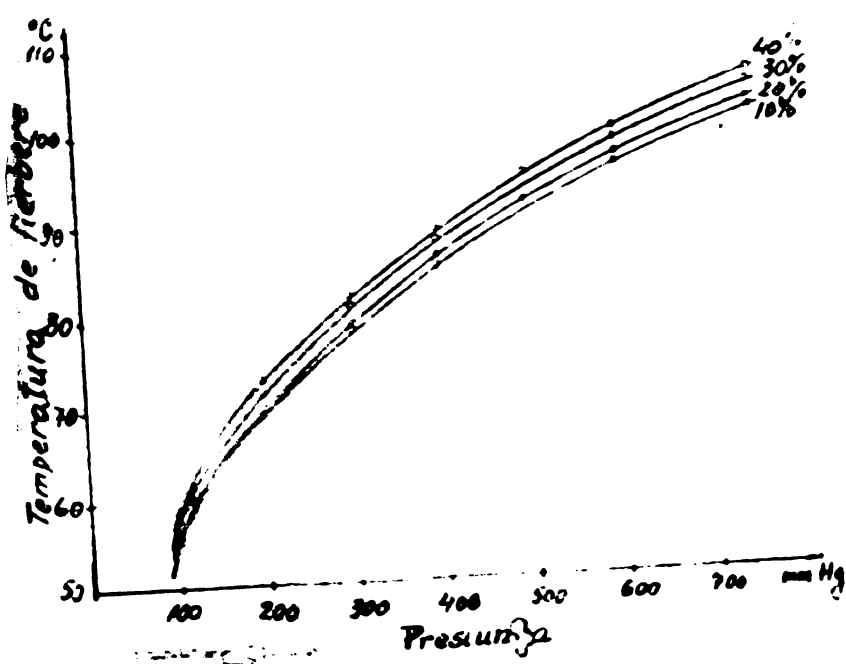
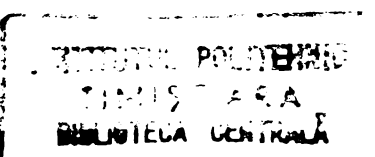


Fig. 40 - Temperatura de fierbere a soluțiilor de sulfat de amoniu, în funcție de presiune.

2.- Presiunea de vapori la temperatura de fierbere a solutiilor de sulfat de amoniu. Calculul cildurii de vaporizare

Procesul de evaporare al soluțiilor de sulfat de amoniu și în general al tuturor soluțiilor, necesită cunoașterea dependenței între presiunile de vapori și temperatură de fierbere. Această dependență a fost cercetată experimental de către K. Sasaki și L. Uchida /15/ pentru soluții saturate de sulfat de amoniul, în intervalul de temperatură 11 - 45°C. Datele prezentate însă, nu sunt suficiente pentru calculul instalațiilor de evaporare ale soluțiilor de sulfat de amoniu, deoarece nu cuprind valorile presiunii de vapori la temperaturile de fierbere ale acestor soluții. Stabilirea pe cale teoretică a dependenței între presiunea de vapori și temperatura de fierbere, este posibilă cu precizia numai pentru soluții diluate, pentru soluții concentrante, cum se folosesc în procesele tehnologice curente, datele obținute prin calcul sunt afectate de erori mari. Din această cauză a fost necesar să întreprind determinări experimentale, în instalația utilizată pentru stabilirea coeficientului parțial de transfer de căldură la fierbere, a dependenței dintre presiunea de vapori și temperatura de fierbere a soluțiilor de sulfat de amoniu.

Au efectuat determinări de dependență între presiunile de 760, 600, 500, 400, 300, 200 și 100 mm Hg și temperatura corespondătoare pentru soluții de sulfat de amoniu de diferite concentrații. Datele experimentale obținute sunt prezentate în figura 41.



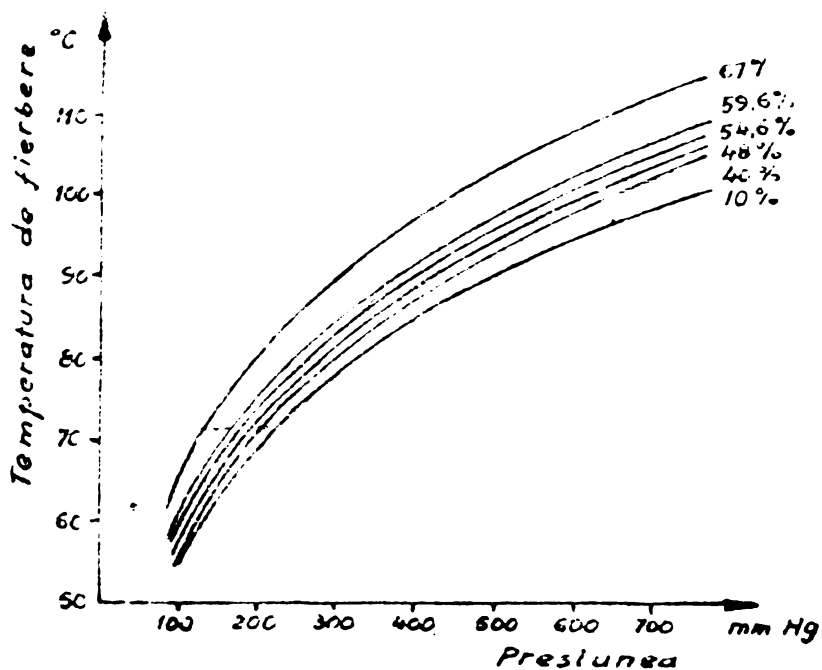


Fig. 41 - Dependenta intre presiunea de vapori si temperatura de fierbere a solutiilor de sulfat de amoniu de diferite concentratii

Utilisind relatiile lui Clausius - Clapeyron :

$$\frac{d \ln P}{dT} = \frac{\Delta_{\text{vap}}^{\text{II}}}{RT^2}$$

se calculeaza dependenta intre  $\ln P$  si  $1/T$ , in vederea linearizarii curbelor prezentate in figura 41. S-au obtinut astfel dreptele prezentate in figura 42.

Din figura 42 se observa buna concordanță a datelor experimentale, privind dependența intre presiunea de vapori și temperatura de fierbere a soluțiilor de sulfat de amoniu, de diferite concentrații.

Prin integrarea relației Clausius - Clapeyron, se poate calcula căldura de vaporizare  $\Delta_{\text{vap}}^{\text{II}}$  a soluțiilor de sulfat de amoniu, de diferite concentrații, într-un anumit interval de presiuni  $P_1$  și

$p_2$  și respectiv  $1/T_1$  și  $1/T_2$ :

$$\Delta \Pi_{\text{vap}} = R \frac{\ln p_2 - \ln p_1}{\frac{1}{T_1} - \frac{1}{T_2}}$$

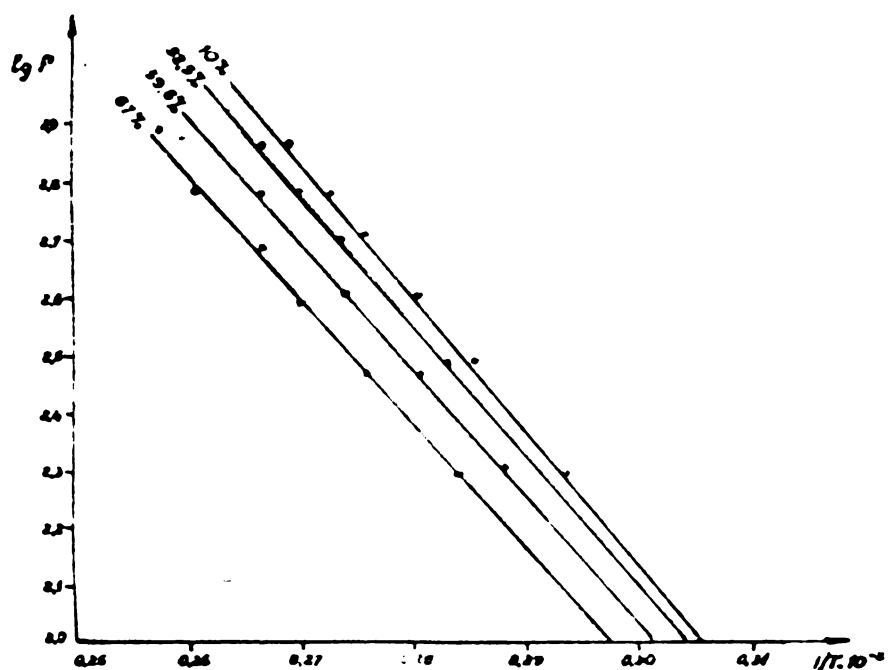


Fig. 42 - Dependenta intre logaritmul presiunii de vaporii si inversul temperaturii absolute de fierbere a solutiei de sulfamat de amoniu de diferite concentrazii.

Calculul caldurii de vaporizare  $\Delta \Pi_{\text{vap}}$  pentru diferite intervale de presiune si pentru solutii de sulfamat de amoniu de diferite concentratii, fiind efectuat la un calculator electronic IRIS-50.

Programul de calcul, precum si rezultatele obtinute sunt prezentate mai jos.

PRINT 81

81 FORMAT (10 X, 'P(1)', 10X, 'P(2)', 15X, 'T(1)', 9X, 'T(2)', 10X  
'IVAP', 20X, '(PRES IN MP COL RG SI TEMP IN GRADE CELS)'  
CALL SUBL

PRINT 82

82 FORMAT (25X, 'CONCENTRATIA = 10 PROC GROUT')  
CALL SUBL  
CALL H (55., 69., 100., 200., IV)  
CALL H (69., 78., 200., 300., IV)  
CALL H (78., 84.8, 300., 400., IV)  
CALL H (84.8, 90.4, 400., 500., IV)  
CALL H (90.4, 95., 500., 600., IV)  
CALL H (95., 100.8, 600., 750., IV)  
CALL SUBL

PRINT 83

83 FORMAT (25X, 'CONCENTRATIA = 32.5 PROC GROUT')  
CALL SUBL  
CALL H (56, 9, 70, 9, 100., 200., IV)  
CALL H (70, 9, 80., 200., 300., IV)  
CALL H (80., 86, 9, 300., 400., IV)  
CALL H (86, 9, 92, 8, 400., 500., IV)  
CALL H (92, 8, 97, 7, 500., 600., IV)  
CALL H (97, 7, 103, 4, 600., 740., IV)  
CALL SUBL

PRINT 84

84 FORMAT (25X, 'CONCENTRATIA = 59.6 PROC GROUT')  
CALL SUBL  
CALL H (60, 6, 74, 8, 100., 200., IV)  
CALL H (74, 8, 84, 8, 200., 300., IV)

CALL H (84.8, 91.4, 300., 400., IV)  
CALL H (91.4, 97.4, 400., 500., IV)  
CALL H (97.4, 102.2, 500., 600., IV)  
CALL H (102.2, 108.7, 600., 745., IV)  
CALL SUBL  
PRINT 85  
85 FORMAT (2X, 'CONCENTRATION = 67.0 PROG.GRADUTA')  
CALL SUBL  
CALL H (64., 79.7, 100., 200., IV)  
CALL H (79.7, 89.8, 200., 300., IV)  
CALL H (89.8, 97.1, 300., 400., IV)  
CALL H (97.1, 102., 400., 500., IV)  
CALL H (102., 108., 500., 600., IV)  
CALL H (108., 114., 600., 760., IV)  
CALL SUBL  
END  
SUBROUTINE H (T1, T2, P1, P2, IV)  
P1S1 = 10000./76. \* T1  
P2S2 = 10000./76. \* T2  
M = 8925. \* (ALOG(P2S2)-ALOG(P1S1)/(1./273.+T1)-1./273.+T2)  
PRINT 81, P1, P2, T1, T2, IV  
81 FORMAT (9X, F5.1, 9X, F5.1, 14X, F5.1, 8X, F5.1, 19X, F4.6)  
RETURN  
END  
SUBROUTINE SUBL  
DATA SLEN /1E/  
DIMENSION S(120)  
DO 10 I = 1,120

```
10 S(1) = SLEN  
PRINT S1, S  
20 FORMAT (2X, 120 A1)  
RETURN  
END
```

Rezultatele obtinute sunt prezentate in tabela 16.

Tabelul 16

Preciziiile in m col Ig si temperatura in grade Cels.

P(1)	P(2)	T(1)	T(2)	H <sub>vap</sub>	H <sub>vap</sub> partie
1.	2.	3.	4.	5.	6.
CONCENTRATIA = 10 PROG. GRAT.					
100.0	200.0	55.0	69.0	.461000E+03	
200.0	300.0	69.0	78.0	.449000E+03	
300.0	400.0	78.0	84.8	.441000E+03	0.444x10 <sup>3</sup>
400.0	500.0	85.8	90.4	.430000E+03	
500.0	600.0	90.4	93.0	.440000E+03	
600.0	750.0	95.0	100.8	.440000E+03	
CONCENTRATIA = 32.5 PROG. GRAT.					
100.0	200.0	56.9	70.9	.467000E+03	
200.0	300.0	70.9	80.0	.449000E+03	
300.0	400.0	83.0	86.9	.440000E+03	0.436x10 <sup>3</sup>
400.0	500.0	86.9	92.8	.424000E+03	
500.0	600.0	92.8	97.7	.419000E+03	
600.0	750.0	97.7	103.4	.426000E+03	

1.	2.	3.	4.	5.	6.
CONCENTRATIA = 59.6 PROC. GREUT.					
100.0	200.0	60.6	74.8	.472000B+08	
200.0	300.0	74.8	84.8	.419000B+08	
300.0	400.0	84.8	91.4	.472000B+08	$0.438 \times 10^8$
400.0	500.0	92.4	97.4	.417000B+08	
500.0	600.0	97.4	102.2	.438000B+08	
600.0	745.5	102.2	108.7	.397000B+08	
CONCENTRATIA = 67.0 PROC. GREUT.					
100.0	200.0	64.0	79.7	.436000B+08	
200.0	300.0	79.7	89.8	.427000B+08	
300.0	400.0	89.8	97.1	.439000B+08	$0.445 \times 10^8$
400.0	500.0	97.1	102.0	.525000B+08	
500.0	600.0	102.0	108.0	.360000B+08	
600.0	760.0	103.0	114.0	.483000B+08	

Din datele prezentate in tabela 16 se observă o uniformitate satisfăcătoare a valurilor căldurii de vaporizare,  $\Delta R_{vap}$ , pentru concentrații astăzi de sulfat de zinc. La soluții saturate, fluctuațiile de valori ale căldurii de vaporizare sunt foarte mari, întrecind uneori 20% valoareas medie. Aceste date dispuse se datorează erorilor experimentale de cînd cînd a temperaturilor de fierbere. În special la soluții concentrante, fierberea are loc cu suprafațele lării și răbâșniri de lichid, ceea ce face ca temperatura reală de fierbere să nu fie apropiată de cea înregistrată de termometru.

Pentru a ajunge la valori mai uniforme a căldurilor de vaporizare, am rectificat temperaturile de fierbere a soluțiilor de sulfat de amoniu cu ajutorul diagramei  $\log P_1$  în funcție de  $1/T$  (figura 42 tracată la scară sărită). Introducând aceste noi valori ale temperaturii de fierbere în programul de calcul, am obținut pentru căldurile de vaporizare valorile din tabelă IV.

Tabelă 17

Presiunea în mm Rg, temperatură în grade Cels.					
P(1)	P(2)	T(1)	T(2)	$H_{vap}$	$H_{vap}$ medie
1.	2.	3.	4.	5.	6.
CONCENTRAȚIA = 10 PROC. GREUZ.					
100.0	200.0	54.9	89.3	.449000B+08	
200.0	300.0	89.3	98.0	.465000B+08	
300.0	400.0	98.3	84.8	.441000B+08	
400.0	500.0	84.8	90.4	.430000B+08	0.448x10 <sup>8</sup>
500.0	600.0	90.4	95.0	.460000B+08	
600.0	750.0	95.0	100.0	.440000B+08	
CONCENTRAȚIA = 32.5 PROC. GREUZ.					
100.0	200.0	57.7	71.3	.482000B+08	
200.0	300.0	72.3	80.4	.450000B+08	
300.0	400.0	80.4	87.2	.447000B+08	
400.0	500.0	87.2	92.8	.436000B+08	0.444x10 <sup>8</sup>
500.0	600.0	92.8	97.7	.419000B+08	
600.0	750.0	97.7	103.4	.426000B+08	

1.	2...	3.	4.	5.	6.
CONCENTRATIA = 59.6 PROC. GREUT.					
100.0	200.0	59.5	74.9	.435000B+08	
200.0	300.0	74.8	84.3	.419000B+08	
300.0	400.0	84.8	91.4	.472000B+08	
400.0	500.0	91.4	97.4	.417000B+08	0.439210 <sup>8</sup>
500.0	600.0	97.4	102.9	.438000B+08	
600.0	745.5	102.9	107.8	.450000B+08	
CONCENTRATIA = 67.0 PROC. GREUT.					
100.0	200.0	63.8	79.6	.433000B+08	
200.0	300.0	79.6	89.6	.431000B+08	
300.0	400.0	89.6	97.0	.433000B+08	
400.0	500.0	97.0	102.8	.444000B+08	0.435210 <sup>8</sup>
500.0	600.0	102.8	107.9	.425000B+08	
600.0	760.0	107.9	114.4	.446000B+08	

După cum era și de așteptat, valorile căldurilor de vaporizare, calculate cu temperaturile citite de pe graficul din figura 42, sunt mult mai oxogene. Media aritmetică a căldurilor de vaporizare, pentru soluțiile de sulfat de aranț de diferite concentrații, respectă regularitatea și anume scade cu creșterea concentrației soluției.

O altă modalitate de a lăsa în evidență dependența între presiunea de vapori și temperatură de fierbere se poate realiza cu ajutorul diagramei Dühring /123/. Diagramea Dühring reprezintă dependența între temperaturile de fierbere a soluțiilor de diferite concentrații și temperatura de fierbere a apăi, la aceeași presiune și se întâlnește în figura 43.

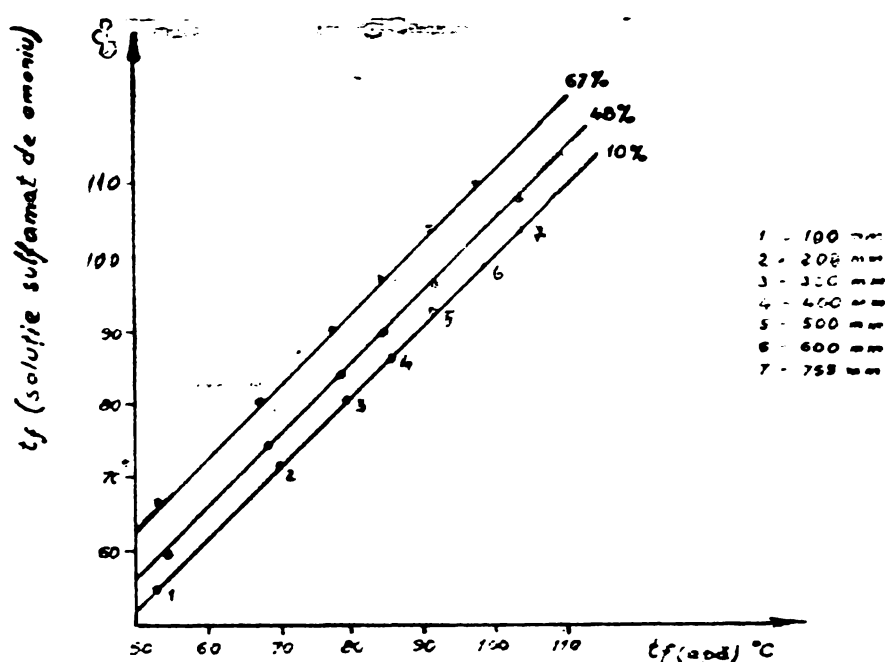


Fig. 43 - Dependenta intre temperatura de fierbere a solutiilor de sulfat de amoniu de diferite concentrazii si temperatura de fierbere a apei la aceeasi presiune.

Pentru calculul instalațiilor de evaporare, este necesar să se cunoască și dependența dintre temperatură de fierbere a soluțiilor și concentrația lor la o anumită presiune. În cazul evaporării soluțiilor de sulfat de amoniu, este necesar ca presiunea să fie cît mai mică, pentru ca temperatura de fierbere a soluțiilor să nu depășească  $80^{\circ}\text{C}$ , la care ar apărea pericolul descompunerii sării. În figura 44 se reprezintă dependența între temperatură de fierbere a soluțiilor de sulfat de amoniu și concentrația lor la presiunea de 100 mm Hg.

Din această curbă se observă că dependența între temperatură de fierbere a soluțiilor de sulfat de amoniu și concentrația la presiunea de 100 mm Hg, este relativ complicată.

este deosebit de stabilă o relație cromatică a temperaturii, în funcție de concentrație, de forma  $t = f(c)$ .

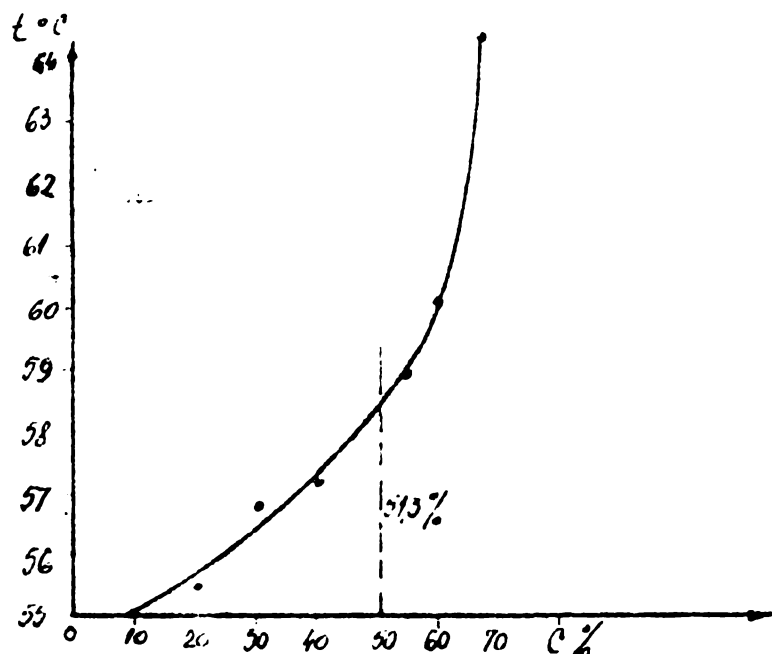


Fig. 44 - Dependența între temperatura de fierbere a soluțiilor de sulfat de amoniu și concentrația lor la 100 ac/lg.

Din acestă cauză s-a tracat curba de dependență între logaritmul temperaturii de fierbere și logaritmul concentrației. Această curbă este întărită în figura 45.

După cum se observă din figura 45, se poate obține rezultate satisfăcătoare, dacă se consideră această dependență liniară în două intervale distincte de concentrație și anume: pentru soluții de sulfat de amoniu cu concentrație cuprinsă între 0 și 51,3%, dependența  $t = f(c)$ , în forma:

$$t_1 = 48,5 \cdot 10^{0,0433}$$

iar pentru soluții cu concentrație sulfatului de amoniu cuprinsă între 52,5 și 67%, dependența  $t = f(c)$ , are valoarea 1

$$t_f = 7,85 C^{0,5}$$

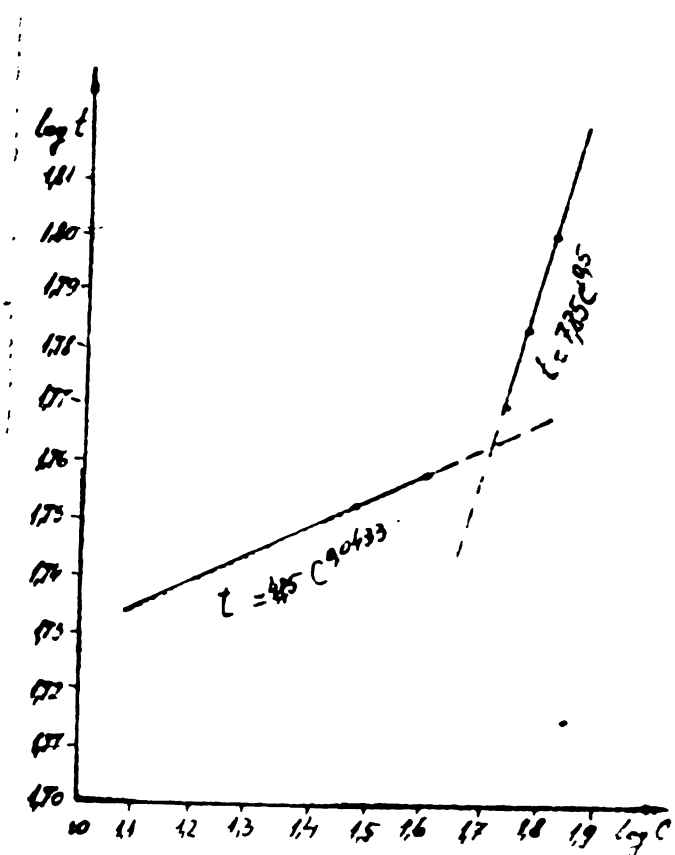


Fig. 45 - Diagramă logarithmică a dependenței între temperatura de fierbere și concentrație, a soluțiilor de sulfat de amoniu, la presiunea de 100 mm Rg.

Toate aceste grafice și relațiile pot furniza datele necesare calculului evaporatoarelor de sulfat de amoniu.

### 3.- Calculul reglajelor termice la instalația de concentrare a soluțiilor de sulfat de amoniu.

Determinarea suprafeței necesare a instalațiilor de evaporare a unei soluții de sulfat de amoniu, în vederea concentrației și cristalizării, necesită cunșterea coeficientă

valui total de transfer de căldură  $K$  :

$$K = \frac{1}{\frac{1}{\alpha_c} + \frac{\delta_p}{\lambda_p} + \frac{1}{\alpha_g}}$$

în care :

$K$  - coeficientul total de transfer de căldură,  $\text{W/m}^2\text{.grd}$  ;

$\alpha_c$  - coeficient parțial de transfer de căldură la condensarea vaporilor,  $\text{W/m}^2\text{.grd}$  ;

$\alpha_g$  - coeficient parțial de transfer de căldură la fierbere a soluției de salinăză de amoniu,  $\text{W/m}^2\text{.grd}$  ;

$\delta_p$  - grosimea peretelui tuburilor încălzitoare,  $\text{m}$  ;

$\lambda_p$  - coeficientul de conductibilitate termică a peretelui,  $\text{W/m.grd}$ .

Avgind coeficientul total de transfer de căldură, se determină suprafața  $S$  de transfer :

$$S = \frac{Q}{K \Delta t_{ut} \cdot \bar{v}}$$

în care :

$Q$  - căldura transmisă,  $\text{J}$  ;

$\Delta t_{ut}$  - diferența utilă de temperatură,  $\text{grd}$  ;

$\bar{v}$  - tipul de evaporare,  $\text{s}$ .

Pentru calculul coeficientului parțial de transfer de căldură, la condensare  $\alpha_c$ , există formule teoretice aproximative. La determinarea lui  $\alpha_c$ , pentru condensarea în intervalul ţevilor orizontale, se poate lua  $\alpha_c$  egal cu cel obținut la condensarea vaporilor pe suprafețe exterioare  $126/\text{s}$ .

$$\alpha_c = 0,72 \sqrt[4]{\frac{g \cdot \rho^2 \lambda^3}{\eta \Delta t_0 d_2}} = 1,28 \sqrt[4]{\frac{g \cdot \rho^2 \lambda^3}{\eta \Delta t_0 d_2}}$$

In care :

$d_2$  - diametrul interior al țevii, m.

$g$  - accelerarea gravitației,  $m/s^2$ ,

$\rho$  - cldarea de condensare,  $J/kg$ ,

$\Delta t_0$  - diferența de temperatură între temperatura  $t_b$  a vaporilor care se condensenă și temperatura peretelui  $t_{mp}$  de partea vaporilor, grăd.

$\lambda$  - coeficientul de conductibilitate termică a peliculei de condensat,  $W/m \cdot \text{grd}$ ,

$\eta$  - viscozitatea dinamică a condensatului,  $kg/m \cdot s$ ,

$\rho$  - densitatea condensatului,  $kg/m^3$ .

In această formulă  $\rho$  se ia la temperatura de condensare, iar celelalte valori la temperatură cedie,  $t_{mp}$  a peliculei de condensat :

$$t_{mp} = \frac{t_{bc} + t_b}{2}$$

Pentru vaporii de apă care se condensenă introducind constantele fizice respective, relația coeficientului partial de transfer de căldură la condensare  $\alpha_c$  devine :

$$\alpha_c = 2,04 A \sqrt[4]{\frac{\rho}{d_2 \cdot \Delta t}} \sqrt[4]{\frac{\rho^2 \lambda^3}{\eta}}$$

In care :  $A = 1,28$

Celul calcul transferului de căldură necesită exprimarea relației  $A = f(t)$ , sub formă unei ecuații simple. În acest scop s-a tracat graficul dependenței  $A = f(t)$ , reprezentat în

figura 46. Curba obtinută astfel se poate exprima cu greu printr-o ecuație matematică. Din această cauză, s-a tracat dependența logaritmică a acestor două valori și s-a obținut o dreaptă prezentată în figura 47. Ecuația acestei drepte în intervalul  $40^{\circ}\text{C} - 120^{\circ}\text{C}$  este :

$$A = 52,9 t^{0,266}$$

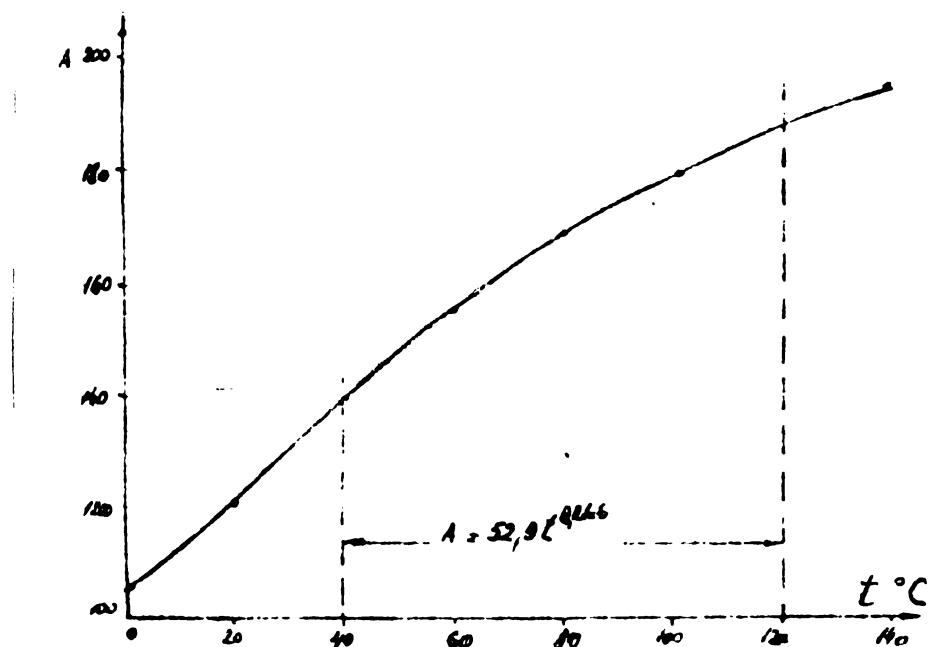


Fig. 46 - Dependența constantei A în funcție de temperatură

existența termiei de partea condensării este egală cu inversul coeficientului parțial de transfer de căldură la condenare.

Cantitatea de căldură  $Q_1$  transferată prin pelicula de condensat este :

$$q_c = 52,9 \left( \frac{t_g + t_{pc}}{2} \right)^{0,266} \cdot \sqrt{\frac{2,26 \cdot 10^6}{0,037(t_g - t_{pc})}} \cdot (t_g - t_{pc}) \cdot S_1 \cdot Z$$

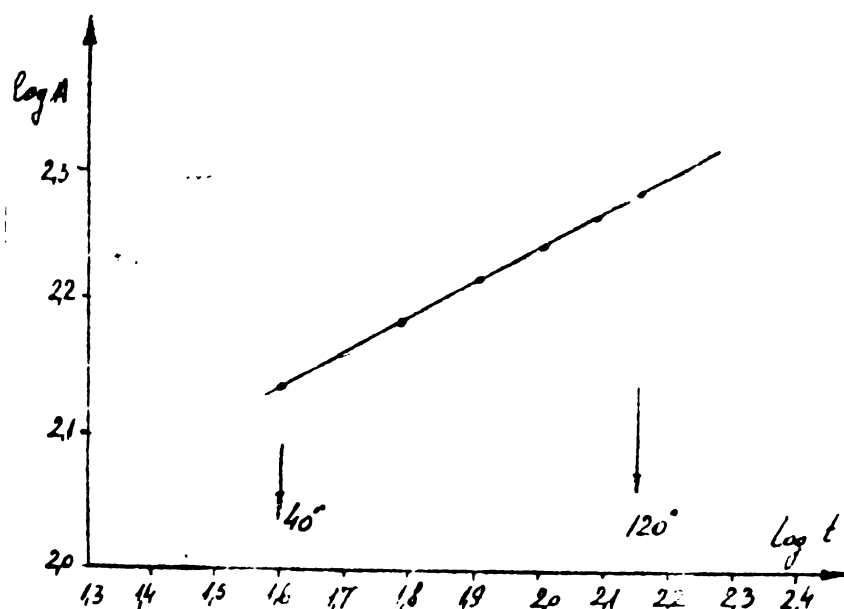


Fig. 47 - Dependenta constantei  $A$  în funcție de  $t$   
în coordonate logaritmice .

In cazul calculului efectiv s-a admis temperatura de condensare  $t = 100^\circ C$ , tubul incălzitor confectionat din oțel inoxabil 18-8 cu  $\lambda = 17,5 \text{ W/m.grd}$  și diametrul  $42 \times 2,5 \text{ mm}$ .

Scriind formula de mai sus :

$$q_c = 5290 (t_{pc} + 100)^{0,266} (100 - t_{pc})^{0,75}$$

Cantitatea de căldură trecută prin părțile tubulei încălzitor este :

$$\dot{Q}_p = \frac{\lambda_p}{\delta_p} (t_{pc} - t_{pr}) S \cdot Z = 5290 (t_{pc} - t_{pr}) S \cdot Z$$

Cantitatea de căldură trecută de la tubul încălzitor la saluție ce fierbe, se determină folosind una din formulele pentru  $\alpha_{pr}$  determinate experimental în lucrarea de fată.

In cazul calculului efectiv, s-a utilizat formula indicata anterior, valabila pentru solutii de sulfat de amoniu de concentrazie 30 - 67 % :

$$\alpha_s = 5,92 \times 10^4 \text{ C}^{-1,025} \Delta t_s^{0,683}$$

In care :

- C - concentratiea sulfatului de amoniu in solutie, % mas.
- $\Delta t$  - diferența intre temperatura peretelui  $t_{ps}$  și temperatura de fierbere a solutiei,  $t_p$ , °C.

Temperatura de fierbere  $t_p$ , in dependență de concentrația C, s-a determinat experimental și se poate exprima cu următoarea relație :

$$t_p = 48,5 \text{ C}^{0,0473}$$

pentru solutiile cu un continut de 0 - 51,3 % sulfat de amoniu,

$$t_p = 7,85 \cdot \text{C}^{0,5}$$

pentru solutiile cu un continut de sulfat de amoniu mai mare de 51,3%.

Cantitatea de căldură  $Q_p$  transmisă de la perete la soluție care se concentrează este :

$$Q_p = 5,92 \cdot 10^4 \cdot \text{C}^{-1,025} (t_{ps} - t_p)^{1,683} \cdot s \cdot Z$$

In regim stacionar de evaporare, cele trei cantități de căldură, scrise mai sus, sunt egale :

$$Q_c = Q_p = Q_s$$

Exprimind in egalitățile de mai sus căldurile respective pentru concentrație C = 30 - 67 % :

$$Q_c = 0,787 \times 10^4 (t_{pc} + t_c)^{0,266} (t_c - t_{pc})^{0,75} =$$

$$Q_p = 0,7 \times 10^4 (t_{pc} - t_{pf}) =$$

$$Q_f = 0,592 \times 10^5 \cdot c^{-1,025} (t_{pf} - t_f)^{1,688}$$

Temperatura de fierbere  $t_p$  a soluției de sulfat de amoniu de 30%, la presiunea de 100 mm Hg, este  $56,7^\circ\text{C}$ , iar temperatura de condensare  $t_c$  a vaporilor se admite  $100^\circ\text{C}$ :

$$Q_f = 0,592 \times 10^5 \times 30^{-1,025} (t_{pf} - 56,7)^{1,688} \cdot s \cdot \mathcal{Z}$$

$$Q_f = 1,813 \times 10^3 (t_{pf} - 56,7)^{1,688} \cdot s \cdot \mathcal{Z}$$

Aceleași relații cu datele de mai sus:

$$0,787 \times 10^4 (t_{pc} + t_c)^{0,266} (t_c - t_{pc})^{0,75} = 0,7 \cdot 10^4 (t_{pc} - t_{pf}) =$$
$$= 1,813 \times 10^3 (t_{pf} - 56,7)^{1,688}$$

Din a doua egalitate se exprimă valoarea  $t_{pc}$  în funcție de  $t_{pf}$ :

$$t_{pc} = t_{pf} + 0,2555 (t_{pf} - 56,7)^{1,688}$$

Din prima egalitate se găsește  $t_{pf}$  în funcție de  $t_{pc}$ :

$$t_{pf} = t_{pc} - 1,12 (t_{pc} - 100)^{0,266} (100 - t_{pc})^{0,75}$$

Combinind expresiile de mai sus, se obține o relație care cuprinde numai pe  $t_{pc}$ :

$$0,2555 \left[ t_{pc} - 1,12(t_{pc} + 100)^{0,266} (100 - t_{pc})^{0,75} - 56,7 \right]^{1,688}$$

$$- 1,12 (t_{pc} + 100)^{0,266} (100 - t_{pc})^{0,75} = 0$$

Rezolvarea acestei ecuații transcențente, se poate face separând doi termeni  $y_1$  și  $y_2$ :

$$y_1 = 1,12 (t_{pc} + 100)^{0,266} (100 - t_{pc})^{0,75}$$

$$y_2 = 0,255 \left[ t_{pc} - 1,12(t_{pc} + 100)^{0,266} (100 - t_{pc})^{0,75} - 56,7 \right]$$

In expresiile de mai sus, se dau diferite valori lui  $t_{pc}$  cuprinse între  $t_p$  și  $t_c$  și se calculează  $y_1$  și  $y_2$ , indicate în tabelul 18.

Tabela 18

$t_{pc}$	$y_1$	$y_2$
60	68,7	-293
70	56,3	-145
80	42,2	-36,4
90	25,5	8,25

Pentru găsirea soluției, se reprezintă grafic  $y_1(t_{pc})$  și  $y_2(t_{pc})$ , curbele din figura 48.

Soluția se găsește în apropierea valorii de  $94^{\circ}\text{C}$ .

Pentru găsirea soluției exacte, s-a folosit calculatorul electronic IRIS-50, dind valori din  $0,2$  în  $0,2^{\circ}\text{C}$ , între temperatura de  $92^{\circ}\text{C}$  și  $94^{\circ}\text{C}$ .

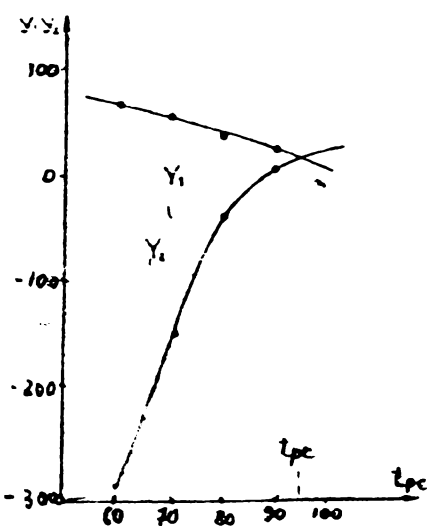


Fig. 48 - Rezolvarea grafică a valorii  $t_{pc}$

Programul după care s-au calculat valorile  $y_1$  și  $y_2$  este dat mai jos :

```
PRINT 82
82 FORMAT (11X,'TPC',7X,'Y1',10X,'Y2')
READ 51, TPC1
51 FORMAT (F6.2)
TPC = TPC1
1 Y1 = 1.12 * (TPC + 100) ** 0.266 * (100.-TPC) ** 0.75
    Y2 = .255 * (TPC-1.12 * (TPC+100) ** 0.266 * (100.-TPC) **
        0.75-56.7) ** 1.688
PRINT 81, TPC, Y1, Y2
81 FORMAT (9X,F6.2, 6X, F7.2, 5X, G14.5)
TPC = TPC + 0.2
IF (TPC>94.)1.1.2
2 STOP
END
```

Datele de calcul sunt prezentate in tabela 19.

Tabela 19

TPC	y <sub>1</sub>	y <sub>2</sub>
92.00	21.57	21.253
92.20	21.17	22.812
92.40	20.77	24.455
92.60	20.36	26.153
92.80	19.96	27.906
93.00	19.54	29.714
93.20	19.13	31.578
93.40	18.71	33.499
93.60	18.29	35.477
93.80	17.86	37.512
94.00	17.43	39.606
94.20	17.00	41.760

Din valorile de mai sus, se ia temperatura  $t_{pc} = 92,10^{\circ}\text{C}$ , pentru care  $y_1$  este aproksimativ egal cu  $y_2$ . Datele obtinute prin calcul automat, mărește mult precizia calculului grafic.

Substituind valoarea  $t_{pc}$  găsită prin calcul, în ecuația lui  $t_{pr}$  scrieră mai înainte, se obține valoarea  $t_{pr} = 71,02^{\circ}\text{C}$ .

Rezistențele termice corespunzătoare, se pot obține din diferențele de temperatură  $\Delta t_c = t_c - t_{pc}$ ;  $\Delta t_p = t_{pc} - t_{pr}$  și  $\Delta t_x = t_{pr} - t_x$ . Înlocuind valorile respective:

$$t_p = 14,32^\circ = 0,550 \text{ fracție de rezistență termică}$$

$$t_p = 21,05^\circ = 0,496 \quad " \quad "$$

$$t_c = 7,9^\circ = 0,182 \quad " \quad "$$

Din datele de mai sus se observă, că valoarea rezistenței termice de partea lichidului în fierbere, este comparativă cu rezistența termică a peretelui. Coeficientul parțial de transfer de căldură la fierbere, se poate obține prin recircularea forțării a lichidului, dar efectul este micșorat datorită rezistenței termice a peretelui, care fără de unii sau două, reprezintă 43,6% din rezistența termică totală.

Concluzia practică este, că orice tip de evaporator funcționează satisfăcător în cazul dat. Nu se micșorează coeficientul parțial de transfer de căldură la condensare, apă cum este <sup>cazul</sup> obligatoriu în practică pentru vaporii care conțin gaze necondensabile, coeficientul total de transfer de căldură al evaporatorului, nu se poate codifica sensibil prin alegerea altui tip de evaporator.

## CAPITOLUL VII

### OBTINEREA IN INSTALATII DE LABORATOR SI PILOT A IMIDOSULFONATULUI DE DIAMONIU. HIDROLIZA PRODUSULUI OBTINUT.

Imidosulfonatul de diaxoniu este componentul principal în produsele de reacție dintre trioxid de sulf și amoniac. Din studiile efectuate de S. Uchida și colaboratorii /56, 73-75/ , se constată că se poate utiliza trioxidul de sulf provenit din scabele de oxidare catalitică, a bicoxidului de sulf (gaze cu conținut de cca 7%  $\text{SO}_3$ ), în reacție cu amoniacul gazos, fără ca acest lucru să dăuneze asupra calității produselor de reacție. Trebuie însă, să se țină seara că valoarea reactanților duce la creșterea conținutului de sulfat de amoniu în produsele de reacție. Gazele cu bicoxid de sulf, înainte de a intra în sobă de oxidare, se purifică și se usucă și deci pot fi utilizate în reacția cu amoniacul. Amoniacul se utilizează în reacție sub formă gazoasă și deci se aduce în recipienți la sursa de trioxid de sulf.

Succintele date din literatură /32, 127/ , privind instalația în care se poate realiza această reacție, recomandă o caseră de reacție înaltă, care să asigure menținerea temperaturii pe la  $170^{\circ}\text{C}$  și să permită evacuarea continuă a produsului de reacție solid. Gazele se introduc separat, prin niște orificii la partea superioară a caserii de reacție.

#### 1.- Incercuri de laborator

Prințale încercări în vederea realizării acestei reacții

le-az efectuat într-o instalație mică de laborator. Aceasta constă dintr-un tub de sticlă cu diametru de 36 mm și înălțimea de 500 mm, așezat vertical (figura 49).

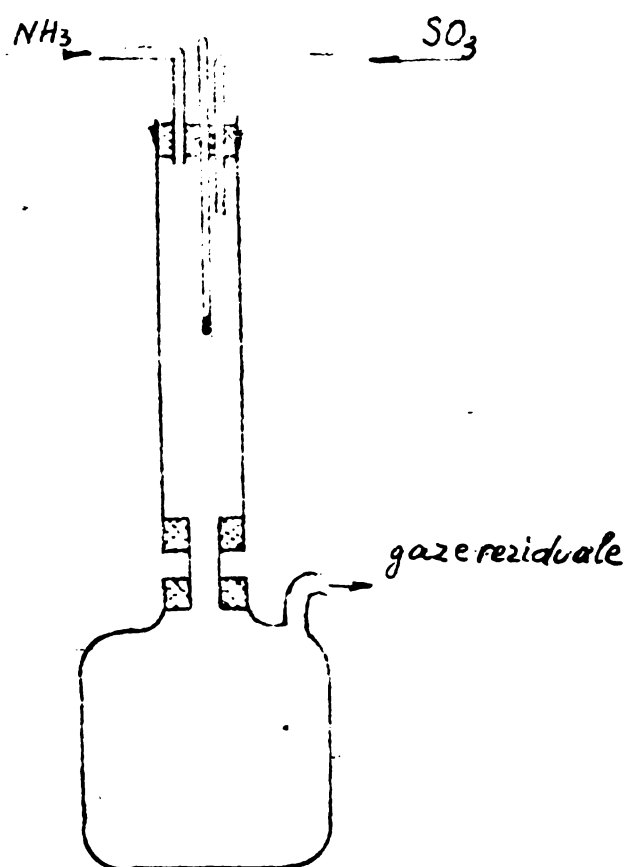


Fig. 49

În partea inferioară a tubului se așază un balon de sticlă cu două șifuri, unul se leagă de cilindru, iar prin al doilea se evacuează gazele reziduale. Cilindrul se închide la partea superioară cu un dop prevăzut cu trei orificii : unul pentru introducerea amoniacului gazos, al doilea pentru introducerea gazului cu trioxid de sulf și al treilea pentru introducerea unui termomетru. Amoniacul se ia dintr-un recipient, iar debitul lui se măsoară cu un flowmetru cu mercur. Gazul cu trioxid de sulf se prepară într-o instalație de laborator, de

oxidare catalitică a bioxidului de sulf. Debitul trioxidului de sulf s-a luat ca produsul între debitul bioxidului de sulf și gradul de conversie (randamentul de oxidare a bioxidului de sulf în sobă a fost de 96%).

Ambale gaze se introduc în cilindrul de reacție la temperatură camerei. Deoarece reacția este favorizată de un exces de amoniac, la pornirea instalației, se deschide întii surse de amoniac și apoi se introduce gazul cu trioxid de sulf. Chiar din primele clipe, cînd cele două gaze se întâlnesc, se formează o ceată densă, din care se depune pe peretele cilindrului și al balonului un praf alb. La o anumită grosime a stratului de praf, acesta se rupe și cade în bucăți, la partea inferioară a instalației. Gazele reziduale se evacuează printr-un tub de cauciuc. După un anumit timp de funcționare a instalației, tubul de evacuarea gazelor reziduale se înfundă cu produsul de reacție. Acest fapt a dus la concluzia, că balonul de 2 l este prea mic ca să poată asigura o micșorare suficientă a vitezei gazelor și deci, pentru a evita antrenarea particulelor din produsul de reacție.

In mod practic, s-a lucrat cu un debit de trioxid de sulf de  $46 \text{ cm}^3/\text{minut}$ , deoarece instalația de laborator pentru oxidarea bioxidului de sulf nu a permis obținerea de debite mai mari. În aceste condiții, temperatura maximă în tubul de reacție nu a depășit  $80^\circ\text{C}$ . Produsul de reacție se prezintă sub formă de pulbere fină, albă, care se aglomerează.

Încercările efectuate în laborator au avut ca scop, urmărirea influenței raportului dintre trioxidul de sulf și amoniac, asupra compoziției produsului de reacție. În

acest scop, am variat raportul între amoniac și trioxid de sulf între 1:1 și 4:1. Gazele reziduale evacuate, în cazul raportului amoniac:trioxid de sulf de 1:1 și 1,5:1, nu conțin amoniac și dău o reacție acidă față de turnesol. Gazele reziduale rezultate, cind raportul dintre amoniac și trioxid de sulf depășește 2:1, sunt puternic alcaline. Soluțiile apoase ale produselor de reacție obținute, dacă raportul amoniac la trioxid de sulf este 1:1 și 1,5:1, au un pH acid, iar cele obținute dacă raportul este 2:1 și mai mare, au pH alcalin.

Rezultatele experimentale sunt prezentate în tabela 20.

Tabela 20

Hr. NH <sub>3</sub> crt. cm <sup>3</sup>	SO <sub>3</sub> cm <sup>3</sup>	Raport NH <sub>3</sub> :SO <sub>3</sub>	Report NH <sub>3</sub> (NH <sub>4</sub> ) <sub>2</sub> SO <sub>4</sub> %	NH <sub>4</sub> SO <sub>3</sub> NH <sub>2</sub> %	(NH <sub>4</sub> ) <sub>2</sub> SO <sub>4</sub> %	NH <sub>3</sub> liber %
1. 46	46	1:1	20,1	16,4	62,5	-
2. 70	46	1,5:1	89,9	-	10,0	-
3. 95	46	2:1	98,2	-	10,1	0,8
4. 140	46	3:1	80,4	5,7	17,0	1,2
5. 190	46	4:1	74,8	6,4	12,0	5,3

Din datele prezentate în tabelă, se observă, că raportul optic între amoniac și trioxid de sulf este 1,5:1 și 2:1. Rapoarte mai mari între amoniac și trioxid de sulf, nu duc la cărarea rădăcințelui în producție de reacție, ci duc la o pierdere nejustificată de amoniac, care se evacuează împreună cu gazele reziduale.

## 2.- Instalatii pilote

In vederea studierii conditiilor de reacție cu un debit mai mare de gaze, s-a folosit instalatia prezentata in figura 50.

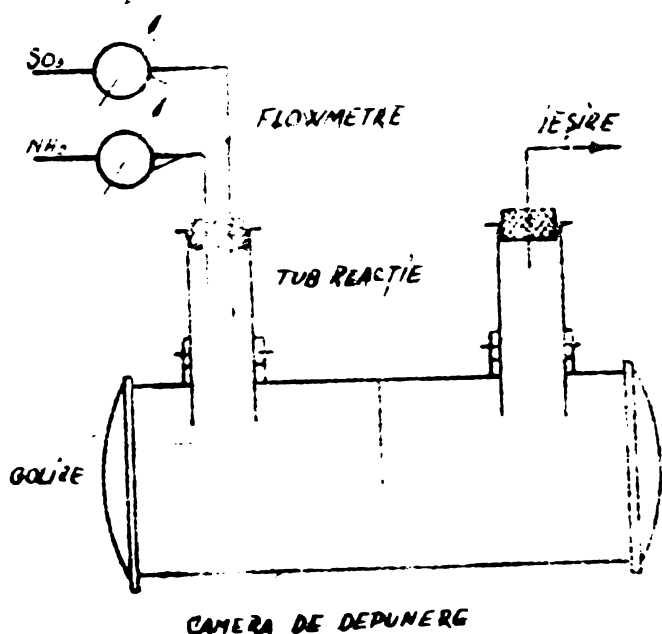


Fig. 50

Instalatia constă din două tuburi de sticlă cu diametrul de 60 mm și lungimea de 500 mm, montate într-un cilindru orizontal din oțel, cu diametrul de 200 mm și lungimea de 400 mm. Cilindrul este compartimentat cu un perete nicană, între tuburile de sticlă. Pe la partea superioară a uneia dintre cilindrii, se introduc gazele care urmează să reacționeze, cu precauția ca tubul ce aduce trioxidul de sulf să pătrundă mai adânc prin dopul care închide cilindrul. Prin dopul celui de-al doilea cilindru de sticlă se scoad gazele

residuale. Debitul de gază reziduală s-a măsurat cu flowmetru. Amoniacul s-a lovit dintr-un recipient, iar trioxidul de sulf dintr-o instalație industrială de oxidare a bioxidelui de sulf. Temperatura s-a înregistrat cu un termometru așezat în dopul cilindrului de reacție.

Temperatura din timpul reacției nu a depășit  $120^{\circ}\text{C}$ . S-a lucrat cu un debit de  $300 - 400 \text{ cm}^3/\text{minut}$  de amoniac și  $150 - 200 \text{ cm}^3/\text{minut}$  de trioxid de sulf, deci la raportul  $\text{NH}_3:\text{SO}_3 = 2:1$ . În timpul reacției s-au întâmpinat dificultăți la menținerea constantă a debitului gazelor, din cauza infundării repetitive a tubului, prin care s-au introdus gazele cu trioxid de sulf. În ce privește evacuarea gazelor reziduale, aceasta s-a făcut fără nici o dificultate. Datorită că cilindrul de oțel a avut dimensiuni mult mai mari și a fost prevăzut cu o gicană, ne-a asigurat că gazele reziduale să nu enteneze aproape nimic din producțul de reacție.

Compoziția medie a produselor de reacție este următoarea :

$\text{HN}(\text{SO}_3\text{NH}_4)_2$	= 62,00 %
$(\text{NH}_4)_2\text{SO}_4$	= 32,50 %
$\text{NH}_4\text{SO}_3\text{NH}_2$	= 2,20 %
$\text{NH}_3$ liber	= 2,10 %

Se observă o scădere simțitoare a conținutului de imidosulfonat de diazoniu în produsele de reacție. Conținutul relativ scăzut în imidosulfonat de diazoniu al produselor de reacție, se datoră unei umidități prea mari care a existat în gaze.

Aceste încercări le-am efectuat la "Combinatul Chemic

"Victoria", unde instalația de acid sulfuric este destul de veche și nu a putut asigura o uscare satisfăcătoare a gazelor de bioxid de sulf.

Cu o altă instalație pilot am efectuat încercări la "Fabrica de Detergenți" din Timișoara. În această fabrică există o instalație industrială, mică, de oxidare catalitică a binoxidului de sulf. Aceasta provine din arderea sulfului elementar, aerul de ardere al saflului, precum și cel de diluare a gazelor sulfuroase, înainte de intrare în sobă de oxidare, este uscat într-o instalație de răcire și apoi una de absorbție pe silicagel, care asigură o umiditate reziduală ce corespunde unui punct de rouă de  $-50^{\circ}\text{C}$ . Amoniacul s-a luat dintr-un recipient.

Instalația pilot de la Fabrica Detergenți este schițată în figura 51 și 52.

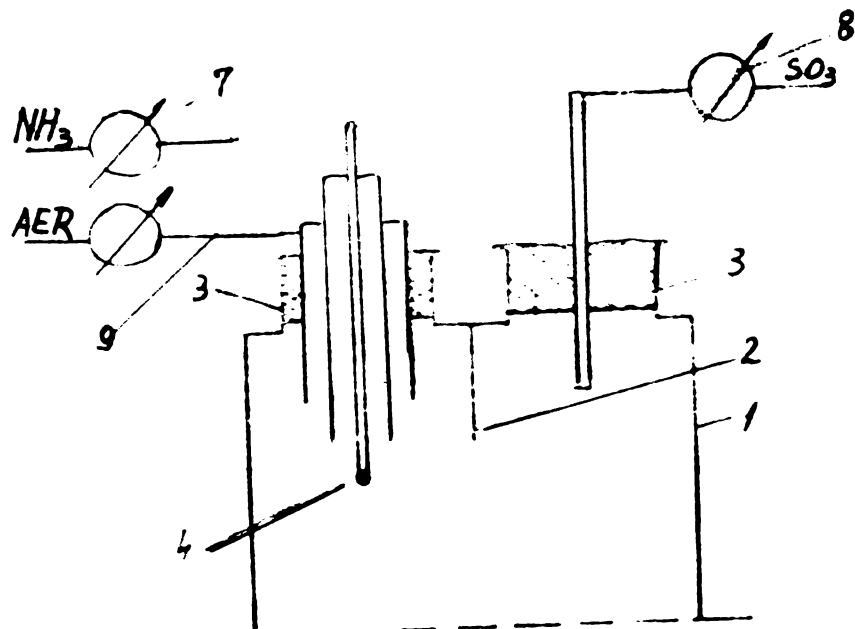
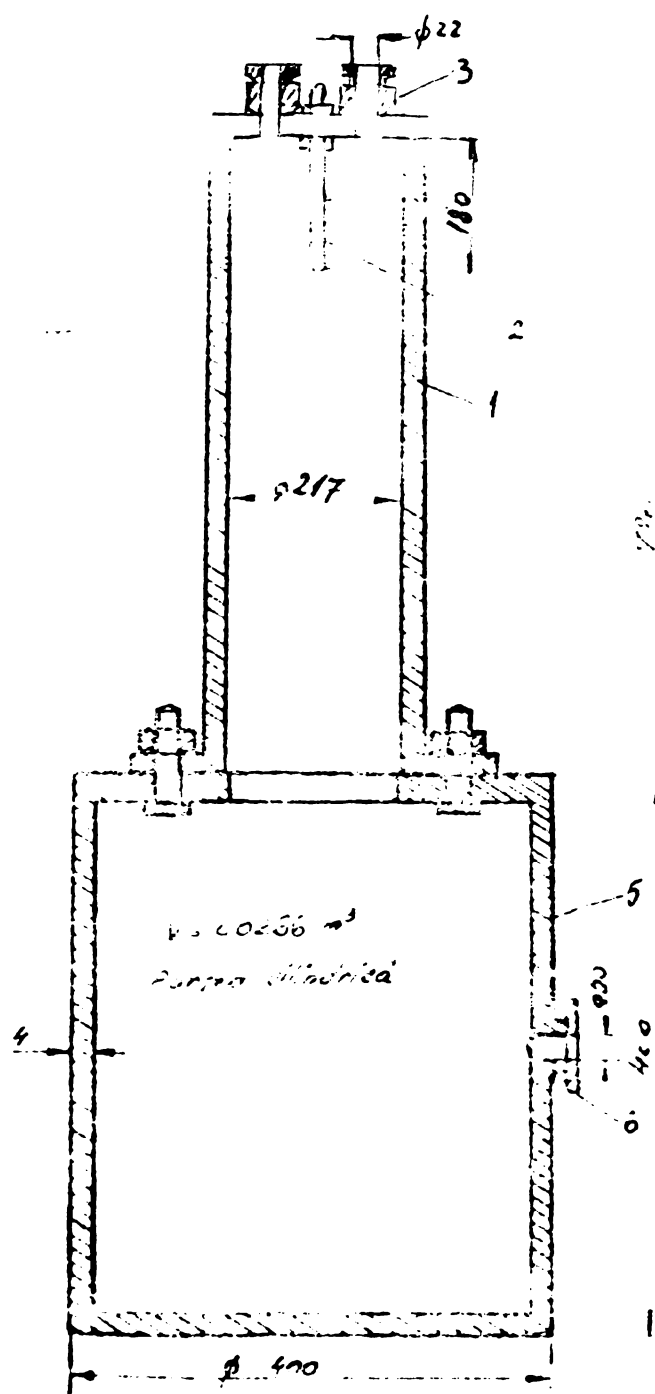


Fig. 51



INSTITUTUL POLITEHNIC  
TIMIȘOARA  
BIBLIOTECĂ CENTRALĂ

Fig. 52

Ea constă dintr-un cilindru de oțel 1 cu diametrul de 217 mm și lungimea de 720 mm. Cilindrul este prevăzut la partea superioară cu un perete despărțitor 2, care să impiedice gazele să reacționeze imediat ce se infiltrează. Prin orificiile 3 se introduc în camera de reacție oale două gaze. Cite un termo-

element 4, care se poate deplasa în sus și în jos, măsoară temperatura de reacție. La partea inferioară a camerei de reacție 1, este montată etanș o cană de depunere a produsului de reacție și de linștire a gazelor reziduale 5, confecționată tot din oțel, cu diametrul de 400 mm și înălțimea de 400 mm. Debitul de amoniac s-a măsurat cu flowmetrul cu mercur 7, debitul de trioxid de sulf s-a măsurat cu un flowmetru cu ulei de parafină 8. Deoarece trioxidul de sulf reacționează cu uleiul de parafină, acesta a fost înlocuit la fiecare incercare și flowmetrul a fost din nou etalonat cu un rotametru de aer. Conținutul de trioxid de sulf în gaze fiind de 7%, se poate aprecia că acesta nu schimbă prea mult proprietățile reologice ale aerului și deci valurile citite la flowmetru nu sunt afectate de erori prea mari. Gazele reziduale se evacuează prin orificiul 6.

Încercările efectuate pe această instalație au urmărit să stabilească randamentele de reacție, productivitatea camerei de reacție, distribuirea temperaturii de-a lungul camerei de reacție, posibilitățile de captare totală a produselor de reacție solide, influența unui curent de aer suplimentar asupra temperaturii de reacție și a compoziției produselor de reacție.

Deoarece, în această instalație există posibilitatea să se lucreze cu debite mai mari de gaze, pentru a se preveni o ridicare prea mare a temperaturii în camera de reacție, s-a asigurat un curent de aer suplimentar prin orificiul de introducere al amoniacului. Curentul de aer suplimentar a micșorat într-adevăr temperatura de reacție, dar

a provocat o antrenare mai accentuată a produselor de reacție de către gazele reziduale, o influență asupra compozitiei produselor de reacție nu s-a observat. Resultatele experimentale se dau în tabela 21.

Tabela 21

Debit NH <sub>3</sub> l/h	Debit SO <sub>3</sub> l/h	Debit Aer l/h	Compoziția produselor de reacție	Temp. °C			
			H <sub>2</sub> (SO <sub>3</sub> NH <sub>4</sub> ) <sub>2</sub>	(NH <sub>4</sub> ) <sub>2</sub> SO <sub>4</sub>	NH <sub>4</sub> SO <sub>3</sub> NH <sub>2</sub>	NH <sub>3</sub> maximă	
			%				
72	36	-	80,3	10,2	8	1,5	140
72	36	10	81,4	12,4	5,3	1,40	125
96	48	-	89,40	6,2	2,3	0,9	150
96	48	10	83,60	10,0	-	1,0	155

La acest debit de gaze la care s-a lucrat, instalația asigură o temperatură pentru care randamentele de reacție sunt optime. Adăugul de aer duce la o scădere mică a temperaturii.

Temperatura nu este uniformă pe toată lungimea camerei de reacție. Astfel, luând capacul vasului de reacție ca nivel 0, temperatura de-a lungul camerei variază astfel :

la 5 cm în jos temperatura este 50°C

" 10 cm " " 140°C

" 15 cm " " 130°C

" 20 cm " " 100°C

" 25 cm " " 70°C

Dacă lungimea peretelui șicană din camera de reacție este de 18 cm, totuși temperatura maximă se atinge la

distanță de 10 - 15 cm. Urmează că reacția are loc chiar la întâlnirea celor două gaze, iar restul camerei de reacție servește numai pentru răcirea lor și a produsului de reacție. Deci, în cazul unei camere industriale de reacție, este necesar să se introducă un sistem de răcire în această zonă.

Produsul de reacție solid se depune în zeci de măsurări pe peretele camerei de reacție, ca o mai mare parte să adună pe fundul vasului de depunere. Prin orificiul lateral de evacuare a gazelor reziduale, se îndepărtează gazele inerte, împreună cu excesul de amoniac, care antrenează o cantitate mai mică sau mai mare din produsele de reacție. Astfel, în cazul cînd se lucrează fără aer suplimentar, cantitatea antrenată reprezintă circa 10% din totalul produselor de reacție, iar în cazul cînd se introduce aer suplimentar, cantitatea antrenată este de circa 17%. Concluzia este, că volumul camerei de depunere nu este suficient pentru a asigura o micșorare corespunzătoare a vitezei gazelor reziduale.

Dacă se consideră că reacția are loc numai în camera cilindrică I, din cantitatea de produse obținute se poate calcula, într-un anumit interval de timp, productivitatea acesteia.

În cazul cînd se lucrează cu un debit de trioxid de sulf de 48 l/h și amoniac 96 l/h, productivitatea camerei de reacție este de 6,2  $m^3/m^3 \cdot h$ .

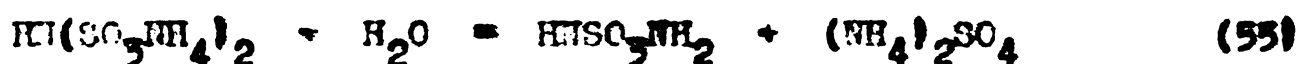
Din datele experimentale obținute pe această instalație pilot, se deduc următoarele :

- Adăugul de aer în gazele de reacție, micșorează putin temperatura de reacție, în schimb mărește cantitatea de produse de reacție solide ce se antrenează cu gazele reziduale.

- In cazul debitelor mai mari de gaze de reacție, probabil, acest adăos de aer suplimentar nu reduce suficient temperatura în camera de reacție. Din această cauză, reactorul trebuie prevăzut cu un sistem de răcire care să se instaleze în partea superioară a acestuia.

### 3.- Hidroliza produselor de reacție

Produsele de reacție dintre trioxid de sulf și amoniac conțin, după cum se știe, în cea mai mare parte, imidosulfonat de diazoniu. Obținerea acidului sulfamic din aceste produse se face prin hidroliză acidă, proces ce are loc după reacția :



După cum se observă, dintr-un mol de imidosulfonat de diazoniu rezultă un mol de acid sulfamic și un mol de sulfat de amoniu. Deci, randamentul teoretic în acid sulfamic, rezultat în urma hidrolizei acide a imidosulfonatului de diazoniu, este de 45,9%. Randamentul în acid sulfamic obținut prin hidroliză produselor de reacție dintre trioxid de sulf și amoniac, în mod practic este mai mic, pe de o parte datorită conținutului mai redus de imidosulfonat de diazoniu în aceste produse (70 - 80%) și pe de altă parte, dificultății de a-l separa integral din anestecul rezultat.

Încercările pe care le-am întreprins în laborator, au avut în vedere stabilirea celei mai avantajoase metode de hidroliză, atât în ce privește randamentul de hidroliză și separare a acidului sulfamic, cît și a consumului de acizi necesar acestei operații.

După cum s-a arătat, /56,80,89,90/, hidroliza produselor de reacție dintre trioxidul de sulf și amoniac, are loc

fie în prezență acidului sulfuric concentrat, care să asigure o concentrație finală în acest ecoul hidrolizat, de cel puțin 70%  $H_2SO_4$ , concentrație necesară cristalizării integrale a acidului sulfamic. Hidroliza cu acid sulfamic utilizează soluții apoase, saturate. În ambele cazuri, operația de hidroliză se realizează la temperatură de  $60 - 70^{\circ}C$ , la o temperatură cei ridicată sporește pericolul hidrolizei acidului sulfamic înșigă.

Încercările de hidroliză le-am efectuat pe un produs ce conțineea în medie 62%  $HSO_3NH_4)_2$  și 32%  $(NH_4)_2SO_4$ .

### 3.a.- Hidroliza cu acid sulfuric concentrat .

La o soluție apoasă, saturată, a produselor de reacție dintre trioxid de sulf și amoniac, se adaugă treptat și sub continuă agitare și răcire, acid sulfuric concentrat. Cantitatea de acid sulfuric se ia astfel, ca în acestecul final concentrația lui să atingă 70%. De exemplu : 100 g produse de reacție se dizolvă în  $120\text{ cm}^3$  apă la temperatură de  $70^{\circ}C$ . La soluția obținută se adaugă  $200\text{ cm}^3$  acid sulfuric concentrat. După adăugarea întregii cantități de acid sulfuric, masa de reacție se răcește, cristalele mari de acid sulfamic se filtrează cu ușurință printr-o pîlnie cu placă poroasă ( $G_1$ ). Din această cantitate de produse de reacție rezultă cca 30 g acid sulfamic brut, ce conține 74%  $HSO_3NH_2$ . Rendimentul de hidroliză și separare a acidului sulfamic este de 73%. Soluția menită constă din acid sulfuric de 70% în care rămâne dizolvat sulfatul de amoniu existent în produsele de reacție și cel ce s-a format prin hidroliză. Această soluție poate fi valo-

rificată prin transformarea ei în sulfat de amoniu. Cu această calitate de produs de reacție, dintre trioxid de sulf și amoniac, rezultă la 1 kg de acid sulfamic, circa 15 kg de sulfat de amoniu ca produs secundar.

### 3.b.- Hidroliza cu acid sulfuric de 70%

Hidroliza cu acid sulfuric de 70% a decurs în felul următor: în acidul sulfuric încălzit la  $70^{\circ}\text{C}$ , se introduc treptat și sub continuă agitare, produsele de reacție. De exemplu: în  $250 \text{ cm}^3$  acid sulfuric de 70% se introduc 100 g produse de reacție. După răcirea casei reacționate, cristalele se filtrează cu greu pe o pălnie cu pâlcană poroasă ( $G_3$ ). Se obține un terci de cristale, care conține circa 55%  $\text{HSO}_3\text{NH}_2$  și 40%  $\text{H}_2\text{SO}_4$ . Răndamentul total de hidroliză și separare a acidului sulfamic este de 70%. Cantitatea scosă de acid sulfuric, este cantitatea minimă necesară pentru ca sulfatul de amoniu care se formează, să răcine integral în soluție. Această soluție se poate recupera tot ca sulfat de amoniu. În acest caz, pentru 1 kg acid sulfamic curat obținut, rezultă circa 12 kg de sulfat de amoniu, ca produs secundar.

### 3.c.- Hidroliza produselor de reacție cu acid sulfuric și separarea acidului sulfamic ca sare dublă

Datele mai recente din literatură /8/ arată că hidroliza produselor de reacție, dintre trioxid de sulf și amoniac, se poate realiza în o soluție de sulfat de amoniu în acid sulfuric. Acest lucru urmărește, în primul rînd, reducerea consumului de acid sulfuric, deci micșorarea cantității de sulfat de amoniu care apare ca produs secundar și în al doilea rînd, facilitarea operației de filtrare a cristalelor de acid

sulfanic. În aceste condiții, se poate cristaliza o sare dublă,  $\text{HSO}_3\text{NH}_2 \cdot (\text{NH}_4)_2\text{SO}_4$ , sau un amestec de cristale, format din acid sulfanic și triaconiu bisulfat  $3(\text{NH}_4)_2\text{SO}_4 \cdot \text{H}_2\text{SO}_4$  ușor filtrabile. Acidul sulfanic, atât din sareea dublă, cât și din amestecul de cristale, se poate separa prin tratare cu acid sulfuric 40%, în care se dizolvă sulfatul de aconiin sau triaconiu bisulfatul.

Plecind de la aceste date, în laborator am căutat să stabilesc cantitatea minima de acid sulfuric și sulfat de aconiin, pentru a avea un răndament maxim de hidroliză și separare. Astfel, într-o cantitate de acid sulfuric de 70%, am dizolvat la cald, cantități diferite de sulfat de aconiin și în soluția obținută am introdus treptat produsele de reacție dintre trioxid de sulf și aconiac. Amestecul de reacție s-a răcit și cristalele nu totdeauna mari și uniforme, s-au filtrat pe o pîlnie cu placă poroasă. Compoziția acestor cristale în medie a fost : 40%  $\text{HSO}_3\text{NH}_2$  și 50%  $(\text{NH}_4)_2\text{SO}_4$ . Aceste cristale se tratează cu acid sulfuric 40% la rece, în care sulfatul de aconiin se dizolvă. Acidul sulfanic rămas nedizolvat, se filtrează și se spală cu soluție saturată de acid sulfanic. Resultatele experimentale sunt prezentate în tabela 22.

Din datele prezentate în tabelă se constată că prin acest procedeu se obțin răndamente de hidroliză și separare a acidului sulfanic sără, cind se utilizează pentru 50 g produse de reacție supuse hidrolizei, între 50 și 100  $\text{cm}^3$  acid sulfuric de 70%, la care se adaugă între 4 și 10 g sulfat de aconiin. Soluția macă, rezultată la filtrare, se poate recupera, rezultând la 1 kg acid sulfanic 7 - 8 kg

de sulfat de amoniu ca produs secundar.

Descompunerea sării suble, precum și a anestecului de cristale, se poate face și cu o soluție apoasă, saturată, de acid sulfamic. În acest caz însă, se pierde o parte din acidul sulfamic cu soluția mară, care conține cantități mari de sulfat de amoniu.

Tabela 22

Substanță supusă hidrolizei, g	Acid sulfuric 70%, cm <sup>3</sup>	Sulfat de amoniu adăugat, g	Rendament	Puritate,
			în acid sulfamic, %	%
50	100	30	84	96
50	100	20	85	96
50	100	10	87	92
50	75	6,5	90	94,7
50	50	4	94	94,6

### 3.d.- Hidroliza cu soluții saturate de acid sulfamic

Hidroliza produselor de reacție dintre trioxid de sulf și amoniac cu soluții de acid sulfamic, decurge în felul următor : în soluția apoasă, saturată de acid sulfamic, încălzită la 70°C, se introduce treptat și sub continuă agitare, o cantitate de produse de reacție. Se menține circa o oră sub agitare și încălzire și apoi massa reacționată se răcește. În unele cazuri, pentru apariția cristalelor, a fost necesară o ridicare sub temperatură camerei. În general, s-au obținut anestecuri de cristale neuniforme, care s-au filtrat cu greu

prin pfinie cu placă poroasă ( $G_4$ ). Conținutul în acid sulfamic al cristalelor a variat între 35% și 55%. Rezultatele experimentale sunt prezentate în tabela 23.

Tabela 23

Producă de reacție supuse hidrolizei, g	Soluție saturată de acid sulfamic cm <sup>3</sup>	Rendament de hidro- liză și separare, %
50	50	60
85	60	72
100	70	65
80	100	36

Din aceste date se constată, că hidroliza produselor de reacție dintre trioxid de sulf și amoniac, cu soluții saturate de acid sulfamic, nu este avantajoasă nici sub aspectul rendementului de hidroliză și separare a acristalelor de acid sulfamic și nici a calității cristalelor. Deși metoda aceasta este indicată în literatură, ea nu este avantajoasă pentru obținerea acidului sulfamic.

In concluzie, cea mai bună metodă de hidroliză a produselor de reacție dintre trioxid de sulf și amoniac, în vederea obținerii acidului sulfamic, este metoda hidrolizei cu acid sulfuric de 70% și separarea în primă fază a acidului sulfamic ca sare dublă  $\text{HSO}_3\text{NH}_2 \cdot (\text{NH}_4)_2\text{SO}_4$ , sau un anestec de cristale de  $\text{HSO}_3\text{NH}_2$  și  $3(\text{NH}_4)_2\text{SO}_4 \cdot \text{H}_2\text{SO}_4$ . Această metodă are avantajul unui consum mai redus de acid sulfuric, rândamente mari de hidroliză și separare a acidului sulfamic. Dezavantajul metodei este, că necesită multe operații, care presupun o instalație

industrială mai complexă și deci mai scumpă.

Metoda cea mai cunoscută de obținere a acidului sulfanic la scară industrială, este din uree și oleum, deoarece necesită o instalație mai simplă și nu rezultă multe deșeuri de fabricație (la 1 kg acid sulfanic, rezultă circa 1,5 kg sulfat de amoniu).

## C O S C L J Z I I

1.- În cadrul prezentei lucrări am efectuat o sistematizare a datelor de literatură, privind proprietățile fizice și chimice, analiza, metodele de obținere în scără industrială și utilizările acidului sulfanic și a sulfamantului de anionă.

2.- Am stabilit condițiile optime de obținere în laborator a acidului sulfanic din uree și oleum, ce conține 50%  $\text{SO}_3$  liber. Aceste condiții sunt : raportul molar uree:oleum să fie 1:2, temperatura să se mențină între  $70 - 80^\circ\text{C}$ . Temperaturi mai ridicate măresc viteza de descompunere a ureei, dar nu și răndamentul în acid sulfanic.

3.- Am studiat posibilitățile de purificare a soluțiilor apăcase de acid sulfanic ce conțin și acid sulfuric, cu ajutorul schimbătorilor de ioni (anioniți). Dintre schimbătorii de ioni încercăți, rezultate bune au dat Amberlit IR 4 B, Amberlit IR 45, Lewatit MN, anioniți slab bazici. În acest cas, este vorba de o chromatografie prin deplasare, efluental utilizat pentru deslocuirea acidului sulfanic este chiar soluția ce conține cei doi acizi. În acest mod se pot obține soluții ce conțin circa 100 g/l acid sulfanic, lipsite de acid sulfuric.

4.- Am efectuat determinări privind obținerea acidului sulfanic pur. Acidul sulfanic cu o puritate de 99,9% l-am obținut prin recristalizare din apă distilată, ca recircularea soluției neață a unui produs tehnic obținut din uree și oleum.

5.- Am incercat două metode mai rapide de analiză a acidului sulfanic în anestec cu acid sulfuric. Astfel, am experimentat o metodă de titrare conductometrică cu soluție de clorură de bariu și alta cu complexon tetrasodat. Ambele metode sunt expeditive și dă rezultate satisfăcătoare.

6.- Am determinat solubilitatea sulfamatului de amoniu în soluții apoase de etanol la 25 și 40°C. Pe baza datelor de solubilitate, am construit diagrama ternară de solubilitate. În cazul sistemului  $\text{NH}_4\text{SO}_3\text{NH}_2 - \text{C}_2\text{H}_5\text{OH} - \text{H}_2\text{O}$ , se constată că într-un anumit domeniu de concentrație, se formează două faze lichide, în echilibru. Aceasta face ca diagrama de solubilitate să fie formată din mai multe domenii. Echilibrul dintre fazele unui domeniu, în cazul cind presiunea și temperatura au valori fixe, conform legii fazelor, este monovariant pentru domeniile L+S și 2L, depinde de compoziție și este invariant, deci nu depinde de compoziție pentru domeniul 2L+S. Solubilitatea sulfamatului de amoniu în etanol curat este foarte mică : la 25°C soluția saturată conține 0,16%  $\text{NH}_4\text{SO}_3\text{NH}_2$  și la 40°C soluția saturată conține 0,24%  $\text{NH}_4\text{SO}_3\text{NH}_2$ . Din această diagramă am calculat randamentele de cristalizare a sulfamatului de amoniu, precum și consumul economic de etanol, pentru atingerea unui randament cît mai mare de cristalizare a sulfamatului de amoniu. Adăugând etanol la soluții saturate de sulfamat de amoniu, fără evaporare, se pot obține cristale de sulfamat de amoniu cu randamente foarte mari. În continuare, am determinat solubilitatea imidosulfonatului de diazoniu în soluții apoase de etanol și a acidului sulfanic în soluții apoase de etanol. În aceste cazuri, nu se formează straturi

cu soluții nemiscibile, și doar soluții saturate ce conțin cele trei componente în prezența cristalelor de imidosulfonat de diaconiu sau de acid sulfamic.

7.- Am determinat experimental coeficientul parțial de transfer de căldură,  $\alpha$ , la fierberea soluțiilor apăase, de diferite concentrații de sulfat de amoniu, de sulfat de amoniu și anestecul lor. Coeficientul de transfer de căldură,  $\alpha$ , la fierberea soluțiilor de sulfat de amoniu, în funcție de concentrația și diferența de temperatură  $\Delta t$ , între peretele încălzitor și temperatura soluției care fierbe, are următoarea :

$$\alpha = 5,92 \cdot 10^4 \cdot c^{-1,025} \cdot \Delta t^{-0,633}$$

în domeniul de concentrație 30 - 67%  $(\text{NH}_4)_2\text{SO}_4 \cdot \text{H}_2\text{O}$ .

Coeficientul de transfer de căldură,  $\alpha$ , la fierberea soluțiilor de sulfat de amoniu, în funcție de concentrația și diferența de temperatură  $\Delta t$ , între temperatura peretelui încălzitor și temperatura de fierbere a soluției este :

$$\alpha = 1,96 \cdot 10^4 \cdot c^{0,81} \cdot \Delta t^{0,72}$$

pentru soluții ce conțin între 20 - 40%  $(\text{NH}_4)_2\text{SO}_4$ .

Coeficientul de transfer de căldură,  $\alpha$ , la fierberea soluțiilor de diferite concentrații, ce conțin sulfat de amoniu și sulfat de amoniu, în raport 1:1, este o cărare aditivă, în limita erorilor experimentale.

8.- Am determinat experimental, temperatura de fierbere a soluțiilor de sulfat și sulfat de amoniu, de diferite concentrații și la diferite precizii. Într-un soluție de sulfat de amoniu am calculat la un calculator electronic

IRIS-50 căldura de vaporizare a apăi, pentru diferite intervale de presiune și temperatură, utilizând relațiile cunoscute din termodinamici.

9.- Pentru soluțiile de sulfat de amoniu se obțin ecuațiile de dependență între temperatură de fierbere și concentrație la presiunea de 100 mm Hg. Ecuațiile obținute sunt :

$$t_g = 48,5 \cdot C^{0,0433}$$

pentru soluții ce conțin între 0 - 51,5% sulfat de amoniu și

$$t_g = 7,85 \cdot C^{0,5}$$

pentru soluții ce conțin 52,5 - 67% sulfat de amoniu.

Pe baza acestor relații și a relației de calcul a cantității de căldură transferată de la vaporii ce condensează la soluția ce fierbe, se calculă rezistența termică de partea peretelui unde are loc condensarea vaporilor, rezistența termică a peretelui înotăzitor și rezistența termică a soluției care fierbe. Pentru calculul rezistenței termice a întregului sistem de vaporizare, se consideră un regim stacionar de vaporizare, cind cantitatele de căldură  $Q_c$  (căldura de condensare a vaporilor de apă ce înotăzesc peretele),  $Q_p$  (căldura transmisă prin perete) și  $Q_g$  (căldura necesară fierberii), sunt egale. Căderea temperaturii peretelui de partea condensării -  $t_{pc}$  - pentru un caz concret, se efectuează pe cale grafică și pentru o rai mare exactitate, prin calcul la un calculator electronic. Cu această valoare a temperaturii peretelui de partea condensării,  $t_{pc}$ , se calculă în continuare, temperatura peretelui de partea fierberii,  $t_{pf}$ . Rezistențele termice se obținut din diferențe de temperatură.

Diferența de temperatură între temperatura condensatului  $t_c$  și a peretelui de partea condensării  $t_{pc}$  este :

$$\Delta t_c = t_c - t_{pc}$$

Diferența de temperatură între temperatura peretelui de partea condensării  $t_{pc}$  și a peretelui de partea fierberii  $t_{pf}$  este :

$$\Delta t_p = t_{pc} - t_{pf}$$

Diferența de temperatură între temperatura peretelui de partea fierberii  $t_{pf}$  și temperatura soluției care fierbe  $t_f$  este :

$$\Delta t_f = t_{pf} - t_f$$

Resistența termică opusă de soluția ce fierbe, reprezintă 33%, rezistența peretelui încălzitor 48,6% și rezistența termică opusă de condensarea vaporilor ce încălzeșc peretele este de 18,2%.

Concluzia practică a acestui calcul este, că se poate alege orice tip de evaporator pentru evaporarea soluțiilor de sulfat de amoniu, deoarece rezistența termică a peretelui încălzitor reprezintă aproape completă din rezistența termică a sistemului.

10.- Am încercat în laborator și în instalații pilot, să obțină iodiculfonat de diaxoniu din trioxid de sulf și amoniac. Lucrările au arătat că se pot obține produse de reacție cu un conținut ridicat de iodiculfonat de diaxoniu (pînă la 90%), dacă se increiază cu un raport amoniac:trioxid de sulf de 2:1, dacă se menține temperatura la  $130-150^{\circ}\text{C}$  și dacă gazele sunt bine uscate. Am mai constatat, de asemenea, că temperatura

cea mai ridicată se află în partea superioară a canerei de reacție, acolo unde se întâlnesc cele două gaze. Din această cauză, canera de reacție trebuie prevăzută cu un sistem de sticire, amplasat chiar în această zonă.

II.- În încercările efectuate în laborator asupra hidrolizei produselor de reacție, între amoniac și trioxid de sulf, în vederea obținerii acidului sulfamic, au constatat că cea mai simplă metodă este tratarea unei soluții saturate a acestor produse cu acid sulfuric concentrat. Cea mai economică metodă însă, este hidroliza acestor produse cu acid sulfuric de 70%, în care se eliberează dizolvat sulfat de amoniu, astfel ca să se asigure separarea acidului sulfamic, fie ca sare dublă  $\text{H}_3\text{SO}_3\text{NH}_2 \cdot (\text{NH}_4)_2\text{SO}_4$ , fie ca anestec de cristale de acid sulfamic și triamoniu hidrosulfat  $\text{H}_3\text{SO}_3\text{NH}_2 \text{ și } 3(\text{NH}_4)_2\text{SO}_4 \cdot \text{H}_2\text{SO}_4$ ; aceste cristale se filtrează ușor. Metoda aceasta, deși comportă mai multe faze, are avantajul de a consuma mai puțin acid sulfuric și, în urmă, cantitatea de deșeu este mai mică. Metoda de hidroliză a produselor de reacție cu soluții saturate de acid sulfamic, în acest caz, nu se poate aplica.

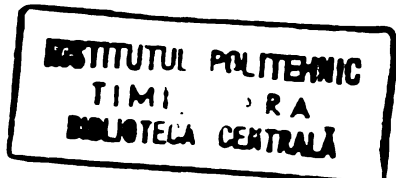
Din punct de vedere al complexității procesului de fabricare și a cantității de deșeuri ce apar, cea mai avantajoasă metodă de obținere a acidului sulfamic este din uree și oleum.-

## B I B L I O G R A F I E

- 1.- V. Capestan ; Annales de Chemie, 5, 207 (1960).
- 2.- H. Patroni; L'Industrie Chimique, Le phosphate, 42, 237 (1955).
- 3.- L.P. Bicelli; Proceedings of the Symposium on sulfamic acid, Milan, May 1966.
- 4.- J.T.A. Hallor; A Comprehensive treatise on Inorganic and Theoretical Chemistry, London, Longmans Green and Co, 1953, vol. VIII, p. 637.
- 5.- J.S. Ricci, B. Seliskar ; J. Am. Chem. Soc., 69, 995 (1947).
- 6.- P.A. Kanda, A.J. King; J. Am. Chem. Soc., 73, 2315 (1951).
- 7.- H.L. Saylor, M. Jesette Butler, L.P. Audrieth ; Inorganic Syntheses, Mc Graw-Hill, N.Y., London, 1946, vol. 2, p. 176.
- 8.- K. Sasaki, T. Yokotake; Govt. Chem. Ind. Res. Inst. Tokyo, 61, 8, 309 (1966).
- 9.- P. Baumgarten ; Ber., 62, 826 (1929).
- 10.- T. Dapuis ; Compt. rend., 243, 1621 (1956).
- 11.- G.A. Jeffrey, A.J. Stadler; J. Chem. Soc., 1467 (1951).
- 12.- L.H. Cupery; Ind. Eng. Chem., vol. 30, nr. 6, 627 (1938).
- 13.- R.C. Taylor, R.P. Desch, A.J. Catotti; J. Am. Chem. Soc., 73, 74 (1951).
- 14.- A. Seidell, W.F. Linke; Solubilities of Inorganic and Organic compounds, Supplement to the 3rd, Ed. N.Y., D. Van Nostrand Co., 1952, p. 235.
- 15.- K. Sasaki, S. Ichida; Govt. Chem. Ind. Res. Inst. Tokyo, 61, 2, 49 (1966).
- 16.- L. Butler, L.P. Audrieth; J. Am. Chem. Soc., vol. 61, 924, (1939).

- 17.- I. Ito; Kogyo Kagaku Zasshi, 72 (8), 1866 (1969); C.A. 72, 16121 (1970).
- 18.- R. Pindotelli, B. Rivolta, H. Lazzari, A. La Vecchia; Rend. Ist. Lombardo Sci. Lett. A. 98, 372 (1964); C.A. 63, 7901 c (1965).
- 19.- R.U. Tabor; U.S. 3, 360, 445 (Cl 204-31) May 1967; C.A. 68, 74660 x (1968).
- 20.- I.S. Kartikad, U. Handady; Metal Finishing, 68 (5), 41 (1970); C.A. 73, 51480 w (1970).
- 21.- R. Pinetelli, L. Biocelli; Rend. Ist. Lombardo Sci. Lett. A 98, 454 (1964); C.A. 67, 39457 n (1967).
- 22.- G. Serrevalle; Symp. sulfamic acid fits Electromet. Appl., Milan, 1966, p. 63; C.A. 68, 65103 j (1968).
- 23.- V. Kaikaris, G. Racinekis; List TSR Aukst. Mokykla Nekalo Darb. Chem. Technol.; 10, 119 (1969); C.A. 73, 10053 j (1970).
- 24.- R. Pinetelli, B. Nenna, P. Pedaferrri; Elettrochim. Metal., 2, (2), 141 (1967); C.A. 68, 104574 q (1968).
- 25.- R. Herrmann, U.S. 3, 372, 170 (Cl 260-3721 May 1968; C.A. 69, 44568 v (1968).
- 26.- R. Grinner, O. Koer; Ber (Buns) 51853 (Cl 007 b) Nov. 1966; C.A. 66, 65097 u (1967).
- 27.- V.S. Varlamov, G.I. Oyatova, I.R. Shirovskaja; Tr. Vses. Rastkha. Issled. Inst. Zhivot., 24, 214 (1963); C.A. 61, 15542 e (1964).
- 28.- R.U. Tabor; Teppi, 47 (11), 688 (1964); C.A. 62, 16499 h (1965).
- 29.- R.G. Guido, R.L. Holmes; Teppi, 47 (8), 515 (1964); C.A. 65, 10790 g (1966).

- 30.- G.C. Pande ; Ind. Pulp. Paper, 20 (12), 703 (1966); C.A.  
67, 3981 y (1967).
- 31.- L.E. Larsen; U.S. 3, 177, 111 (Cl 126-73) April, 1965;  
C.A. 62, 16506 g (1965).
- 32.- L.C. Aldrich; Tappi, 51 (3), 71 A (1968); C.A. 68, 88332 x  
(1968).
- 33.- N. Hartler, H. Norrstrom, P. Ostling; Sv. Pepperstidn. 72,  
(9), 289 (1969); C.A. 71, 40459 d (1969).
- 34.- K. Katayama, J. Akira, K. Shigeso; Japan, 70, 19432 (Cl  
48 A 031) Jul. 1970; C.A. 74, 4593 w (1971).
- 35.- P.I. Krotkova; Neuch. Fr. Acad. Kosm. Khos; 22, 71, (1963);  
C.A. 61, 14362 f (1964).
- 36.- I.S. Stoart; Soap. Chem. Specialities, 40 (8), 79 (1964);  
C.A. 62, 334 a (1965).
- 37.- W. Schneider; Ger. 1,,519, 973 (Cl b01 d) Apr. (1970); C.A.  
73, 18291 n (1970).
- 38.- W.R. Gordon, H. Oupry; Ind. Eng. Chem., 31, 10, 1237 (1939).
- 39.- H.J. Butler, G.P. Smith, L.P. Andrieth; Ind. Eng. Chem. Anal.  
Ed., 10, 690 (1938).
- 40.- P. Baumgarten, I. Marggraff ; Ber., 63, 1019 (1930).
- 41.- x x Standard methods for the examination of water  
and waste water, American Public Health  
Association, Inc. Ed. 11-th, p. 315 (1960).
- 42.- L.G. Brooks; Chemist Druggist, 183 (4445), 421 (1965);  
C.A. 63, 2847 h (1965).
- 43.- I. Suchy, J. Kosuch; Czech., 125, 933 (Cl 007 c) Jan. 1968;  
C.A. 69, 106004 n (1968).
- 44.- J.D. Poyer; J. Soil. Food. Agric., 6, 73 (1955); Z.B. 9599  
(1955).



- 45.- V.P. Berkov, I.V. Sutov; Izv. Akad. Nauk., 13, (1), 7, (1960);  
C.A. 60, 8570 a (1964).
- 46.- K.A. Bersenova, R.A. Kamilova ; Ref. Jur. Nastenievodstvo  
(1965); C.A. 63, 12245 e (1965).
- 47.- P. Arbonnier; Rev. Forestiere Francaise, nr. 6, 458 (1957) ;  
Decam. tenică, 12, 2380 (1957).
- 48.- C. Anthony, T. Thosmann ; U.S., 2, 724693 Nov. (1955) ; C.A.  
50, 5294 a (1956).
- 49.- R. Arons, D. Wilson ; U.S. 2, 223, 212, Nov. (1955) ; C.A. 50,  
3678 e (1956).
- 50.- K.E. Nelson; U.S. 3, 196, 103 (Cl 252-21 Jul (1965) ; C.A.  
63, 8116 b (1966).
- 51.- N.N. Krasavina; Izv. Akad. Nauk., 18 (6), 52 (1965) ; C.A. 63,  
11240 e (1966).
- 52.- H.F. Cupery, W.E. Gordon ; Ind. Eng. Chem., vol. 34, nr. 7,  
792 (1942).
- 53.- P. Baugarten ; Ber., 69, 1929 (1936).
- 54.- S. Uchida, Y. Ito ; Kogyo Kagaku Zasshi, 53, 10, 423 (1950).
- 55.- S. Uchida, Y. Ito, E. Massuda ; Kogyo Kagaku Zasshi, 56, 2,  
60 (1953).
- 56.- S. Uchida, Y. Ito, S. Kobayashi ; Kogyo Kagaku Zasshi, 57, 1,  
18 (1954).
- 57.- F. Baumgarten, A.H. Kruckecker ; Ber., 67, 1257 (1934).
- 58.- R. Appel, W. Huber ; Chem. Ber., 2, 336 (1956).
- 59.- M.I. Silberman, N.M. Salanova ; Jur. Obocii hizui, tom 26,  
nr. 3, 627 (1956).
- 60.- R.T. Fraser ; J. Chem. Soc., 1747 (1965).

- 61.- P. Baumgarten; Ber., 59, 1166 (1926); ibid., 59, 1073 (1926).
- 62.- H.H. Sisler, L.P. Andriath; J. Am. Chem. Soc., 61, 5592 (1939).
- 63.- J.L. Solvay; Compt. Rend., vol. 34, 827 (1956).
- 64.- L. Palfrey; Compt. Rend., 200, 1051 (1935).
- 65.- H.E.W. Glascock-Kane, J.V.B. Petersen; Ger., 1, 132, 549 (C1 12 1) Jul 1962; C.A. 58, 2174 (1963).
- 66.- E.J. Foulis, E.R. Brady, W.J. Morris; U.S. 3, 051, 552, Aug. 1962; C.A. 58, 5260 (1963).
- 67.- H.R. Nyshka; Ger., 1, 172, 651, (C1 CO1 b) June (1964); 61 Cate 6657 d (1964).
- 68.- A.R. Sowerby; Brit., 1, 062, 329 (C1 CO1 b) (1967); C.A. 67, 4439 c (1967).
- 69.- A.R. Sowerby; Can., 802, 106 (C1 25-108), 1968; C.A. 70, 79606 a (1969).
- 70.- W.H. Morris; Brit. 1, 063, 942 (C1 CO1 b), 1967; C.A. 67, 45663 t (1967).
- 71.- R. Appel, W. Haber; Z. anorg. allg. Chem., 279, 6, 378 (1954).
- 72.- R. Appel, K. Gebrings; Z. anorg. allg. Chem., 271, (3-4) 171 (1953).
- 73.- Y. Ito, K. Kobayashi; Kogyo Kagaku Zasshi, 59, 2, 148 (1956).
- 74.- Y. Ito, K. Kobayashi, T. Nakada; Kogyo Kagaku Zasshi, 60, 10, 1262 (1957).
- 75.- S. Uchida, Y. Ito; Kogyo Kagaku Zasshi, 54, 4, 256, 1951.
- 76.- H.A. Lehmann, G. Korpela, V. Reppert; Z. anorg. allg. Chem., 297, (3-6), 309 (1958).
- 77.- K. Palusz; J. Am. Chem. Soc., 60, 2560 (1938).
- 78.- H.A. Lehmann, V. Roosbar, L. Wulf; Z. anorg. allg. Chem., 309, 71, (1961).

- 79.- H.J. Emelius, H.G. Sharpe; Advances in Inorganic Chemistry and Radiochemistry, 1960, vol. 2, p. 159, N.Y. Academic Press Inc.
- 80.- S. Uchida, Y. Ito; Kogyo Kagaku Zasshi, 57, 2, 105 (1954).
- 81.- S. Uchida, Y. Ito; Kogyo Kagaku Zasshi, 55, 5, 318 (1952).
- 82.- K. Tasumi, K. Buntaro, Y. Shioju, K. Iwao; Japan, 69, 31, 949 (Cl 15 L 21) Dec. 1969; C.A. 72, 45594 z (1970).
- 83.- H.K. Hofmeister; Ger. Offen., 1, 915, 723 (Cl C 01 b) Oct. 1970; C.A. 74, 5147 x (1971).
- 84.- S. Uchida, Y. Ito; J. Chem. Soc. Pure Chem. Soc., 73, 5, 348 (1952).
- 85.- Y. Ito; Kogyo Kagaku Zasshi, 63, 10, 1685 (1960).
- 86.- Y. Ito; Kogyo Kagaku Zasshi, 71, 357 (1968); C.A. 69, 30392 e (1968).
- 87.- Y. Ito, Sachio, Japan, 70, 24, 649 (Cl 15 B0) Aug. 1970; C.A. 73, 100560 h (1970).
- 88.- Y. Ito; Kogyo Kagaku Zasshi, 73, 281 (1970); C.A. 73, 16851 (1970).
- 89.- L.P. Michitina, V.N. Stepanova; Khim. prom., 44, 5, 353 (1968).
90. T. Shiro, K. Shiro, S. Kaneyasu, S. Sadao; Japan, 70, 07, 648 (Cl 15 B0) Mar. 1970; C.A. 73, 5508 p (1970).
- 91.- R.T. Nelson, M.Z. Zatorski; U.S. 3, 265, 467 (Cl 23-166) Aug. 1966; C.A. 65, 11836 z (1966).
- 92.- Y. Yoshimura, T. Yoshio, O. Sachiyoshi; Japan, 68, 25, 151 (Cl 15 B0) Oct. 1968; C.A. 70, 26, 11686 C (1969).
- 93.- S. Uchida, Y. Ito, E. Kobayashi; J. Chem. Soc. Japan Pure Chem., 73, 7, 741 (1954).

- 94.- H. Kasuyuki, K. Kenichiro, I. Satoshi, I. Hamiko, C.  
Yochitoko; Japan, 6908, 103 (Cl 15 L 21) Apr.  
(1969); C.A. 71, 23366 d (1969).
- 95.- S. Sugimura; Japan, 8180, Dec. (1954); C.A. 50, 9701  
(1956).
- 96.- H. Kasuyuki, K. Kenichiro, Y. Satoshi, M. Teijiro, M.  
Moriyasu, A. Hitoshi; Japan, 6908, 102 (Cl 15  
L 21) Apr. (1969); C.A. 71, 3189 n (1969).
- 97.- H. Schwartz; Ger (East), 58, 956 (Cl C01 b) Dec (1967);  
C.A. 70, 5586 a (1969).
- 98.- Y. Ito; Kogyo kagaku zasshi, 57, 797 (1954).
- 99.- Y. Ito; Govt. Chem. Ind. Res. Tokyo, 52, 8, 281-4, 285-8  
(1957).
- 100.- S. Uchida; Japan, 966 (55) Febr. (1956); C.A. 50, 17353 i  
(1956).
- 101.- Y. Ito, K. Kobayashi; Japan, 5529 (50) July, 1959; C.A. 53,  
16487 d (1959).
- 102.- Y. Ito; U.S. 3, 404, 949 (Cl 23-114) Oct (1968); C.A. 70,  
21434 e (1969).
- 103.- S. Nobuo, S. Hideyuki, M. Tetsuya, T. Kasuo; J.S. 3, 404950  
(Cl 23-114) Oct. 1968; C.A. 70, 5585 p (1969).
- 104.- A. Shinji, K. Toshio, T. Yoshiharu; J.S. 3, 484, 193 (Cl  
23-114, C 01 b) Dec. 1969; C.A. 72, 45593 y  
(1970).
- 105.- Y. Bachiro, H. Keiji, Y. Kenichiro; Japan, 69, 28, 374  
(Cl 15 L 21) Nov. 1969; C.A. 72, 33865 a  
(1970).
- 106.- Hoffmann, Biocalski; Ber., 45, 1394 (1912).
- 107.- L. Kissel, L. Gropgian, A. Cotogean; Buletinul Stiintific  
și Tehnic al IPT Seria Npăii Tom. 11 (25),  
fasc. 2, 447 (1969).

- 108.- J.R. Ricci, R. Selikson; J. Am. Chem. Soc., 74, 1956 (1952).
- 109.- E. Kissel, R. Gropgian; Studiul procesului de formare a acidului sulfanic din uree și oleum, Lucrare comunicată la Sesiunea de Comunicări Științifice a I.P.T., mai, 1968.
- 110.- C. Litescu, "Chimie analitică cantitativă. Volumetria", Ed. D.P. București, 1964, p. 252.
- 111.- T.D. Ionescu; "Schimbător de ioni", Ed. Tehn. București, 1964, p. 57, 110.
- 112.- x x Schimbători de ioni, Clasificare, Caracteristici și tabele uzuale; "Cochimbul Chemic Victoria", 1967, p. 28.
- 113.- Alicja Dorohialska ; Lucruri practice de Chimie Fizică, (tr. 3 p), Ed. Tehn. București, 1958, p. 350.
- 114.- I. Drăgozăin; Rev. Chim., București, 12, nr. 7, 420 (1961).
- 115.- x x International critical tables, Mc Graw-Hill, N.Y. 1928, vol. 3, p. 403.
- 116.- W.A. Franck; "Liquid-liquid equilibrium", Interscience publishers, Ed. J. Wiley, N.Y., London, 1963.
- 117.- E. Kissel, R. Gropgian; Bul. Științ. și Tehn. al I.P.T., Seria Chimie, 17 (52), nr. 1, p. 33 (1972).
- 118.- Lange Berlin ; Chemisch-technische Untersuchungsmethoden, Berlin, 1921, vol. 1, p. 637.
- 119.- x x Sprevocnik po rastvorimosti, Izdatelstvo Akademii Nauk SSSR, Moskva, Leningrad, 1961, tom. 1, p. 219.
- 120.- D. Zohn, R. Gropgian; Bul. Științ. și Tehn. al I.P.T., Seria Chimie, 16 (30), nr. 1, p. 111 (1971).

- 121.- V.R. Van Wijk, S.Y.B. Van Straten; Chem. Ing. Techn., 37,  
nr. 5, 509 (1965).
- 122.- R.F. Goertner, J.W. Westwater; Chem. Eng. Prog. Symp. Ser.,  
56, nr. 30, 39 (1960).
- 123.- B.V. Petakov, "Studiul experimental al proceselor de trans-  
mitere a căldurii", Ed. Tehn. Bucureşti, 1956,  
p. 296, trad. I.R.
- 124.- Szentgyorgyi ; Revue de Phys. Suppl., 6, 309 (1961).
- 125.- N.E. Carețianu; "Termodynamica chimică", Ed. Tehn. Bucureşti  
1953, p. 161 (trad. I.R.).
- 126.- K.P. Pavlov, D.G. Romakov, A.A. Koskov; "Exerciții și probleme  
la cursul de Procese și Aparate din Tehnologia  
Chimiei", Ed. D.F. Bucureşti, 1966, p. 226,  
trad. I.R.
- 127.- Ullmann, Encyclopädie der technischen Chemie, Ed. III, 1964,  
Urban și Schwarzenberg, München-Berlin, Band  
15, p. 496.